

สำนักหอสมุด มหาวิทยาลัยบูรพา  
ต.แสนสุข อ.เมือง จ.ชลบุรี 20131



## รายงานวิจัยฉบับสมบูรณ์

### โครงการวิจัย

ความสามารถเก็บกักคลอไรด์และโครงสร้างโพรงของซีเมนต์เพสต์ผสมถ่านหิน<sup>ก</sup>  
(Chloride binding capacity and pore structure of cement paste with fly ash)

โดย

ผศ.ดร. ทวีชัย สำราญวนิช

ภาควิชาศิวกรรมโยธา คณะศิวกรรมศาสตร์

มหาวิทยาลัยบูรพา

0175852

- 1 ๗.๘. 2558

357163

มิถุนายน 2558

AG0110429

เริ่มใช้

สนับสนุนโดยทุนอุดหนุนการวิจัยงบประมาณแผ่นดิน ประจำปีงบประมาณ 2556

29 ม.ค. 2559

สำนักงานคณะกรรมการวิจัยแห่งชาติ

## บทคัดย่อ

งานวิจัยนี้มุ่งศึกษาความสามารถเก็บกักคลอไրด์ของชีเมนต์เพสต์ที่ผสมถ้าloyแม่เมะและถ้าloyจากระบอง (ถ้าloy BLCP Hunter และถ้าloy BLCP Hunter Malavan) โดยใช้ปูนชีเมนต์ปอร์ตแลนด์ประเกทที่ 1 เป็นวัสดุประสานหลัก อัตราส่วนน้ำต่อวัสดุประสานที่ใช้เท่ากัน 0.40 และ 0.50 และอัตราส่วนการแทนที่วัสดุประสานด้วยถ้าloyเท่ากัน 0.30 และ 0.50 ทำการแซ่ตัวอย่างในน้ำเปล่าเป็นเวลา 28 และ 91 วัน จากนั้นไปแซ่ในน้ำเกลือคลอไรด์เข้มข้น 5.0% โดยน้ำหนัก เป็นเวลา 91 วัน แล้วนำไปกดบีบเอาสารละลายภายนอกหง่ายในโพรงช่องว่างของชีเมนต์เพสต์ออกมาเพื่อวิเคราะห์หาปริมาณคลอไรด์ และศึกษาโครงสร้างโพรงช่องว่างของชีเมนต์เพสต์ด้วยวิธี Mercury Intrusion Porosimetry (MIP) โดยใช้อัตราส่วนน้ำต่อวัสดุประสานเท่ากัน 0.40 และ 0.50 และอัตราส่วนการแทนที่วัสดุประสานด้วยถ้าloyเท่ากัน 0.30 และ 0.50 ทำการแซ่ตัวอย่างในน้ำเปล่าเป็นเวลา 28 และ 91 วัน แล้วนำตัวอย่างมาวิเคราะห์เพื่อหาขนาดเส้นผ่านศูนย์กลางเฉลี่ยของโพรงช่องว่างและปริมาตรความพรุนทั้งหมดของชีเมนต์เพสต์ นอกจากนี้ได้ศึกษากำลังรับแรงอัดของชีเมนต์เพสต์ที่ใช้อัตราส่วนน้ำต่อวัสดุประสานเท่ากัน 0.40 และ 0.50 และอัตราส่วนการแทนที่วัสดุประสานด้วยถ้าloyเท่ากัน 0.30 และ 0.50 ทำการบ่มในน้ำเปล่าเป็นเวลา 28 และ 91 วัน

จากการทดลองพบว่า เมื่อระยะเวลาการบ่มที่นานขึ้น ความสามารถเก็บกักคลอไรด์ของชีเมนต์เพสต์เพิ่มขึ้น แต่เมื่ออัตราส่วนน้ำต่อวัสดุประสานและอัตราการแทนที่วัสดุประสานด้วยถ้าloyมากขึ้น ส่งผลให้ความสามารถเก็บกักคลอไรด์ลดลง และถ้าloyที่มีความสามารถเก็บกักคลอไรด์สูงที่สุด คือ ถ้าloy BLCP Hunter ในส่วนโครงสร้างโพรงช่องว่างของชีเมนต์เพสต์พบว่า เมื่อระยะเวลาการบ่มที่นานขึ้น ขนาดเส้นผ่านศูนย์กลางเฉลี่ยและความพรุนทั้งหมดของชีเมนต์เพสต์ลดลง ชีเมนต์เพสต์ที่ใช้อัตราส่วนน้ำต่อวัสดุประสานสูงขึ้น ขนาดเส้นผ่านศูนย์กลางเฉลี่ยและความพรุนทั้งหมดของชีเมนต์เพสต์เพิ่มขึ้น และเมื่อใช้อัตราการแทนที่วัสดุประสานด้วยถ้าloyเพิ่มขึ้น ขนาดเส้นผ่านศูนย์กลางเฉลี่ยและความพรุนทั้งหมดลดลง และถ้าloyที่ทำให้ขนาดเส้นผ่านศูนย์กลางเฉลี่ยมีขนาดเล็กที่สุดคือถ้าloy BLCP Hunter ส่วนกำลังรับแรงอัดของชีเมนต์เพสต์พบว่า การใช้อัตราส่วนน้ำต่อวัสดุประสานและอัตราการแทนที่วัสดุประสานด้วยถ้าloyมากขึ้น ส่งผลให้กำลังรับแรงอัดของชีเมนต์เพสต์ลดลง และเมื่อระยะเวลาการบ่มนานขึ้น ทำให้กำลังรับแรงอัดของชีเมนต์เพสต์เพิ่มขึ้น สุดท้ายจากความสัมพันธ์ของผลการทดลองพบว่า เมื่อกำลังรับแรงอัดเพิ่มขึ้น ส่งผลให้ความสามารถเก็บกักคลอไรด์เพิ่มขึ้น และขนาดเส้นผ่านศูนย์กลางเฉลี่ยและความพรุนทั้งหมดลดลง

## ABSTRACT

This research aims to study the chloride binding capacity of cement pastes with Mae Moh fly ash and fly ash from Rayong (BLCP Hunter fly ash and BLCP Hunter Malavan fly ash) and use Portland cement type I as main binder. The water to binder ratio was 0.40 and 0.50. The replacement ratio of fly ash to binder was 0.30 and 0.50. The specimen was cured in water for 28 and 91 days, then submerged in salt water of 5% chloride concentration for 91 days. After that, specimen was pressed in order to get pore solution of cement pastes to determine the chloride content. In addition, pore structure of cement pastes was investigated by Mercury Intrusion Porosimetry (MIP) method. The water to binder ratio was 0.40 and 0.50. The replacement ratio of fly ash to binder was 0.30 and 0.50. The specimen was cured in water for 28 and 91 days. Then, the average pore diameter and total porosity of cement paste was determined. Moreover, the compressive strength of cement paste with water to binder ratio was 0.40 and 0.50. The replacement ratio of fly ash to binder was 0.30 and 0.50. The specimen was cured in water for 28 and 91 days.

From the experimental results, it was found that longer curing period of cement pastes result in higher chloride binding capacity. When water to binder ratio and fly ash to binder ratio increase, the chloride binding capacity of cement paste decreases. The highest chloride binding capacity of cement pastes is from BLCP Hunter fly ash. For the pore structure of cement pastes, it was found that longer curing period of cement pastes result in lower average pore diameter and total porosity. Cement paste with higher water to binder ratio let in average pore diameter and total porosity. The replacement ratio of fly ash to binder have been increased, average pore diameter and total porosity of cement pastes decreased. The smallest average pore diameter of cement pastes is from BLCP Hunter fly ash. For the compressive strength of cement paste, it was found that the water to binder ratio and the replacement ratio of fly ash to binder is increased, the compressive strength decrease. Furthermore, when the curing period is longer, the compressive strength of cement paste increases. Finally, from the relationship of results, it was showed that when the compressive strength increases, the chloride binding capacity increases and the average pore diameter and total porosity decrease.

## สารบัญ

	หน้า
บทคัดย่อ	ก
Abstract	ข
สารบัญ	ค
สารบัญรูป	จ
สารบัญตาราง	ฉ
รายการสัญลักษณ์และคำย่อ	ญ
 บทที่ 1 บทนำ	 1
1.1 ที่มาและความสำคัญของปัญหา	1
1.2 วัสดุประสงค์ของงานวิจัย	2
1.3 ขอบเขตของงานวิจัย	2
 บทที่ 2 ทฤษฎีและงานวิจัยที่เกี่ยวข้อง	 4
2.1 กลไกการเกิดสนิมของเหล็กเสริมในคอนกรีตโดยคลอไรด์	4
2.2 ประเภทของคลอไรด์ในเนื้อคอนกรีต	6
2.3 ความเสี่ยงของการกัดกร่อนเหล็กเสริมภายใต้กระบวนการสร้าง	7
2.4 การแทรกซึมของคลอไรด์ในคอนกรีต	10
2.5 ปัจจัยที่ส่งผลกระทบต่อการแทรกซึมของคลอไรด์	13
2.6 ความสามารถเก็บกักคลอไรด์	15
2.7 โครงสร้างของช่องว่างของคอนกรีต	16
2.7.1 Mercury Intrusion Porosimetry (MIP)	17
2.7.2 Brunauer Emmett and Teller (BET)	18
2.8 งานวิจัยที่เกี่ยวข้อง	22
 บทที่ 3 วัสดุอุปกรณ์ที่ใช้ในการทดลองและวิธีการทดลอง	 25
3.1 วัสดุที่ใช้ในการทดลอง	25
3.2 อุปกรณ์และสารเคมีที่ใช้ในการทดลอง	30
3.3 วิธีทำการทดลอง	36
3.3.1 การทดลองความสามารถเก็บกักคลอไรด์ของซีเมนต์เพสต์	36

## สารบัญ (ต่อ)

	หน้า
3.3.2 การทดลองโครงสร้างโพรงช่องว่างของซีเมนต์เพสต์ด้วยวิธี MIP	38
3.3.3 การทดลองโครงสร้างโพรงช่องว่างของซีเมนต์เพสต์ด้วยวิธี BET	40
3.3.4 การทดลองกำลังรับแรงอัดของซีเมนต์เพสต์	42
 บทที่ 4 ผลการทดลองและอภิปรายผล	 44
4.1 ความสามารถเก็บกักคลอไรด์ของซีเมนต์เพสต์	44
4.2 โครงสร้างโพรงช่องว่างของซีเมนต์เพสต์	48
4.2.1 โครงสร้างโพรงช่องว่างด้วยวิธี Mercury Intrusion Porosimetry (MIP)	48
4.2.2 โครงสร้างโพรงช่องว่างด้วยวิธี Brunauer Emmett and Teller (BET)	54
4.3 กำลังรับแรงอัดของซีเมนต์เพสต์	54
4.4 ความสมมพนธ์ของผลการทดลอง	60
 บทที่ 5 สรุปผล	 66
5.1 ความสามารถเก็บกักคลอไรด์ของซีเมนต์เพสต์	66
5.2 โครงสร้างโพรงช่องว่างของซีเมนต์เพสต์	66
5.2.1 โครงสร้างโพรงช่องว่างด้วยวิธี Mercury Intrusion Porosimetry (MIP)	66
5.2.2 โครงสร้างโพรงช่องว่างด้วยวิธี Brunauer Emmett and Teller (BET)	66
5.3 กำลังรับแรงอัดของซีเมนต์เพสต์	67
 บรรณานุกรม	 68

## สารบัญรูป

รูปที่	หน้า
2.1 กระบวนการเกิดสนิมเนื่องจากคลอร่าต์ในน้ำทะเล	6
2.2 แผนภาพแสดงชนิดของคลอร่าต์ในคอนกรีต	7
2.3 ความเสี่ยงต่อการเกิดสนิมของเหล็กเสริมภายในโครงสร้างคอนกรีต	8
2.4 แบบจำลองโครงสร้างที่ถูกทำลายเนื่องจากคลอร่าต์ในน้ำทะเล	8
2.5 แผนภาพแสดงการดึงดูดแบบคานพิลาเร	11
2.6 แผนภาพแสดงการดึงดูดอิอนเข้าไปในคอนกรีต	12
2.7 ผลของอุณหภูมิและอัตราส่วนน้ำต่อปูนซีเมนต์ต่อสัมประสิทธิ์การแพร่ของเกลือคลอร่าต์	14
2.8 ปริมาณของprotoที่เข้าไปในโครงขนาดต่างๆ	18
2.9 โซเทอมของการดูดซับทั้ง 5 ชนิด	19
3.1 ปูนซีเมนต์ปอร์ตแลนด์ประเภท 1	25
3.2 เก้าโลยymea (Mae Moh fly ash ,FAMM)	27
3.3 เก้าโลยระยอง BLCP Hunter (BLCP Hunter fly ash ,FAH)	27
3.4 เก้าโลยระยอง BLCP Hunter Malavan (BLCP Hunter Malavan fly ash ,FAHM)	27
3.5 ขนาดอนุภาคเฉลี่ยของซีเมนต์และเก้าโลย	29
3.6 การกระจายตัวของซีเมนต์และเก้าโลย	29
3.7 แบบหล่อชั้นตัวอย่างทดสอบ	30
3.8 ชุดอุปกรณ์เครื่องแก้ว	30
3.9 เครื่องชั่งน้ำหนักแบบดิจิตอล (Digital balance)	31
3.10 เครื่อง Auto titration และเครื่องกวานแม่เหล็ก	31
3.11 ตู้อบความร้อน	31
3.12 เครื่องกดทำลายชิ้นตัวอย่าง	32
3.13 แบบหล่อตัวอย่างขนาด $50 \times 50 \times 50$ มิลลิเมตร	32
3.14 เครื่องทดสอบขนาดและการกระจายตัวของโครงช่องว่างในซีเมนต์เพสต์ด้วยวิธี MIP	33
3.15 เพโนโตรมิเตอร์ (Penetrometer)	33
3.16 เครื่องทดสอบขนาดและการกระจายตัวของโครงช่องว่างด้วยวิธี BET	34
3.17 หลอดทดสอบตัวอย่าง (Tube)	34
3.18 เครื่องชั่งน้ำหนักแบบละเอียด	34
3.19 เครื่องทดสอบกำลังรับแรงอัด	35
3.20 ชิ้นตัวอย่างที่ใช้ในการทดสอบ	36
3.21 การแซตัวอย่างที่ใช้ในการทดสอบ	36
3.22 การกดทำลายเพื่อกีบสารละลายจากตัวอย่างซีเมนต์เพสต์ (น้ำภายใน)	37

## สารบัญรูป (ต่อ)

รูปที่	หน้า
3.23 การซึ่งน้ำหนักสารละลายน้ำที่จะนำมาได้เดรท	38
3.24 การได้เดรทโดยเครื่อง Auto titration	38
3.25 ชิ้นตัวอย่างทรงลูกบาศก์	39
3.26 ตัวอย่างทดสอบที่แซ่บในน้ำประปา	39
3.27 ตัวอย่างทดสอบที่ตัดและผ่านการอบแล้ว	39
3.28 การประกอบเพเนโตรมิเตอร์เข้าเครื่องอัดความดันด้ำ	40
3.29 เพเนโตรมิเตอร์ที่ผ่านการอัดprotoแล้ว	40
3.30 ตัวอย่างทดสอบที่ผ่านการบดและอบแล้ว	41
3.31 การซึ่งน้ำหนักหลอดทดสอบและตัวอย่างทดสอบ	41
3.32 การไล่อากาศและความชื้นออกจากหลอดทดลอง (Outgas)	42
3.33 การเดิมในโตรเจนเหลวและติดตั้งหลอดทดสอบ	42
3.34 การหาขนาดและการกระจายตัวของโครงซ่องว่าง	42
3.35 การกดทำลายตัวอย่างเพื่อหาがらังรับแรงอัด	43
4.1 ความสามารถเก็บกักคลอไรด์ของซีเมนต์เพสต์ที่อัตราส่วนการแทนที่วัสดุประสาน และ อัตราส่วนน้ำต่อวัสดุประสานที่แตกต่างกัน โดยบ่มน้ำเป็นระยะเวลา 28 วันและแซ่น้ำเกลือ คลอไรด์เป็นระยะเวลา 91 วัน	45
4.2 ความสามารถเก็บกักคลอไรด์ของซีเมนต์เพสต์ที่อัตราส่วนน้ำต่อวัสดุประสานเท่ากัน แต่ การแทนที่วัสดุประสานแตกต่างกัน โดยบ่มน้ำเป็นระยะเวลา 28 วันและแซ่น้ำเกลือคลอไรด์เป็นระยะเวลา 91 วัน	45
4.3 ความสามารถเก็บกักคลอไรด์ของซีเมนต์เพสต์ที่อัตราส่วนน้ำต่อวัสดุประสาน และ อัตราส่วนน้ำต่อวัสดุประสานที่แตกต่างกัน โดยบ่มน้ำเป็นระยะเวลา 91 วันและแซ่น้ำเกลือ คลอไรด์เป็นระยะเวลา 91 วัน	46
4.4 ความสามารถเก็บกักคลอไรด์ของซีเมนต์เพสต์ที่อัตราส่วนน้ำต่อวัสดุประสานเท่ากัน แต่ การแทนที่วัสดุประสานแตกต่างกัน โดยบ่มน้ำเป็นระยะเวลา 28 วันและแซ่น้ำเกลือคลอไรด์เป็นระยะเวลา 91 วัน	47
4.5 ความสามารถเก็บกักคลอไรด์ของซีเมนต์เพสต์ที่อัตราส่วนการแทนที่วัสดุประสาน และ อัตราส่วนน้ำต่อวัสดุประสานต่างๆ โดยบ่มน้ำเป็นระยะเวลา 28 และ 91 วัน แซ่น้ำเกลือ คลอไรด์เป็นระยะเวลา 91 วัน รวมเป็นเวลาทั้งสิ้น 119 และ 182 ตามลำดับ	48
4.6 ขนาดเส้นผ่านศูนย์กลางเฉลี่ยของโครงซ่องว่างของซีเมนต์เพสต์ที่อัตราส่วนการแทนที่วัสดุประสาน และอัตราส่วนน้ำต่อวัสดุประสานที่แตกต่างกัน ที่อายุการบ่ม 28 วัน	49

## สารบัญรูป (ต่อ)

รูปที่	หน้า
4.7 ความพรุนหั้งหมดของโพรงช่องว่างของซีเมนต์เพสต์ที่อัตราส่วนการแทนที่วัสดุประสาน และอัตราส่วนน้ำต่อวัสดุประสานที่แตกต่างกัน ที่อายุการบ่ม 28 วัน	50
4.8 ขนาดเส้นผ่าศูนย์กลางเฉลี่ยของโพรงช่องว่างของซีเมนต์เพสต์ที่อัตราส่วนการแทนที่วัสดุประสาน และอัตราส่วนน้ำต่อวัสดุประสานที่แตกต่างกัน ที่อายุการบ่ม 91 วัน	51
4.9 ความพรุนหั้งหมดของโพรงช่องว่างของซีเมนต์เพสต์ที่อัตราส่วนการแทนที่วัสดุประสาน และอัตราส่วนน้ำต่อวัสดุประสานที่แตกต่างกัน ที่อายุการบ่ม 91 วัน	52
4.10 ขนาดเส้นผ่าศูนย์กลางเฉลี่ยของโพรงช่องว่างของซีเมนต์เพสต์ที่อัตราส่วนการแทนที่วัสดุประสาน และอัตราส่วนน้ำต่อวัสดุประสานต่างๆ โดยบ่มน้ำเป็นระยะเวลา 28 และ 91 วัน	53
4.11 ความพรุนหั้งหมดของโพรงช่องว่างของซีเมนต์เพสต์ที่อัตราส่วนการแทนที่วัสดุประสาน และอัตราส่วนน้ำต่อวัสดุประสานต่างๆ โดยบ่มน้ำเป็นระยะเวลา 28 และ 91 วัน	54
4.12 ขนาดเส้นผ่าศูนย์กลางเฉลี่ยของโพรงช่องว่างของซีเมนต์เพสต์ มีอัตราส่วนน้ำต่อวัสดุประสานเท่ากับ 0.50 และไม่มีการแทนที่วัสดุประสาน ที่อายุ 28 และ 91 วัน	55
4.13 ขนาดเส้นผ่าศูนย์กลางเฉลี่ยของโพรงช่องว่างของซีเมนต์เพสต์ โดยมีอัตราส่วนน้ำต่อวัสดุประสานเท่ากัน แต่การแทนที่วัสดุประสานด้วยเก้าโลยกแตกต่างกัน ที่อายุ 28 และ 91 วัน	55
4.14 ความพรุนหั้งหมดของโพรงช่องว่างของซีเมนต์เพสต์ มีอัตราส่วนน้ำต่อวัสดุประสานเท่ากับ 0.50 และไม่มีการแทนที่วัสดุประสาน ที่อายุ 28 และ 91 วัน	56
4.15 ขนาดเส้นผ่าศูนย์กลางเฉลี่ยของโพรงช่องว่างของซีเมนต์เพสต์ โดยมีอัตราส่วนน้ำต่อวัสดุประสานเท่ากัน แต่การแทนที่วัสดุประสานด้วยเก้าแตกต่างกัน ที่อายุ 28 และ 91 วัน	56
4.16 ขนาดเส้นผ่าศูนย์กลางเฉลี่ยของโพรงช่องว่างของซีเมนต์เพสต์ระหว่างการทดสอบด้วยวิธี MIP กับการทดสอบด้วยวิธี BET ที่อายุ 28 วัน	57
4.17 กำลังรับแรงอัดของซีเมนต์เพสต์ที่อัตราส่วนการแทนที่วัสดุประสาน และอัตราส่วนน้ำต่อวัสดุประสานที่แตกต่างกัน โดยบ่มน้ำเป็นระยะเวลา 28 วัน	58
4.18 กำลังรับแรงอัดของซีเมนต์เพสต์ที่อัตราส่วนการแทนที่วัสดุประสาน และอัตราส่วนน้ำต่อวัสดุประสานที่แตกต่างกัน โดยบ่มน้ำเป็นระยะเวลา 91 วัน	59
4.19 กำลังรับแรงอัดของซีเมนต์เพสต์ที่อัตราส่วนการแทนที่วัสดุประสาน และอัตราส่วนน้ำต่อวัสดุประสานต่างๆ โดยบ่มน้ำเป็นระยะเวลา 28 และ 91	60
4.20 ความสมพันธ์ของกำลังรับแรงอัดกับขนาดเส้นผ่าศูนย์กลางเฉลี่ยของโพรงช่องว่างของซีเมนต์เพสต์ที่อายุ 28 วัน	61

## สารบัญรูป (ต่อ)

รูปที่	หน้า
4.21 ความสัมพันธ์ของกำลังรับแรงอัดกับขนาดเส้นผ่านศูนย์กลางเฉลี่ยของโครงช่องว่างของชีเมนต์เพสต์ที่อายุ 91 วัน	61
4.22 ความสัมพันธ์ของความพรุนทั้งหมดกับความสามารถเก็บกักคลอริโอร์ดของชีเมนต์เพสต์ที่อายุ 28 วัน	62
4.23 ความสัมพันธ์ของความพรุนทั้งหมดกับความสามารถเก็บกักคลอริโอร์ดของชีเมนต์เพสต์ที่อายุ 91 วัน	62
4.24 ความสัมพันธ์ของขนาดเส้นผ่านศูนย์กลางเฉลี่ยของโครงช่องว่างกับความสามารถเก็บกักคลอริโอร์ดของชีเมนต์เพสต์ที่อายุ 28 วัน	63
4.25 ความสัมพันธ์ของขนาดเส้นผ่านศูนย์กลางเฉลี่ยของโครงช่องว่างกับความสามารถเก็บกักคลอริโอร์ดของชีเมนต์เพสต์ที่อายุ 91 วัน	63
4.26 ความสัมพันธ์ของขนาดเส้นผ่านศูนย์กลางเฉลี่ยของโครงช่องว่างกับความพรุนทั้งหมดของชีเมนต์เพสต์ที่อายุ 28 วัน	64
4.27 ความสัมพันธ์ของขนาดเส้นผ่านศูนย์กลางเฉลี่ยของโครงช่องว่างกับความพรุนทั้งหมดของชีเมนต์เพสต์ที่อายุ 91 วัน	64
4.28 ความสัมพันธ์ของกำลังรับแรงอัดกับความสามารถเก็บกักคลอริโอร์ดของชีเมนต์เพสต์ ที่อายุ 28 วัน	65
4.29 ความสัมพันธ์ของกำลังรับแรงอัดกับความสามารถเก็บกักคลอริโอร์ดของชีเมนต์เพสต์ ที่อายุ 91 วัน	65

## สารบัญตาราง

ตารางที่	หน้า
2.1 สภาพของเหล็กเสริมในคอนกรีตที่ค่า pH ในระดับต่างๆ	5
2.2 องค์ประกอบของหัวทะเล	9
3.1 องค์ประกอบทางเคมีของปูนซีเมนต์ปอร์ตแลนด์ประเภทที่ 1	26
3.2 องค์ประกอบทางเคมีของถ้าลอย (Fly ash)	28
3.3 องค์ประกอบทางกายภาพของถ้าลอย (Fly ash)	28
3.4 ส่วนผสมตัวอย่างทดลอง	35

## สารบัญสัญลักษณ์และคำย่อ

<b>สัญลักษณ์</b>	<b>หน่วย</b>	<b>อธิบาย</b>
$C_i(x,t)$	mol/liter	ปริมาณคลอไรต์ทั้งหมดที่ระย่างทาง x จากผิวด้านนอกที่ระยะเวลา t
$C_f(x,t)$	mol/liter	ปริมาณคลอไรต์อิสระที่ระย่างทาง x จากผิวด้านนอกที่ระยะเวลา t
$D_a$	cm <sup>2</sup> /year	ค่าสัมประสิทธิ์การแพร่ของคลอไรต์ในคอนกรีต
$x$	cm	ระยะทางจากผิวด้านนอกของคอนกรีต
$t$	year	ระยะทางจากผิวด้านนอกของคอนกรีต

<b>คำย่อ</b>	<b>หน่วย</b>	<b>อธิบาย</b>
FAMM	-	เต้าloyแม่เม้า
FAH	-	เต้าloy BLCP Hunter
FAHM	-	เต้าloy BLCP Hunter Malavan
MIP	-	Mercury Intrusion Porosimetry
BET	-	Brunauer Emmett and Teller

## บทที่ 1

### บทนำ

#### 1.1 ที่มาและความสำคัญของปัจจัยฯ

ในการออกแบบโครงสร้างคอนกรีตตันน้ำ ผู้ออกแบบจะต้องคำนึงถึงคุณสมบัติเชิงกลของคอนกรีต เช่น กำลังรับแรงอัด กำลังรับแรงดึง เป็นต้น แต่ในความเป็นจริงแล้ว คอนกรีตยังได้รับผลกระทบจากสิ่งแวดล้อมอยู่ตลอดเวลา โดยมาจากการ อากาศและปัจจัยอื่นๆ เมื่อคอนกรีตมีอายุการใช้งานที่มากขึ้น ก็จะส่งผลทำให้โครงสร้างสูญเสียกำลังต่างๆ ทั้งจากขนาดหน้าตัด รอยแตกร้าวหลุดร่อน จึงทำให้โครงสร้างไม่มีความนิ่นคงแข็งแรง และความสามารถในการรับน้ำหนักลดลง โดยเฉพาะอย่างยิ่งในสภาพแวดล้อมที่มีเกลือคลอไรด์มาก เช่น โครงสร้างคอนกรีตเสริมเหล็กที่ต้องสัมผัสโดยตรงกับน้ำทะเล หรืออยู่ใกล้ชายฝั่งทะเลรวมไปถึงโรงงานอุตสาหกรรมที่มีการใช้เกลือเป็นวัตถุดิน และในประเทศไทยนั้นมีทะเลล้อรอบอยู่มาก ดังนั้นการศึกษาผลกระทบและแนวทางการป้องกัน การแทรกซึมของคลอไรด์ในคอนกรีตจึงมีความสำคัญ และเป็นที่น่าสนใจต่อองค์งานทางด้านวิศวกรรม โยธา นอกจากนี้ในปัจจุบัน การออกแบบส่วนผสมของคอนกรีตเพื่อให้มีความทนทานต่อการแทรกซึมของเกลือคลอไรด์นั้น ได้มีการใช้วัสดุป้องโชลนานามาใช้เป็นส่วนผสมของคอนกรีต ซึ่งจะทำให้คอนกรีตมีความสามารถในการด้านทานการแทรกซึมของเกลือคลอไรด์ และจะช่วยเพิ่มอายุการใช้งานให้ยาวนานขึ้น

คุณสมบัติที่สำคัญของคอนกรีตในการป้องกันปัจจัยฯ การเกิดสนิมของเหล็กเสริมในคอนกรีตคือความสามารถในการกัดกึ่งคลอไรด์ของชีเมนต์เพสต์ เพราะหากชีเมนต์เพสต์มีความสามารถในการกัดกึ่งคลอไรด์สูง จะช่วยป้องกันการเกิดสนิมของเหล็กเสริมให้เกิดช้าลง ความสามารถในการกัดกึ่งคลอไรด์ของชีเมนต์เพสต์ ก็คือ ความสามารถในการจับคลอไรด์อิสระ (Free chloride) ให้กลายเป็นคลอไรด์ที่ถูกจับยึด (Fixed chloride) ด้วยกลไกการยึดเหนี่ยวทางเคมี โดยคลอไรด์ที่ถูกจับยึดนี้ไม่สามารถจะไปทำอันตรายเหล็กเสริมในคอนกรีตได้ ทั้งนี้ชีเมนต์เพสต์แต่ละส่วนผสมจะมีความสามารถกัดกึ่งคลอไรด์ที่ไม่เท่ากัน ขึ้นอยู่กับชนิดของวัสดุประสานที่ใช้ บริมาณวัสดุประสาน อัตราส่วนน้ำต่อวัสดุประสาน อายุการบ่ม และระยะเวลาการเผชิญแกลือคลอไรด์ตัวยิ่ง เป็นต้น หากชีเมนต์เพสต์ชนิดใดมีความสามารถกัดกึ่งคลอไรด์ได้สูงจะส่งผลดีต่อคอนกรีตเสริมเหล็กในการป้องกันปัจจัยฯ การเกิดสนิมของเหล็กเสริมเนื่องจากเกลือคลอไรด์ เนื่องจากจะลดปริมาณคลอไรด์อิสระที่เป็นอันตรายต่อเหล็กเสริมในคอนกรีตให้น้อยลง ทั้งนี้ โครงสร้างไฟแรงภายในชีเมนต์เพสต์ก็มีความสำคัญด้วยเนื่องจากคลอไรด์ที่แพร่เข้าไปในชีเมนต์เพสต์ต้องแพร่ผ่านโครงสร้างไฟแรงในชีเมนต์เพสต์นี้ ดังนั้นหากมีความเข้าใจในลักษณะไฟแรงซึ่งว่างของชีเมนต์

เพสต์ควบคู่ไปกับความสามารถเก็บกักคลื่นไฟฟ้าของชีเมนต์เพสต์ที่จะทำให้สามารถเลือกส่วนผสมคอนกรีตที่ป้องกันการเกิดสนิมของเหล็กเสริมให้เกิดขึ้นช้าลงได้

ดังนั้น จึงมีแนวความคิดในการเพิ่มความสามารถเก็บกักคลอไรด์ของเพสต์และลดขนาดของหินทรายในเพสต์ในเด็กลงด้วยการใช้ถ่านหิน (Fly ash) ซึ่งเป็นสารปอชโซลาน (Pozzolan) ที่นิยมใช้ในงานก่อสร้างอย่างแพร่หลาย โดยถ่านหินเป็นผลผลิตที่ได้จากการเผาถ่านหิน ก่อให้เกิดการเปลี่ยนผ่านของโครงสร้างภายในหินทราย ทำให้หินทรายมีความคงทนและแข็งแรงขึ้น สามารถลดปริมาณของหินทรายที่ต้องถูกขุดออกได้ ทำให้ลดต้นทุนการก่อสร้างและลดผลกระทบต่อสิ่งแวดล้อม รวมถึงลดการปล่อยก๊าซเรือนกระจกเข้าสู่-atmosphere ด้วย

## 1.2 วัตถุประสงค์ของงานวิจัย

- เพื่อศึกษาความสามารถเก็บกักคลอไรด์ของชีเมนต์เพสต์ผสมถ้าลอยชนิดต่างๆ
  - เพื่อศึกษาโครงสร้างไฟฟ้าในชีเมนต์เพสต์ผสมถ้าลอยชนิดต่างๆ

### 1.3 ขอบเขตของงานวิจัย

ขอบเขตของงานวิจัยครั้งนี้ประกอบด้วย การศึกษาความสามารถเก็บกักคลอไรด์ (Chloride binding capacity) ของซีเมนต์เพสต์ โครงสร้างโพรงช่องว่าง (Pore structure) ของซีเมนต์เพสต์ และกำลังรับแรงอัดของซีเมนต์เพสต์ โดยมีรายละเอียดดังนี้

- 1) การศึกษาความสามารถเก็บกักคลอไฮด์ของชีเมนต์เพสต์ แบ่งออกเป็น 2 ส่วน คือ
    - 1.1 ความสามารถเก็บกักคลอไฮด์ของชีเมนเพสต์ มีส่วนผสมโดยใช้ปูนชีเมนต์ปอร์ตแลนด์ประเภทที่ 1 ใช้อัตราส่วนระหว่างน้ำต่อวัสดุประสาน 2 อัตราส่วน คือ 0.40 และ 0.50 ตามลำดับ
    - 1.2 ความสามารถเก็บกักคลอไฮด์ของชีเมนต์เพสต์ผสมถ้าลอยะยอง (Rayong fly ash) มีส่วนผสมโดยใช้ปูนชีเมนต์ปอร์ตแลนด์ประเภทที่ 1 ใช้อัตราส่วนการแทนที่วัสดุประสานด้วยถ้าลอยะยอง คือ 0.3 และ 0.5 ใช้อัตราส่วนระหว่างน้ำต่อวัสดุประสาน 2 อัตราส่วน คือ 0.40 และ 0.50 ตามลำดับ
  - 2) การศึกษาโครงสร้างช่องว่าง (Pore structure) ของชีเมนต์เพสต์ แบ่งออกเป็น 2 ส่วน คือ
    - 2.1 โครงสร้างช่องว่างของชีเมนต์เพสต์ มีส่วนผสมโดยใช้ปูนชีเมนต์ปอร์ตแลนด์ประเภทที่ 1 ใช้อัตราส่วนระหว่างน้ำต่อวัสดุประสาน 2 อัตราส่วน คือ 0.40 และ 0.50 ตามลำดับ

2.2 โครงสร้างพองช่องว่างของซีเมนต์เพสต์ผสมถ้าล้อระยะห่าง (Rayong fly ash) มีส่วนผสมโดยใช้ปูนซีเมนต์ปอร์ตแลนด์ประเภทที่ 1 ใช้อัตราส่วนการแทนที่วัสดุประสานด้วยถ้าล้อระยะห่าง คือ 0.3 และ 0.5 ใช้อัตราส่วนระหว่างน้ำต่อวัสดุประสาน 2 อัตราส่วน คือ 0.40 และ 0.50 ตามลำดับ

3) การศึกษากำลังรับแรงอัดของซีเมนต์เพสต์ จะแบ่งออกเป็น 2 ส่วน คือ

3.1 กำลังรับแรงอัดของซีเมนต์เพสต์ มีส่วนผสมโดยใช้ปูนซีเมนต์ปอร์ตแลนด์ประเภทที่ 1 ใช้อัตราส่วนระหว่างน้ำต่อวัสดุประสาน 2 อัตราส่วน คือ 0.40 และ 0.50 ตามลำดับ

3.2 กำลังรับแรงอัดของซีเมนต์เพสต์ผสมถ้าล้อระยะห่าง (Rayong fly ash) มีส่วนผสมโดยใช้ปูนซีเมนต์ปอร์ตแลนด์ประเภทที่ 1 ใช้อัตราส่วนการแทนที่วัสดุประสานด้วยถ้าล้อระยะห่าง คือ 0.3 และ 0.5 ใช้อัตราส่วนระหว่างน้ำต่อวัสดุประสาน 2 อัตราส่วน คือ 0.40 และ 0.50 ตามลำดับ

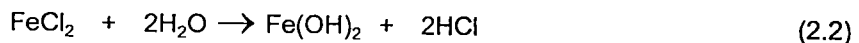
## บทที่ 2

### ทฤษฎีและงานวิจัยที่เกี่ยวข้อง

#### 2.1 กลไกการเกิดสนิมของเหล็กเสริมในคอนกรีตโดยคลอร์อไรด์

คลอร์อไรด์เป็นสาเหตุหนึ่งที่ทำให้เหล็กเสริมเกิดสนิมและทำให้คอนกรีตบริเวณรอบเหล็กเสริมเกิดการแตกร้าวและหลุดออกเป็นเสียงๆ (Delamination) เนื่องจากการขยายตัวของเหล็กเสริมอันเกิดเนื่องจากการก่อตัวของสนิม และเป็นสาเหตุหลักที่ทำลายองค์อาคารคอนกรีตเสริมเหล็ก โดยเมื่อปูนซีเมนต์ทำปฏิกิริยากับน้ำจะเกิดพิล์มน้ำ (Passive film) ที่มีคุณสมบัติเป็นต่างเคลือบผิวเหล็กไว้ทำหน้าที่ป้องกันการเกิดสนิมเหล็ก และถ้าคลอร์อไรด์อยู่ในสามารถแทรกซึมผ่านเนื้อคอนกรีตและสะสมรวมตัวกันที่ผิวเหล็กเสริมจนมีปริมาณมากพอกจนถึงจุดคลอร์วิกฤต (Chloride threshold) จะทำให้ความเป็นต่างของคอนกรีตลดลงและพิล์มน้ำจะถูกทำลาย และเมื่อมีน้ำและออกซิเจนเพียงพอบริเวณที่เหล็กเสริมไม่มีพิล์มน้ำป้องกันอยู่ ทำให้เหล็กเกิดสนิม โดยกระบวนการเกิดสนิมเนื่องจากคลอร์อไรด์แบ่งออกเป็น 2 ขั้นตอนดังนี้

1. ระยะเวลาช่วงแรก (Initial period) คือ ระยะเวลาตั้งแต่เริ่มหล่อคอนกรีตเสร็จจนถึงช่วงเวลาที่เหล็กเสริมคอนกรีตเริ่มเกิดสนิม โดยในช่วงนี้ คลอร์อไรด์อยู่ในเข้ามาสะสมในเนื้อเหล็กจนมีความเข้มข้นถึงระดับวิกฤต และจะไปทำปฏิกิริยากับ  $O_2$  และ  $H_2O$  ที่ซึมผ่านคอนกรีตเข้าไปที่เนื้อเหล็กเสริม



2. ระยะเวลาช่วงขยายตัวต่อเนื่อง (Propagation period) คือ ช่วงระยะเวลาที่เกิดการพัฒนาการเกิดสนิมในเหล็กเสริมคอนกรีต เป็นช่วงที่เกิดกระบวนการไฟฟ้าเคมีของการเกิดสนิมเหล็กอย่างต่อเนื่องจนกระทั่งโครงสร้างอาคารเกิดการวินาศ หรืออยู่ในสภาพที่ไม่ปลอดภัยในการใช้งาน

กระบวนการไฟฟ้าเคมีที่เกิดขึ้น จะทำให้เหล็กเสริมบริเวณขั้วลบถูกกัดกร่อนให้มีขนาดหน้าตัดเล็กลงและเหล็กเสริมบริเวณขั้วนำก็จะเกิดเป็นสนิม ซึ่งสนิมในเหล็กเสริมคอนกรีตที่เกิดขึ้นนี้จะมีการพัฒนาเพิ่มปริมาณมากขึ้นเรื่อยๆ ประมาณ 4-6 เท่า ตันให้คอนกรีตที่หุ้มอยู่จะทะลุออก เมื่อการกัดกร่อนเกิดเพิ่มมากยิ่งขึ้น เปลือกหุ้มคอนกรีตจะหลุดร่อนออกเป็นชั้นๆ ทำให้เกิดการสูญเสียแรงยึดเหนี่ยวระหว่างเหล็กเสริมกับคอนกรีตและทำให้โครงสร้างของอาคารสูญเสียความสามารถในการรับกำลังในที่สุด ส่งผลให้โครงสร้างขาดความมั่นคงแข็งแรงและมีความสามารถในการรับน้ำหนักบรรทุกลดลง อัตราการพัฒนาการเกิดสนิมในเหล็กเสริมคอนกรีตจะมีปริมาณมากหรือน้อยขึ้นอยู่กับความรุนแรงของสภาพแวดล้อมรอบๆ โครงสร้าง

ตารางที่ 2.1 สภาพของเหล็กเสริมในคอนกรีตที่ค่า pH ในระดับต่างๆ (Shamsad, 2003)

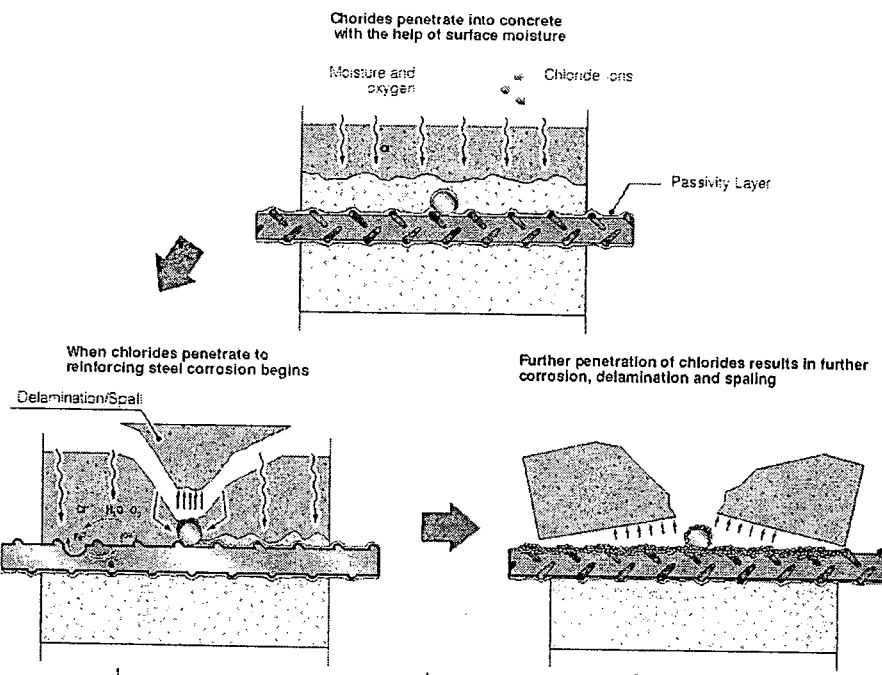
ค่า pH ของคอนกรีต	สภาพของสินมภายในเหล็กเสริมคอนกรีต
ต่ำกว่า 9.5	เริ่มเกิดสินมเล็กน้อยที่ผิว (ฟิล์มที่ผิวยังไม่หาย)
8.0	ฟิล์มที่เคลือบผิวเหล็กหายไป
ต่ำกว่า 7.0	เกิดสินมอย่างรุนแรงที่ตัวของเหล็กเสริม

นอกจากการซึมผ่านของน้ำที่มีคลอไรด์อ่อนผ่านเนื้อคอนกรีต จะเป็นสาเหตุของการเกิดสินมในเหล็กเสริมภายในโครงสร้างคอนกรีตเสริมเหล็กแล้ว ปฏิกิริยาคาร์บอนเนชันยังเป็นอีกสาเหตุหนึ่งที่ทำให้เกิดสินมขึ้น เช่นกัน ปฏิกิริยาคาร์บอนเนชันนี้จะลดความเป็นด่างของคอนกรีตลง ซึ่งความเป็นด่างของคอนกรีตนี้จะเป็นตัวช่วยป้องกันไม่ให้เหล็กเสริมเกิดสินม โดยปกติ ค่า pH ของคอนกรีตจะอยู่ระหว่าง 12-13 หากค่า pH ของคอนกรีตลดลงจนถึงจุดวิกฤต รวมทั้งมีน้ำและออกซิเจนเพียงพอ จะทำให้เหล็กเสริมเกิดสินมได้ ซึ่งค่า pH ก็จะเป็นค่าที่สามารถถูกอกได้ว่ามีโอกาสเกิดสินมได้มากน้อยเพียงใด ดังแสดงในตารางที่ 2.1

Soroka (1993) กล่าวว่า คลอไรด์อ่อนจะเกิดขึ้นในน้ำ ดังนั้นจะเกิดการแทรกซึมของคลอไรด์ก็ต่อเมื่อมีน้ำอยู่ในโครงสร้างว่าง กลไกที่เกิดขึ้นจะเป็นทั้งการดูดซึมน้ำแบบคัพิวลารี (Capillary suction) หรือการแพร่oyer ย่างง่ายของอ่อนของน้ำในโครงสร้างที่อยู่นิ่ง ในการณีแรกจะเกิดกับคอนกรีตที่มีลักษณะค่อนข้างแห้ง น้ำจะพาคลอไรด์อ่อนเข้าไปในคอนกรีต ในกรณีหลังจะเกิดกับคอนกรีตที่อิ่มตัวหรือค่อนข้างอิ่มด้วย น้ำจะเป็นเสมือนตัวกลางให้คลอไรด์อ่อนแพร่เข้าไปในคอนกรีต สำหรับคอนกรีตที่ต้องอยู่ในสภาพเปียกสลับแห้ง จะเกิดกลไกขึ้นได้ทั้งสองกรณีซึ่งอัตราการแทรกซึมของคลอไรด์อ่อนก็จะมีค่าเพิ่มมากขึ้น

Funahashi M. (1990) กล่าวว่า การเกิดสินมแบ่งเป็นสองขั้นตอนคือ 1. Initial period จะเริ่มเมื่อคลอไรด์อ่อนซึมผ่านเข้าไปสะสมในเนื้อคอนกรีตจนมีความเข้มข้นถึงระดับวิกฤต ซึ่งเป็นระดับที่ฟิล์มออกไซด์ที่เคลือบตามผิวเหล็กเสริมเสียหาย โดยมีค่าปริมาณของคลอไรด์ในช่วงตั้งแต่ 0.2 – 1.33 กม./ม<sup>3</sup> หรือตั้งแต่ 75 – 1175 ppm. ของคอนกรีต หลังจากนั้นตามด้วย 2. Propagation period ซึ่งเป็นปฏิกิริยาทางไฟฟ้าเคมี ส่งผลให้เหล็กเสริมเกิดสินมเหล็กขึ้นอย่างต่อเนื่อง

สมาคมวิศวกรรมสถานแห่งประเทศไทยในพระบรมราชูปถัมภ์ (2543) คลอไรด์ในเนื้อของคอนกรีตนี้อาจมีอยู่ในคอนกรีตเอง หรือมาจากการนอกโครงสร้างคอนกรีตในช่วงเวลาที่ใช้งาน โดยคลอไรด์ที่มีอยู่ในคอนกรีตเองนั้นอาจมาจากน้ำที่ใช้ในการผสมคอนกรีต หิน ทราย โดยเฉพาะอย่างยิ่งหิน ทราย จากแหล่งที่อยู่ใกล้ทะเล หรือในน้ำยาผสมคอนกรีตบางชนิด เช่น แคลเซียมคลอไรด์ ( $\text{CaCl}_2$ ) ซึ่งจะมีอยู่ในสารร清การก่อตัว แต่ปัญหาของคลอไรด์ที่กระทบต่อความทนทานของโครงสร้างคอนกรีตเสริมเหล็กนั้น ส่วนมากจะมาจากคลอไรด์ภายนอกคอนกรีตในช่วงที่ใช้งาน เช่น คลอไรด์ที่มาจากการสภาพแวดล้อมทะเล จากดิน หรือจากเกลือที่ใช้ในการละลายน้ำแข็งในประเทศที่มีอากาศหนาว (De-icing salt)



รูปที่ 2.1 กระบวนการเกิดสนิมเนื่องจากคลอไรด์ในน้ำทะเล (ที่มา: CPAC)

## 2.2 ประเภทของคลอไรด์ในเนื้อคอนกรีต

การที่คลอไรด์อ่อนน\_SOFTสามารถซึมผ่านเข้าไปในเนื้อนของคอนกรีตได้นั้น จะขึ้นอยู่กับปัจจัยต่างๆ หลายปัจจัยด้วยกัน เช่น ชนิดของปูนซีเมนต์ อัตราส่วนน้ำต่อวัสดุประสาน สภาพการบ่มคอนกรีต อุณหภูมิ ความเข้มข้นของเกลือคลอไรด์ และสภาพแวดล้อมที่โครงสร้างนั้นๆเผชิญ เป็นต้น โดยปริมาณ คลอไรด์ทั้งหมด (Total chloride) ที่อยู่ภายในเนื้อของคอนกรีตนั้น เกิดจากผลรวมของคลอไรด์ 2 ประเภท ได้แก่

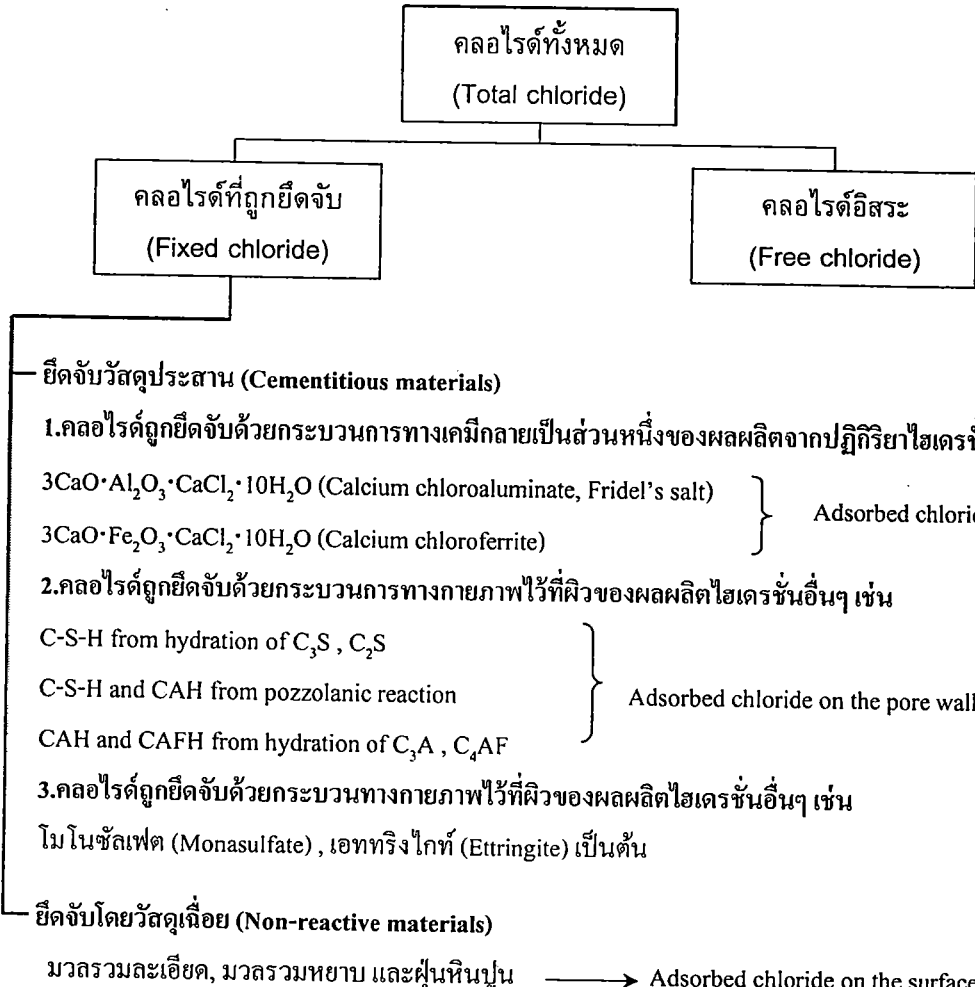
1. คลอไรด์ที่ถูกยึดจับ (Fixed chloride) คลอไรด์เมื่อยู๊ดในคอนกรีตจะถูกยึดจับโดยกลไก ดังต่อไปนี้ คือ

1.1 Chemical binding คลอไรด์บางส่วนจะถูกยึดจับโดยผลผลิตที่เกิดขึ้นเนื่องจากปฏิกิริยาไฮเดรชัน (Hydration products) เช่น ผลผลิตของ  $C_3A$  และ  $C_4AF$  ในรูปของ  $3CaO \cdot Al_2O_3 \cdot CaCl_2 \cdot 10H_2O$  (Calcium choroferite)

1.2 Physical binding คลอไรด์บางส่วนสามารถถูกยึดด้วยแรงทางกายภาพ (Surface force) ได้บันผิวของผลผลิตไฮเดรชัน เช่น C-S-H และ C-A-H เป็นต้น อีกทั้งยังสามารถถูกยึดอยู่บนผิวของวัสดุที่เป็นของแข็งที่ไม่มีปฏิกิริยา เช่น ทราย หิน หรือผงฟุนหิน ได้ด้วย ถึงแม้จะเป็นปริมาณน้อยมากก็ตาม

2. คลอไรด์อิสระ (Free chloride) คือ คลอไรด์ที่ละลายอยู่ในน้ำภายในโพรงช่องว่างของคอนกรีต (Pore solution) โดยคลอไรด์อิสระนี้เป็นส่วนหนึ่งของคลอไรด์ที่สามารถแพร่เข้าไปยังคอนกรีต ที่มีความเข้มข้นของคลอไรด์อิสระต่ำกว่า ดังนั้น ถ้าสามารถจับยึดคลอไรด์อิสระนี้ไว้ได้ ก็จะสามารถยึดระยะเวลาของการเกิดสนิมในเหล็กเสริมของโครงสร้างคอนกรีตเสริมเหล็กออกໄไปได้

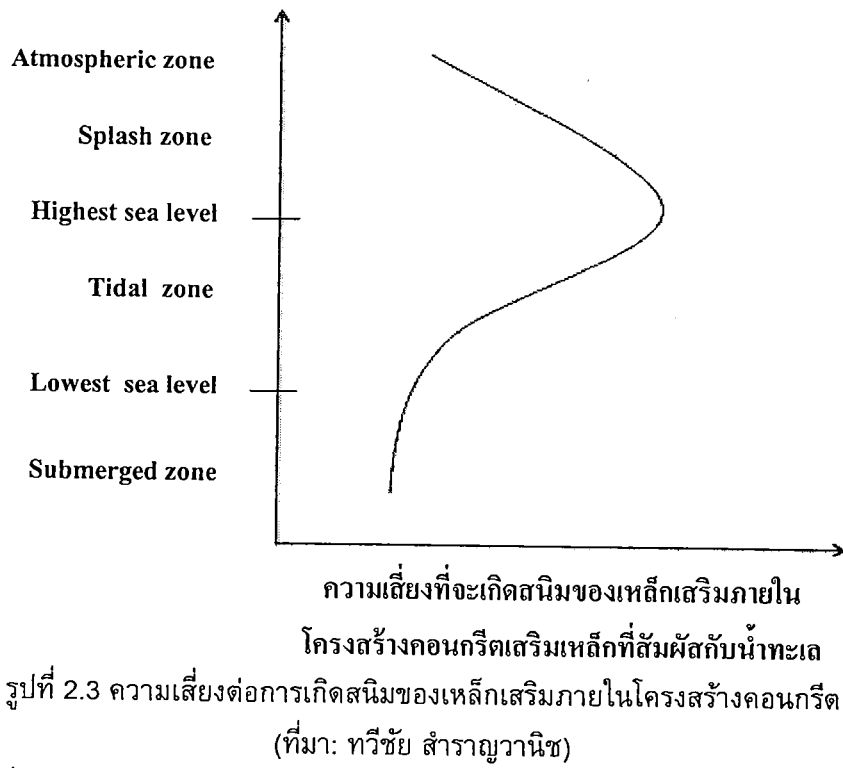
### Types of Chloride in Concrete



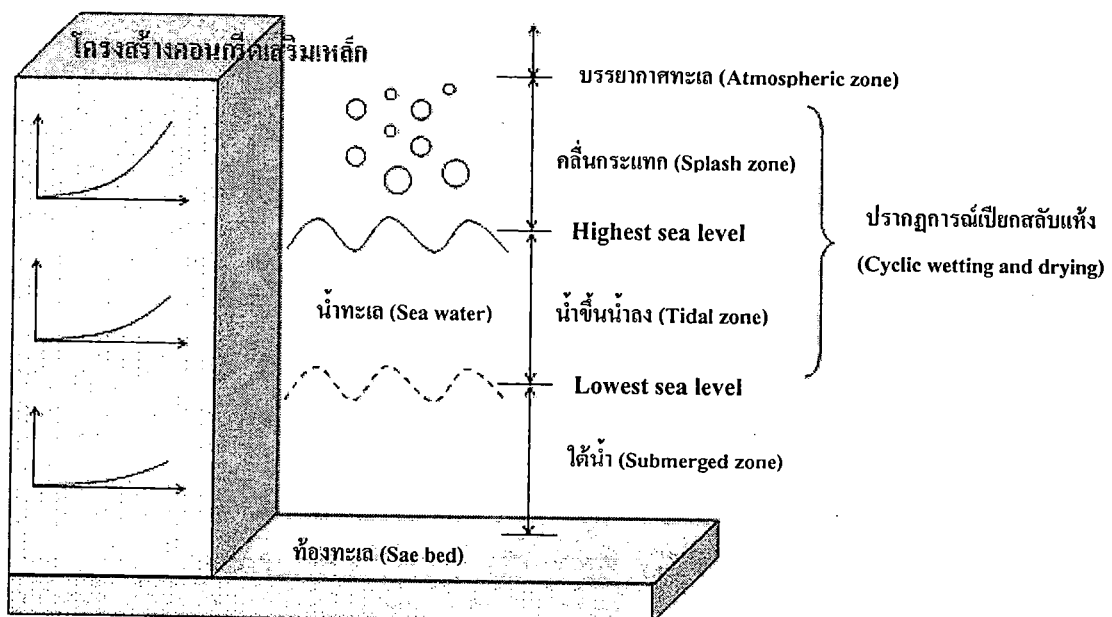
รูปที่ 2.2 แผนภาพแสดงชนิดของคลอไรด์ในคอนกรีต (ที่มา: ทวีชัย สำราญวนิช)

### 2.3 ความเสี่ยงของการกัดกร่อนเหล็กเสริมภายในโครงสร้างคอนกรีต

ความเสี่ยงที่จะเกิดการกัดกร่อนของเหล็กเสริมภายในโครงสร้างคอนกรีตเสริมเหล็ก จะมีมากที่สุดในบริเวณโครงสร้างที่อยู่ในบริเวณคลื่นและ浪ของน้ำ (Splash zone) รองลงมาเป็นบริเวณบรรยากาศแล (Atmospheric zone) และบริเวณน้ำขึ้นน้ำลง (Tidal zone) ส่วนบริเวณใต้น้ำทะเล (Submerged zone) จะมีความเสี่ยงต่อการกัดกร่อนเหล็กเสริมได้น้อยมาก ดังแสดงในรูปที่ 2.3



การที่ในบริเวณได้น้ำทะเลมีความเสี่ยงต่อการเกิดสนิมของเหล็กเสริมน้อยกว่าบริเวณอื่นเนื่องจากบริเวณได้น้ำทะเลมีความเข้มข้นของออกซิเจนน้อยและอัตราการแพร่ของออกซิเจนเข้าไปในคอนกรีตต่ำมาก เนื่องจากช่องว่างภายในคอนกรีตเป็นช่องว่างที่อิ่มด้วยน้ำ ซึ่งออกซิเจนละลายน้ำได้น้อยมาก ทำให้อัตราการแพร่เกิดขึ้นน้อย



รูปที่ 2.4 แบบจำลองโครงสร้างที่ถูกทำลายเนื่องจากคลอรอไรด์ในน้ำทะเล (ที่มา: ทวีชัย สำราญวนิช)

โครงสร้างคอนกรีตเสริมเหล็กที่อยู่ส่วนเปียกสลับแห้งนั้น น้ำทะเลจะเข้าสู่คอนกรีตที่แห้งโดยการแพร่หรือการซึมผ่าน จนกระทั่งคอนกรีตอยู่ในสภาพที่อิ่มตัว (Saturated) เมื่อสภาพภายนอกเปลี่ยนเป็นสภาพแห้ง น้ำที่ผิวของคอนกรีตจะระเหยออกไป ทิ้งไว้แต่คราบเกลือ เมื่อคอนกรีตอยู่ในสภาพเปียกอีกครั้งความชื้นของคลอไรด์ที่ผิวน้ำของคอนกรีตจะสูงขึ้น ดังนั้นมีคลอไรด์อ่อนที่บริเวณผิวน้ำของคอนกรีตมีความชื้นสูงขึ้นเรื่อยๆ และกระจายเข้าสู่ภายในคอนกรีต ทำให้คลอไรด์เข้าสู่บริเวณผิวของเหล็กเสริมมากขึ้น โดยปกติคอนกรีตจะเปียกได้เร็วแต่จะแห้งได้ช้า และภายในคอนกรีตนั้นไม่สามารถทำให้แห้งโดยสมบูรณ์ ดังนั้นการแพร่ของคลอไรด์อ่อนเข้าไปในคอนกรีตที่แห้งอยู่ในน้ำทะเลตลอดเวลา จึงข้ากว่าการเข้าไปในคอนกรีตของคลอไรด์อ่อนในสภาพเปียกสลับแห้ง

การเคลื่อนตัวของคลอไรด์อ่อนเข้าไปในคอนกรีตนั้น ขึ้นอยู่กับระยะเวลาของสภาพเปียกและแห้ง ซึ่งจะขึ้นอยู่กับสถานที่และสภาพแวดล้อมด้วย เช่น อุณหภูมิ ความชื้น การไหลของน้ำทะเล ทิศทางของลม ทิศทางแสงอาทิตย์ และสภาพการใช้งานของโครงสร้าง เป็นต้น ทำให้ในโครงสร้างเดียวกันในแต่ละส่วนอาจจะประสบกับสภาวะเปียกและแห้งได้ไม่เหมือนกัน โดยทั่วไปคอนกรีตที่สภาพแห้งนานกว่า สภาพเปียกจะแรงให้คลอไรด์อ่อนเข้าสู่คอนกรีตได้เร็วขึ้น ดังนั้นคอนกรีตที่ถูกน้ำทะเลเป็นบางครั้ง โดยมีช่วงแห้งที่นานกว่าหนึ่ง จะมีโอกาสเกิดปัญหาการเกิดสนิมของเหล็กเสริมได้มากกว่า และสนิมจะเริ่มเกิดขึ้นก็ต่อเมื่อปริมาณคลอไรด์อ่อนที่ผิวของเหล็กเสริมมีมากพอที่จะทำให้เหล็กเสริมนั้นเริ่มเกิดสนิมได้

โดยทั่วไปแล้ว แหล่งที่มาของคลอไรด์ที่มีผลกระทบต่อโครงสร้างคอนกรีตเสริมเหล็กนั้นมาจากน้ำทะเล เนื่องจากเมื่อพิจารณาจากองค์ประกอบของน้ำทะเลเดิมแสดงในตารางที่ 2.2 จะเห็นได้ว่าน้ำทะเลมีคลอไรด์ โดยเฉพาะโซเดียมคลอไรด์ มีปริมาณมากถึง 27,000 ส่วนในล้าน จึงทำโครงสร้างคอนกรีตเสริมเหล็กที่อยู่ในสภาพแวดล้อมทะเลเสื่อมสภาพได้ง่าย อย่างไรก็ตามสำหรับคอนกรีตที่แข็งอยู่ในน้ำทะเลตลอดเวลาหนึ่ง แม้คลอไรด์จะสามารถซึมผ่านเข้าไปในคอนกรีตได้มาก แต่ถ้าไม่มีออกซิเจน หรือมีออกซิเจนในปริมาณที่ไม่เพียงพอ การเกิดสนิมของเหล็กเสริมภายในโครงสร้างก็ไม่สามารถเกิดขึ้น ดังนั้นผลกระทบของโครงสร้างคอนกรีตเสริมเหล็กที่อยู่ในน้ำทะเลตลอดเวลาจึงมีไม่นัก

ตารางที่ 2.2 องค์ประกอบของน้ำทะเล (Mindess and Young, 1981)

Composition of seawater	Quantity (ppm)
Sodium chloride	27,000
Magnesium chloride	3,200
Magnesium sulfate	2,200
Calcium sulfate	1,100
Calcium chloride	500
<b>Total dissolved salts</b>	<b>34,000</b>

Thompson and Lankard (1997) กล่าวว่าโครงสร้างที่ตั้งอยู่บริเวณชายฝั่งทะเล อาจจะเกิดความเสื่อมสภาพได้จากสาเหตุหลายประการ เช่น การกัดเซาะ การชะล้าง การทำลายโดยชัลเฟต การแข็งตัวและหลอมเหลวของน้ำในคอนกรีต การตกผลึกของเกลือ การทำลายเนื่องจากชีวภาพ และการทำลายโดยคลอไรด์ ซึ่งส่งผลให้เหล็กเสริมเป็นสนิมถือเป็นสาเหตุหลัก

#### 2.4 การแทรกซึมของคลอไรด์ในคอนกรีต

เนื่องจากคลอไรด์เป็นองค์ประกอบหลักในน้ำทะเล จึงทำให้การเคลื่อนที่ของคลอไรด์ผ่านเข้าไปในเนื้อของคอนกรีตถือเป็นสิ่งสำคัญ คลอไรด์สามารถเข้าไปทำปฏิกิริยากับส่วนประกอบต่างๆ ของคอนกรีตได้ ซึ่งมีผลกระทบต่อความคงทนของคอนกรีต ทั้งทางตรงและทางอ้อม จะส่งผลให้โครงสร้างคอนกรีตเสริมเหล็กนั้นเสื่อมสภาพลง โดยการแทรกซึมของคลอไรด์ในคอนกรีตสามารถเกิดขึ้นได้จากสาเหตุต่างๆ เช่น ความแตกต่างของความเข้มข้น แรงดันน้ำ และประจุไฟฟ้า เป็นต้น นอกจากนั้นยังขึ้นอยู่กับแรงขับเคลื่อนของกลไกและธรรมชาติของสารที่เคลื่อนที่ผ่าน ดังนั้น กลไกสำคัญของการแทรกซึมของคลอไรด์เข้าไปยังเนื้อคอนกรีตสามารถแบ่งได้เป็น 4 กลไก ดังนี้

1. การแพร่ (Diffusion) จะมีผลต่อการเคลื่อนที่ของคลอไรด์อ่อนนวลเข้าไปยังโครงสร้างโดยภายในของคอนกรีตที่อิ่มตัว แรงขับเคลื่อนของคลอไรด์อ่อนนวลในกลไกนี้จะเกิดจากความเข้มข้น โดยคลอไรด์อ่อนนวลจะแพร่จากบริเวณที่มีความเข้มข้นของคลอไรด์อ่อนนวลสูง ไปยังบริเวณที่มีความเข้มข้นของคลอไรด์อ่อนนวลต่ำ ซึ่งจะเป็นไปตามกฎข้อที่สองของฟิกส์ (Fick's second law of diffusion) ซึ่งแสดงดังสมการดังนี้

$$\frac{\partial C_i(x,t)}{\partial t} = -D_a \frac{\partial^2 C_f(x,t)}{\partial^2 x} \quad (2.3)$$

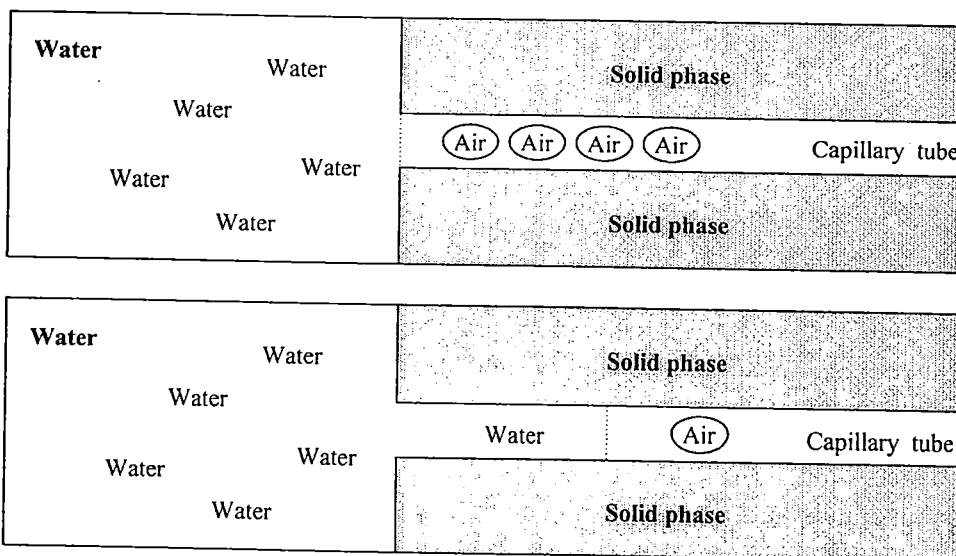
โดยที่	$C_i(x,t)$	คือ	ปริมาณคลอไรด์ทั้งหมดที่ระยะทาง $x$ จากผิวด้านนอก ที่ระยะเวลา $t$ (โมล/ลิตร)
	$C_f(x,t)$	คือ	ปริมาณคลอไรด์อิสระที่ระยะทาง $x$ จากผิวด้านนอก ที่ระยะเวลา $t$ (โมล/ลิตร)
	$D_a$	คือ	ค่าสัมประสิทธิ์การแพร่ของคลอไรด์ในคอนกรีต (ซม. <sup>2</sup> /ปี)
	$x$	คือ	ระยะทางจากผิวด้านนอกของคอนกรีต (ซม.)
	$t$	คือ	ระยะเวลาที่เผชิญคลอไรด์ (ปี)

ทั้งนี้ คำตอบของสมการที่ (2.3) สามารถแสดงได้ด้วยสมการที่ (2.4) ซึ่งเป็นคำตอบที่อยู่ในรูปของพังก์ชันความผิดพลาด (Error function)

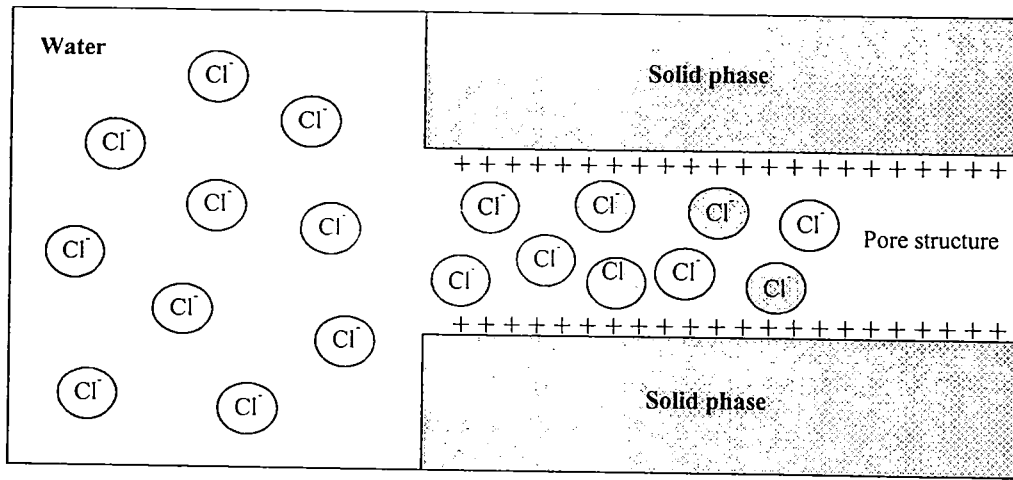
$$C_d = \frac{(C_s - C_0) \left[ 1 - erf\left(\frac{c}{2\sqrt{D_a}t}\right) \right] + C_0}{B} \times 100 \quad (2.4)$$

โดยที่	$C_d$	คือ ปริมาณเกลือคลอไรด์ในคอนกรีตที่ผิวเหล็กเสริม (%โดยน้ำหนักของวัสดุประสาน)
	$C_s$	คือ ปริมาณเกลือคลอไรด์ที่ผิวน้ำของคอนกรีต (กก./ม. <sup>3</sup> )
	$c$	ระยะห้องเหล็กเสริม (ซม.)
	$D_a$	ค่าสัมประสิทธิ์การแพร่ของเกลือคลอไรด์ในคอนกรีต (ซม. <sup>2</sup> /ปี)
	$t$	อายุการใช้งานที่ปลดการบำรุงรักษาของโครงสร้าง คอนกรีตเสริมเหล็ก (ปี)
	$B$	น้ำหนักวัสดุประสานในส่วนผสมคอนกรีต 1 ลูกบาศก์เมตร (กก./ม. <sup>3</sup> )

2. การดึงดูดแบบค้าพิวลาเรีย (Capillary suction) โดยการดึงดูดแบบค้าพิวลาเรียสามารถดึงน้ำเกลือผ่านเข้าไปยังโพรงที่แห้งเล็กๆ ในเนื้อบริเวณผิวของคอนกรีต โดยทั่วไปแล้วโครงสร้างที่อยู่ในบริเวณสิ่งแวดล้อมจะมีช่องทางเดินของน้ำที่อยู่ในสภาพเปียกสลับแห้ง เมื่อคอนกรีตที่อยู่ในสภาพแห้งถูกทำให้เปียกด้วยหัวกระเจ้า น้ำจะเดินทางจากช่องเดินของน้ำที่อยู่ในเนื้อของคอนกรีต โดยกลไกการดึงดูดแบบค้าพิวลาเรีย ซึ่งกลไกนี้จะเกิดขึ้นอย่างรวดเร็ว ใช้ระยะเวลาอันสั้น



รูปที่ 2.5 แผนภาพแสดงการดึงดูดแบบค้าพิวลาเรีย (ที่มา: ณปภัช จุหลัง)



โดย

$\text{Cl}^-$  Free chloride

$\text{Cl}^-$  Fixed Chloride

รูปที่ 2.6 แผนภาพแสดงการดึงดูดอิオンเข้าไปในคอนกรีต (ที่มา: ณปกัช อุเหงิง)

3. การดึงดูดอิออน (Ion adsorption) ในโครงสร้างคอนกรีตเสริมเหล็กที่อยู่ใต้น้ำทะเล ตลอดเวลา จะพบว่าความเข้มข้นของคลอไรด์ที่อยู่บริเวณใกล้กับผิวของคอนกรีตจะมีความเข้มข้นของคลอไรด์สูงกว่าความเข้มข้นของคลอไรด์ที่สารละลายโดยรอบของน้ำทะเล ปรากฏการณ์นี้ไม่สามารถอธิบายได้โดยกลไกการแพร่ เพาะการแพร่จะยุติเมื่อความเข้มข้นของคลอไรด์ในคอนกรีต เท่ากับความเข้มข้นของคลอไรด์ของสิ่งแวดล้อมภายนอก แต่กลไกการดึงดูดอิออนจะเกิดสูงขึ้นเนื่องจาก บริเวณผิวน้ำในคอนกรีตที่มีประจุไฟฟ้าบวกบริเวณที่ผิวของ公证ซึ่งอยู่ในคอนกรีต จะดึงดูดคลอไรด์อิออนที่มีประจุเป็นลบจากสิ่งแวดล้อมภายนอกเข้ามาในคอนกรีตและสะสมอยู่ในบริเวณนั้น

4. แรงดันน้ำ (Hydraulic pressure) โครงสร้างที่อยู่ภายใต้แรงดันน้ำ เช่น กำแพงกันดินหรืออุโมงค์ โดยความแตกต่างของแรงดัน สามารถทำให้น้ำซึ่งมีคลอไรด์อิออนเคลื่อนที่ผ่านเข้าไปภายในคอนกรีตจากบริเวณที่มีแรงดันสูงไปยังบริเวณที่มีแรงดันต่ำ

การเคลื่อนที่ของคลอไรด์เข้าสู่คอนกรีตที่อยู่ในสภาพอิ่มตัวด้วยน้ำ เช่น คอนกรีตที่แข็งอยู่ในน้ำทะเล จะเกิดขึ้นเนื่องจากกระบวนการแพร่เป็นหลัก โดยที่ในคลอไรด์ของสิ่งแวดล้อมภายนอกที่คอนกรีตนั้นสัมผัสถอยจะแพร่จากคอนกรีตที่มีความเข้มข้นคลอไรด์สูง ไปสู่คอนกรีตที่มีความเข้มข้นคลอไรด์ต่ำกว่า และเมื่อคลอไรด์เข้ามาอยู่ภายในเนื้อคอนกรีตแล้วคลอไรด์ก็จะแพร่จากที่มีความเข้มข้นของคลอไรด์สูงไปสู่ที่มีความเข้มข้นของคลอไรด์ต่ำกว่า จึงทำให้การกระจายตัวของความเข้มข้นคลอไรด์ เป็นไปตามระดับความลึกจากผิวภายนอกของคอนกรีตเข้าไปภายในเนื้อของคอนกรีตมีค่าเพิ่มขึ้น

## 2.5 ปัจจัยที่ส่งผลกระทบต่อการแทรกซึมของคลอไรด์

ความสามารถในการกัดกร่อนของคลอไรด์ของคอนกรีตจะมีผลต่อปริมาณคลอไรด์ที่สามารถแทรกซึมเข้าสู่คอนกรีต โดยปัจจัยที่ส่งผลกระทบต่ออัตราการแทรกซึมของคลอไรด์ ได้แก่

1. ระยะหักผิวคอนกรีต อัตราการแทรกซึมของคลอไรด์จะขึ้นอยู่กับความพรุนและระยะของคอนกรีตที่หักผิวเหล็กเสริม ความพรุนของคอนกรีต คือ ปริมาณรูพรุนที่อยู่ในเนื้อของคอนกรีต ถ้ารูพรุนน้อยไม่ต่อเนื่องกันก็จะทำให้คอนกรีตทึบหน้าส่งผลให้อัตราการแทรกซึมของคลอไรด์ลดลง

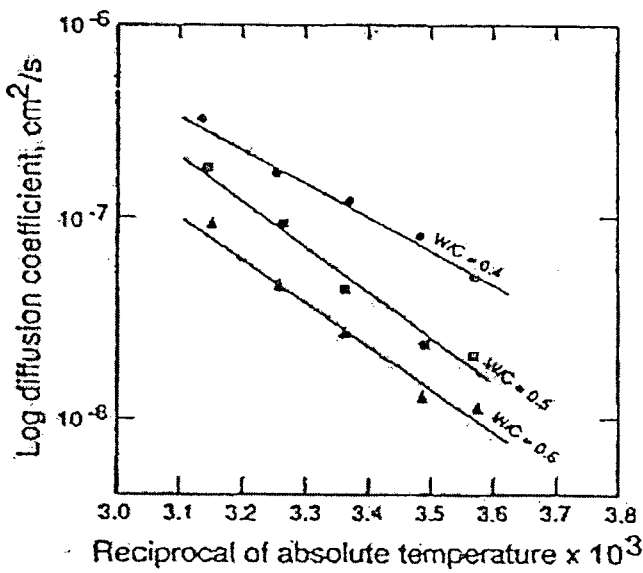
Neville (1995) ยังมีระยะหักผิวคอนกรีตหักผิวมากเท่าใด เวลาที่ใช้จันทร์ทั้งความเข้มข้นของคลอไรด์ที่ระดับของเหล็กเสริมถึงค่าวิกฤตจะมากขึ้น ชี้ระยะหักผิวที่หักผิวนี้จะมีความสัมพันธ์กับคุณภาพของคอนกรีต หากคุณภาพของคอนกรีตดีจะสามารถลดระยะหักผิวลงได้

Soroka (1993) ระยะที่ใช้จันทร์ทั้งคลอไรด์มีความเข้มข้นเป็นร้อยละ 0.4 ที่ระยะหนึ่งวัดจากผิวของคอนกรีต จะเพิ่มขึ้นเมื่อความพรุนของคอนกรีตลดลง หรือระยะที่มีปริมาณวิกฤตที่เวลาหนึ่งจะเพิ่มขึ้นเมื่อความพรุนของคอนกรีตเพิ่มขึ้น นอกจากนั้นยังพบว่า อัตราส่วนน้ำต่อปูนซีเมนต์ และระยะเวลาในการบ่มต่างส่งผลต่ออัตราการแทรกซึมของคลอไรด์ คือเมื่ออัตราส่วนน้ำต่อปูนซีเมนต์เพิ่มขึ้นจะส่งผลให้อัตราการแทรกซึมของคลอไรด์เพิ่มขึ้น ดังนั้นในการควบคุมอัตราการแทรกซึมของคลอไรด์ จะต้องบ่มคอนกรีตหักผิวให้ดี และเมื่ออัตราส่วนน้ำต่อปูนซีเมนต์ต่ำลดลงแนวของเหล็กเสริม

2. ชนิดและปริมาณของปูนซีเมนต์ ส่วนประกอบและปริมาณของปูนซีเมนต์ ต่างมีผลต่อปริมาณของคลอไรด์ที่เข้าทำปฏิกิริยา เมื่อปูนซีเมนต์ที่ใช้มีปริมาณมาก ก็ย่อมสามารถกัดกร่อนได้ในปริมาณมาก จึงทำให้อัตราการแทรกซึมลดลง ดังนั้นอัตราส่วนน้ำต่อปูนซีเมนต์และประเภทปูนซีเมนต์จะเป็นตัวบวกคุณภาพความซึมผ่านได้ของคอนกรีต ซึ่งคุณภาพดังกล่าวขึ้นอยู่กับการทำให้คอนกรีตแน่นและเงื่อนไขการ

Soroka (1993) สภาพการสูญเสียความด้านทานการเกิดสนิม เกิดจากคลอไรด์อิสระหรือคลอไรด์ที่ไม่ถูกกัดกร่อนโดยผลิตผลจากปฏิกิริยาไฮเดรชัน แต่คลอไรด์จะเข้าร่วมสารผลิตภัณฑ์ของ  $C_3A$  เกือบทั้งหมด กล้ายเป็นเฟรเดลคลอไรด์ (Friedels salt,  $3CaO \cdot Al_2O_3 \cdot CaCl_2 \cdot 10H_2O$ ) หรือเมื่อสารละลาย มีความเข้มข้นสูง จะทำให้เกิดแคลเซียมออกไซด์คลอไรด์ ( $CaO \cdot CaCl_2 \cdot 10H_2O$ ) ด้วยความสามารถในการกัดกร่อนของปูนซีเมนต์ปอร์ตแลนด์ จะขึ้นอยู่กับปริมาณ  $C_3A$  ถ้า  $C_3A$  มาก ความสามารถในการกัดกร่อนของคลอไรด์ก็จะมากตามไปด้วย ดังนั้นถ้าปูนซีเมนต์ยังมีความสามารถในการกัดกร่อนของคลอไรด์มากเท่าใดก็ย่อมจะห่วงการแทรกซึมของคลอไรด์ที่เข้าไปในคอนกรีตให้ช้าลงเท่านั้นและจะทำให้ระยะเวลาช่วงแรกของการกัดกร่อนช้าลงไปอีก

3. ตัวชัดข่าวการกัดกร่อน คือสารที่มีคุณสมบัติต่อต้านการสูญเสียความด้านทานการเกิดสนิมของคลอไรด์ ไม่ว่าจะเป็นลักษณะการป้องกันหรือหน่วงให้เหล็กเสริมผู้กร่อนช้าลง มีทั้งแบบที่เป็นสารอินทรีย์และสารอนินทรีย์ แต่ที่ใช้กันอย่างแพร่หลายคือประเภทไนโตรต์ ได้แก่ แคลเซียมไนโตรต์ และโซเดียมไนโตรต์ซึ่งเป็นประเภทสารอินทรีย์



รูปที่ 2.7 ผลของอุณหภูมิและอัตราส่วนน้ำต่อปูนซีเมนต์ต่อสัมประสิทธิ์การแพร่ของเกลือคลอไรด์

#### 4. อุณหภูมิ

Soroka (1993) อัตราส่วนน้ำต่อปูนซีเมนต์จะเพิ่มขึ้นตามอุณหภูมิและความสัมพันธ์ระหว่างสัมประสิทธิ์การแพร่ในรูปของการทึบกับส่วนกลับของอุณหภูมิที่มีหน่วยเป็นเคลวินจะเป็นเส้นตรง ดังรูปที่ 2.6 โดยในสภาพอากาศร้อน เวลาที่คลอไรด์ใช้ในการเคลื่อนที่ถึงเหล็กจะสั้นกว่าในสภาพอากาศเป็นกลาง และจะสังเกตว่าอัตราการแทรกซึมของคลอไรด์จะเพิ่มขึ้นตามอัตราส่วนน้ำต่อปูนซีเมนต์

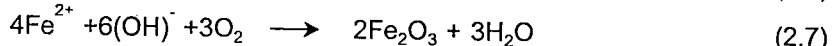
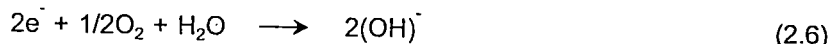
Khatib and Mangat (2002) ทำการทดลองถึงผลกระทบของการบ่มที่อุณหภูมิสูงและความชื้นต่างๆ ของการแทรกซึมของเกลือคลอไรด์ในคอนกรีตที่ใช้วัสดุแทนที่ปริมาณปูนซีเมนต์บางส่วน โดยใช้อัตราส่วนผสมของคอนกรีต 3 อัตราส่วนผสมที่แตกต่างกัน ซึ่งอัตราส่วนผสมที่ 1 ใช้ซีเมนต์ล้วนเป็นวัสดุประสาน และอัตราส่วนผสมที่ 2 และ 3 ใช้เต้าloy 20% และ ชิลิกาฟูม 9% แทนที่ปริมาณปูนซีเมนต์โดยนำหัวกากของวัสดุประสาน ตามลำดับ ใช้อัตราส่วนน้ำต่อวัสดุประสาน 0.45 ผลการทดสอบของการแข็งตัวอย่างในช่วงเวลาสั้นๆ พบว่า การบ่มในช่วงต้นจะส่งผลกระทบอย่างมากต่อการแทรกซึมของเกลือคลอไรด์ในคอนกรีต และผลของอุณหภูมิที่สูง และความชื้นที่ต่ำส่งผลกระทบต่อการแทรกซึมของการเคลื่อนที่ของเกลือคลอไรด์ในคอนกรีตในช่วงที่เชิงลบกับการแทรกซึมของเกลือในอุณหภูมิปกติ และใช้วิธีการบ่มเปียก ทั้งนี้เนื่องจากการบ่มแห้งที่อุณหภูมิสูงจะส่งผลให้น้ำที่ผิวน้ำของตัวอย่างสูญเสียไป และปฏิกิริยาไออกเรชันถูกจำกัด ผลกระทบของการบ่มจะส่งผลกระทบน้อยลงเมื่อตัวอย่างเชิงลบกับคลอไรด์ในช่วงเวลานานและการแทรกซึมของเกลือคลอไรด์จะลดลงเมื่อให้เต้าloy และชิลิกาฟูม แทนที่ปริมาณปูนซีเมนต์บางส่วนในคอนกรีต

5. คุณภาพของคอนกรีต ส่วนประกอบของคอนกรีตและอุณหภูมิที่ใช้บ่มมีความสำคัญกับโครงสร้างของโรง เนื่องเพิ่มระดับของปฏิกิริยาไฮเดรชัน ความสามารถในการแทรกซึมของคลอไรด์จะลดลง ซึ่งจะเป็นจริงเมื่อคอนกรีตไม่มีการสูญเสียน้ำเท่านั้น หากสูญเสียน้ำระดับของปฏิกิริยาไฮเดรชันจะเปลี่ยนไปตามระยะจากผิว เนื่องจากการลดลงของความชื้นจะทำให้ความสามารถซึมผ่านได้เพิ่มขึ้น หากบ่มคอนกรีตไว้นาน การแทรกซึมของคลอไรด์ก็จะลดลง นอกจากนี้หากการทำให้คอนกรีตแห้งไม่เพียงพอ การแทรกซึมของคลอไรด์จะเพิ่มขึ้น

## 2.6 ความสามารถเก็บกักคลอไรด์

ในปัจจุบันการออกแบบโครงสร้างคอนกรีตเสริมเหล็ก มักคำนึงถึงด้านกำลังรับแรงของวัสดุโดยออกแบบให้โครงสร้างสามารถรับน้ำหนักที่มากกระทำได้อย่างปลอดภัย แต่ไม่สามารถระบุได้ว่าโครงสร้างนั้นจะมีอายุการใช้งานได้นานเพียงใด ดังนั้นถ้าทราบถึงเวลาที่โครงสร้างจะเริ่มเสื่อมสภาพก็จะสามารถซ่อมแซมแก้ไขได้ทันเวลา ซึ่งการเสื่อมสภาพของโครงสร้างคอนกรีตเสริมเหล็กนั้นอาจเกิดมาจากการกลุ่มใหญ่ๆ คือ เสื่อมสภาพจากปฏิกิริยาการบ่อนหนันและเสื่อมสภาพจากการผุกร่อนของเหล็กเสริม

คลอไรด์สามารถแบ่งได้เป็น 2 ประเภท คือคลอไรด์ที่ถูกเก็บกักไว้ สามารถแบ่งได้เป็นฟรีเดตคลอไรด์หรือคลอไรด์ที่ถูกเก็บกักจากการทำปฏิกิริยาทางเคมีและทางกายภาพ และคลอไรด์อิสระ เป็นสารละลายคลอไรด์ที่อยู่ในช่องว่างของคอนกรีตสามารถแพร่ไปยังที่ที่มีความเข้มข้นต่ำกว่าได้ ปกติเหล็กเสริมในคอนกรีตจะไม่ผุกร่อน เพราะคอนกรีตมีสภาพเป็นด่างสูง เนื่องมาจากไฮดรอกไซด์ไอออน แต่เมื่อคลอไรด์อิสระแพร่เข้าไปจะทำให้ความเป็นด่างในคอนกรีตลดลง เพราะคลอไรด์ไอออนซึ่งหนักกว่าจะเข้าไปแทนที่ไฮดรอกไซด์ไอออน ดังนั้นเมื่อคลอไรด์อิสระแพร่เข้าไปถึงตำแหน่งของเหล็กเสริม และทำให้ความเป็นกรด-ด่าง ( $pH$ ) ของคอนกรีตรอบๆ เหล็กเสริมลดลงเหลือประมาณ 9 จากค่า  $pH$  ของคอนกรีตเดิมที่มีประมาณ 12.5 จะทำให้เหล็กเสริมผุกร่อนได้ดังสมการ



สำหรับปริมาณคลอไรด์อิสระที่มีอยู่ในคอนกรีตสามารถทราบได้โดยตรง จากการวิเคราะห์ความเข้มข้นของคลอไรด์ในช่องของคอนกรีต สำหรับปริมาณคลอไรด์ที่ถูกกักเก็บหาได้จากสมการ 2.8

$$C_{fixed} = \alpha_{fixed} C_{tot} \quad (2.8)$$

และสามารถหาปริมาณคลอไรด์อิสระได้จากสมการ 2.9

$$C_{free} = C_{tot} - C_{fixed} \quad (2.9)$$

$C_{free}$  คือ ปริมาณคลอไรด์อิสระ

$C_{fixed}$  คือ ปริมาณคลอไรด์ที่ถูกเก็บกัก

$C_{tot}$  คือ ปริมาณของคลอไรด์ทั้งหมดคิดเป็นค่าร้อยละตามน้ำหนักของปูนซีเมนต์

$\alpha_{fixed}$  คือ ค่าแฟคเตอร์การบีดจับคลอไรด์ (Fixed Chloride Factor)

ดังนั้น ถ้าสามารถเก็บกักคลอไรด์ไว้ได้มากคลอไรด์อิสระก็จะมีน้อย ทำให้โครงสร้างคอนกรีตเสริมเหล็กมีอายุการใช้งานนานขึ้น

## 2.7 โครงสร้างของช่องว่างของคอนกรีต

คอนกรีตเป็นวัสดุที่ใช้กันอย่างแพร่หลายในงานก่อสร้างทั่วไป เช่น ถนน สะพาน อาคาร เขื่อน อุโมงค์ เป็นต้น ในการออกแบบโครงสร้างคอนกรีต นอกจากความสามารถในการด้านทนทานแล้ว ทั้งหมด ของโครงสร้างแล้ว ความทันทายยังเป็นคุณสมบัติที่ควรให้ความสนใจอย่างมาก โดยทั่วไปความทันทายของคอนกรีตจะขึ้นอยู่กับการด้านทาน การผ่านเข้าไปของสารที่ทำให้เกิดอันตรายต่อโครงสร้างจากสิ่งแวดล้อม คอนกรีตเป็นวัสดุผสมที่ซับซ้อนและเป็นวัสดุที่มีความพรุน มีโครงสร้างระดับอนุภาค (Microstructure) ขนาดต่างกัน แคลเซียมซิลิกเกตไอกเรตเป็นวัสดุที่มีขนาดนาโนเมตร ขณะที่ซีเมนต์เพสต์เป็นโครงสร้างที่ระดับขนาดไมโครเมตร และเมื่อผสมทรายและหินทำให้คอนกรีตมีขนาดระดับมิลลิเมตร การศึกษาโครงสร้างระดับอนุภาคของซีเมนต์เพสต์จึงเป็นสิ่งสำคัญ เพราะทำให้เข้าใจพฤติกรรมของมอร์ต้าและคอนกรีต ปริมาตรของโพรง (Pore volume) และการกระจายขนาดของโพรง (Pore size distribution) เป็นส่วนประกอบระดับอนุภาคที่สำคัญของซีเมนต์เพสต์ที่แข็งตัว เพราะมีผลต่อสมบัติทางด้านกายภาพของซีเมนต์เพสต์ เช่น กำลัง การคืน การหดตัว การซึมผ่าน และความทันทาย เป็นต้น คุณสมบัติของคอนกรีตมีความสัมพันธ์โดยตรงกับการปรับเปลี่ยนโครงสร้างโพรงในซีเมนต์เพสต์ เพื่อทำให้คอนกรีตมีกำลังสูงขึ้น ความทันทายดีขึ้นและลดการซึมผ่านน้ำ จำเป็นต้องลดปริมาตรและขนาดโพรงในซีเมนต์เพสต์ โดยการนำวัสดุปอชโซลาน (Pozzolan) มาใช้แทนที่ในปูนซีเมนต์บางส่วน เพื่อลดการซึมผ่าน ลดปริมาตรและขนาดของโพรงในซีเมนต์เพสต์ กลไกการทำงานของวัสดุปอชโซลาน มี 2 ส่วนคือ ส่วนที่อุดช่องว่างทำให้โครงสร้างโพรงในซีเมนต์เพสต์แน่นขึ้น และส่วนที่สองทำปฏิกิริยากับแคลเซียมไอกเรตเกิดแคลเซียมซิลิกเกตไอกเรต เป็นผลให้ปริมาตรและขนาดโพรงในซีเมนต์เพสต์ลดลง และมีผลทำให้การซึมผ่านน้ำลดลงด้วย มีนักวิจัยจำนวนมากศึกษาผลกระทบของสารปอชโซลานต่อโครงสร้างของคอนกรีตระดับอนุภาค

โครงสร้างของช่องว่างเป็นตัวควบคุมอัตราการซึมผ่านของก๊าซและของเหลวที่ทำให้เกิดอันตรายต่อคอนกรีตจากสิ่งแวดล้อม และยังมีผลกระทบที่สำคัญต่อกำลังอัดของคอนกรีต โครงสร้างของช่องว่างของซีเมนต์เพสต์ประกอบด้วยโพรง 2 ชนิด คือโพรงคากิลารี (Capillary pore) มีขนาดเส้นผ่านศูนย์กลางระหว่าง 0.01 ถึง 10 ไมโครเมตร และโพรงของเจล (Gel pore) มีเส้นผ่านศูนย์กลางเล็กประมาณ 0.0005 ถึง 0.01 ไมโครเมตร โพรงเจลที่มีขนาดเล็กกว่า 0.0005 ไมโครเมตร ถือว่าเป็นโพรงเจลขนาดเล็กมาก และเป็นโพรงระหว่างแผ่น โดยสภาพของน้ำในโพรงมีแรงยึดเหนี่ยว เมื่อขนาดของโพรงใหญ่ขึ้นโดยอยู่ระหว่าง 0.0005 ถึง 0.0025 ไมโครเมตร ถือว่าเป็นโพรงเจลขนาดเล็กโดยสภาพน้ำในโพรงอยู่ในสภาพดูดซับที่ผิว และเมื่อขนาดของโพรงเพิ่มขึ้นเป็น 0.0025 ถึง 0.01 ไมโครเมตร ถือว่าเป็นโพรงเจลขนาดใหญ่ (หรือโพรงคากิลารีขนาดเล็ก) โดยสภาพของน้ำในโพรงมีแรงตึงผิวสูง สำหรับโพรงคากิลารีมีขนาดระหว่าง 0.01 ถึง 0.05 ไมโครเมตรถือว่าเป็นโพรงคากิลารีขนาดกลางโดยสภาพของ

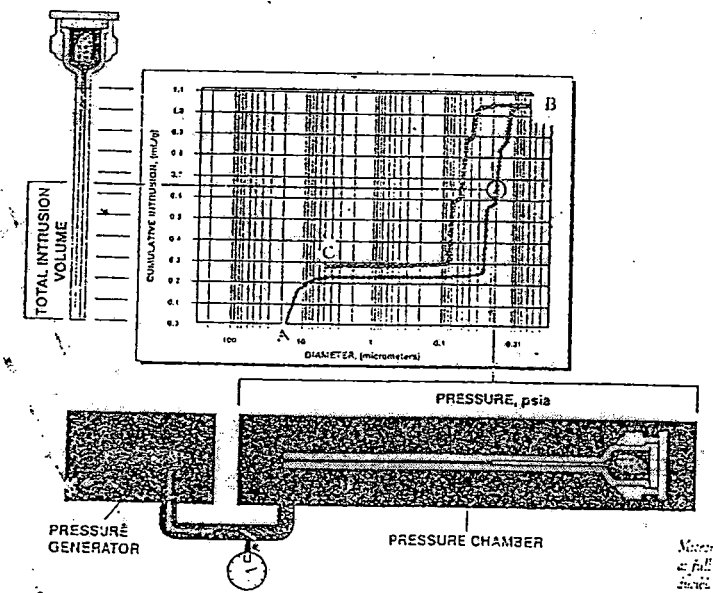
น้ำมีแรงตึงผิวปานกลาง และเมื่อเป็นโพงค้าปีลารีขนาดใหญ่ ( $0.05$  ถึง  $10$  ไมโครเมตร) พบร่วมน้ำในโพรงจะอยู่ในสภาพอิสระ ความซับซ้อนของโพรงในวัสดุเหล่านี้ จะวัดระดับการกระจายตัวและขนาดของ การเกิดโพรงได้ยาก ซึ่งวิธีที่มักจะใช้กันคือ Mercury Intrusion Porosimetry (MIP) การดูดซับໄอกน้ำ การดูดซับในໂಡຣເຈນ และการใช้กล้องจุลทรรศน์แบบอิเล็กตรอน (SEM)

2.7.1 Mercury Intrusion Porosimetry (MIP) คือเทคนิคที่ใช้ในการวัดการกระจายตัวของโพรง ซึ่งว่าง ขนาดเส้นผ่าศูนย์กลางและความพรุนภายในของซีเมนต์เพสต์ และมีประโยชน์ในการใช้ขยาย ระยะของการวัดขนาดหลุ่ม จากระดับที่เล็กเพียงไม่กี่นาโนเมตรไปถึงหลายร้อยไมโครเมตร โดยใช้ปစุห์ ซึ่งเป็นของเหลวที่จะไม่ทำปฏิกิริยา กับของแข็งทุกชนิด (Non-wetting material) และต้องใช้แรงดันอัด ปစุห์เข้าไปในวัสดุต่างๆ โดยตรวจสอบการลดลงของป्रอทในเพเนโตรมิเตอร์ เมื่อความดันที่ใช้เพิ่มขึ้น รัศมีของโพรงซึ่งว่างที่สามารถเดิมป্রอทลงไปได้จะลดลง และส่งผลต่อการเพิ่มขึ้นของปริมาตรโดยรวม ของป्रอทที่แทรกเข้าไป ข้อมูลที่ได้รับจะแสดงถึงการกระจายตัวของปริมาณโพรง รูปแบบทางกายภาพ ของโพรง และสามารถคำนวณการกระจายตัวของขนาดโพรงในแต่ละมิติได้ง่ายขึ้น การตรวจดูนี้เป็นไป ตามสมการของ Washburn ที่ความสัมพันธ์ของความดัน ( $P$ ) ถูกอัดเข้าไปในโพรงซึ่งว่างขนาดเส้นผ่าน ศูนย์กลาง ( $d$ ) โดยจะให้โพรงมีรูปทรงกรวยบอก จะได้สมการดังนี้

$$P = \frac{-4\gamma \cos\theta}{d} \quad (2.10)$$

เมื่อ	$P$	= ความดันของการแทรกซึมของป्रอท
	$\gamma$	= แรงตึงผิวของป्रอท (Surface tension of mercury)
	$\theta$	= มุมสัมผัสระหว่างป्रอทกับผนังโพรงซึ่งว่าง
	$d$	= ขนาดเส้นผ่านศูนย์กลางของโพรงซึ่งว่าง

ความสัมพันธ์นี้เรียกว่า ความสมดุลกันของ Washburn แม้ว่าในสารที่เกิดโพรงแบบทุกชนิดจะ ไม่มีลักษณะของหลุ่มที่เป็นโพรงทรงกรวยบอก แต่การหาความสมดุลนี้มักจะถูกใช้ในการคำนวณการ กระจายตัวของขนาดโพรงซึ่งว่าง ซึ่งเกิดจากการคำนวณแรงดันของป्रอทออกจากโพรงซึ่งว่าง เท่ากับแรงและความดันที่อัดเข้าไปในโพรง ในทางปฏิบัติของการตรวจวัด การเพิ่มความดันขึ้น โดย ขนาดของโพรงสามารถได้ทุกจุดของความดันที่เพิ่มขึ้น ซึ่งสอดคล้องกับปริมาตรของป्रอทที่ใช้ แทนที่ปริมาตรของโพรง นอกจากนี้การตรวจวัดแต่ละช่วงความดันป্রอท จะได้ความสัมพันธ์ระหว่าง ปริมาตรโพรงกับการกระจายขนาดของโพรงของตัวอย่างเช่นกัน (A. B. Abell, K. L. Willis, and D. A. Lange. 1997) โดยเครื่องวัดค่าที่ใช้ จะมีความดันอยู่ในช่วงต่ำกว่าความดันบรรยายกาศจนถึง  $414$  MPa ( $60,000$  psi) ซึ่งความดันดังกล่าวสามารถผลักโดยป्रอทที่เข้าไปในโพรงตั้งแต่ขนาด  $7.5$   $\mu\text{m}$  ถึง  $1.7$  กม ตั้งรูปที่  $2.8$  จะแสดงถึงการอัดป्रอทเข้าสู่โพรง สามารถสังเกตจากเส้นกราฟ  $AB$  และลดความดัน จนถึงความดันบรรยายกาศ เพื่อให้ป्रอทออกจากโพรง พฤติกรรมสอดคล้องกับเส้นกราฟ  $BC$  ณ ที่ความ ดันต่างๆ สามารถคำนวณเป็นขนาดของโพรง การกระจายตัวของขนาดของโพรง และโพรงที่เปิดสู่ผิว ภายนอก

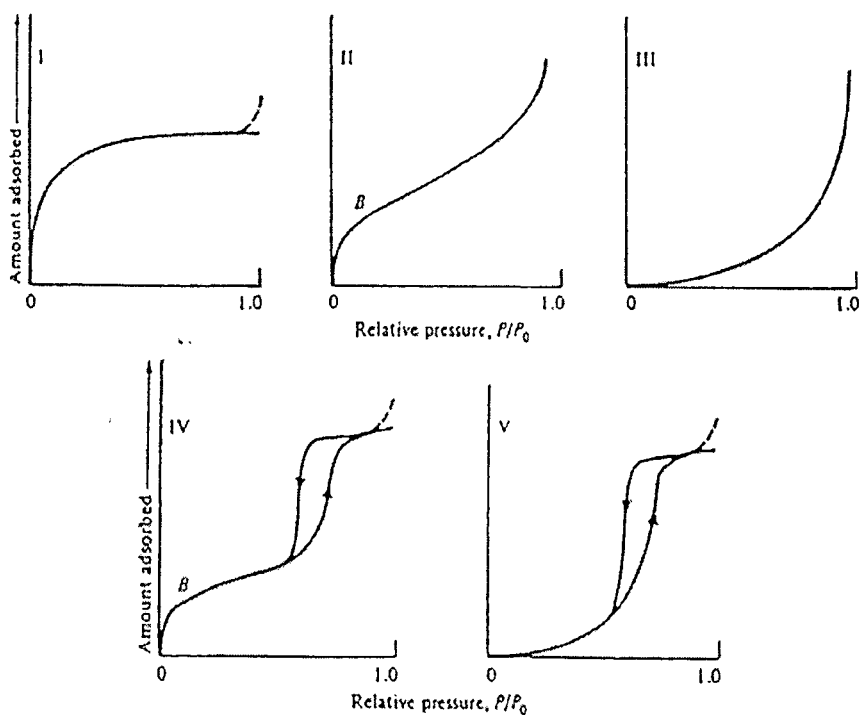


รูปที่ 2.8 ปริมาณของprotoที่เข้าไปในโพรงขนาดต่างๆ

### 2.7.2 Brunauer-Emmett-Teller (BET)

พื้นที่ผิวจำเพาะเป็นปัจจัยที่สำคัญในการบ่งบอกถึงคุณสมบัติต่างๆ เนื่องจากค่าพื้นที่ผิวจำเพาะสามารถใช้ทดสอบเปรียบเทียบโพรงช่องว่างและความพรุนได้ ซึ่งเทคนิคนี้นิยมใช้ในการวัดพื้นที่ผิวจำเพาะทั้งหมด (Total specific surface area) คือเทคนิคการดูดซับในไตรเจนหรือเรียกว่าเทคนิค BET (Brunauer Emmett Teller) ใน การวัดพื้นที่ผิวจะต้องใช้ไอโซเทอม (Isotherm) ของการดูดซับ ซึ่งไอโซเทอมนี้จะมีรูปแบบตามธรรมชาติของตัวดูดซับที่เป็นของแข็ง ซึ่งจะทำการทดลองที่อุณหภูมิคงที่ ที่ความดันย่อยต่างๆเพื่อสร้างไอโซเทอมของการดูดซับ และข้อมูลที่ได้จากการดูดซับ คือ ค่าของพื้นผิว ค่าของปริมาตรรูพรุน ลักษณะเคมีพื้นผิว (Surface chemistry) ของตัวดูดซับ ข้อมูลพื้นฐานของการดูดซับ และทราบประสิทธิภาพของการดูดซับที่ใช้ในระบบการแยกหรือการทำให้บริสุทธิ์ ไอโซเทอมของการดูดซับทางกายภาพทั้งหมดสามารถแบ่งออกได้เป็น 5 กลุ่ม โดยในตอนแรกเสนอโดย Brunauer, Deming, and Teller (BDT) ในปัจจุบันการแบ่งกลุ่มได้ถูกเรียกว่า Brunauer, Emmett and Teller (BET) classification ในทุกกรณีเมื่อค่าความดันย่อยเพิ่มขึ้น ปริมาณการดูดซับจะมีค่าเพิ่มขึ้น ปริมาณการดูดซับจะมีค่าเพิ่มขึ้นด้วยการดูดซับเป็นแบบชั้นเดียว หลังจากนั้นจะเพิ่มขึ้นเป็นแบบหลายชั้น รูปของชนิดไอโซเทอมแสดงที่รูป 2.9

ไอโซเทอมชนิดที่ 1 เป็นการดูดซับของแข็งที่มีลักษณะรูพรุนขนาดเล็ก และการดูดซับส่วนใหญ่เป็นการดูดซับในรูพรุนขนาดเล็ก พื้นที่ผิวภายนอก (External surface area) จะต่ำ ที่ความดันย่อยต่ำ ( $< 0.1 p/p_0$ ) ก็จะสามารถดูดซับได้มากแล้ว ซึ่งการดูดซับเสร็จสมบูรณ์ที่ความดันย่อยประมาณ  $0.5 p/p_0$  ด้วยการดูดซับของไอโซเทอมแบบที่ 1 คือ การดูดซับของไนโตรเจนบนถ่านที่มีรูพรุนขนาดเล็กที่อุณหภูมิ 77 K การดูดซับของเอมโมเนียมนิวเคลียร์ที่อุณหภูมิ 273 K และการดูดซับบนซีโอลีต



รูปที่ 2.9 ไอโซเทอมของการดูดซับหั้ง 5 ชนิด (ธรรมพงษ์ วิทิตศานต์, 2553)

ไอโซเทอมชนิดที่ 2 บางครั้งอาจจะเรียกว่า ไอโซเทอมที่มีรูปแบบ ซิกมอยด์ หรือแบบเอส (Sigmoid or S-shaped) เป็นรูปแบบไอโซเทอมการดูดซับที่ไม่มีรูพรุนหรือตัวดูดซับที่มีรูพรุนขนาดใหญ่ ซึ่งอาจเกิดจากการดูดซับได้หลายชั้น (Multilayer) จากไอโซเทอมตรงบริเวณจุด B จะแสดงถึง การดูดซับแบบชั้นเดียว (Monolayer) นั้นเสร็จสมบูรณ์ จากนั้นที่ความดันสูงขึ้นจึงเกิดการดูดซับที่ต่อเนื่องจากชั้นแรกต่อไป และจะเกิดการดูดซับเสร็จสมบูรณ์ที่ความดันย่อยสูงๆ

ไอโซเทอมชนิดที่ 3 เป็นรูปแบบของการดูดซับที่มีแรงดึงดูดที่อ่อนระหว่างตัวดูดซับและตัวถูกดูดซับ แต่แรงดึงดูดระหว่างตัวถูกดูดซับด้วยกันมีค่อนข้างมาก จากกรณีนี้ทำให้เกิดการรวมตัวกันของตัวถูกดูดซับก่อนที่การดูดซับชั้นแรกจะเสร็จสมบูรณ์

ไอโซเทอมชนิดที่ 4 พบรในสารที่มีขนาดของรูพรุนประมาณ 15 – 1,000 อังสตรอม ความชันของกราฟเพิ่มขึ้นอีกรังเมื่อความดันเพิ่มขึ้น แสดงให้เห็นว่ากราฟเริ่มเข้าเติมในรูพรุน และการเปลี่ยนระดับของกราฟเมื่อความดันเพิ่มขึ้นอีก เป็นผลมาจากการควบแน่นภายในรูพรุนของของแข็ง (Capillary condensation in pores) ทำให้เกิด Loop ขึ้นบนกราฟ โดยลักษณะกราฟในช่วงแรกจะเหมือนกับไอโซเทอมแบบที่ 2 ซึ่งจุดเปลี่ยนโคลงหรือจุด B แสดงถึงการดูดซับชั้นแรกอย่างสมบูรณ์

ไอโซเทอมชนิดที่ 5 จะพบในสารที่มีแรงดึงดูดระหว่างโมเลกุลของก้าซกับผิวของแข็งน้อย โดยมีลักษณะคล้ายไอโซเทอมแบบที่ 3 แต่ไอโซเทอมแบบที่ 5 สามารถเกิดการควบแน่นในรูพรุนได้และเกิดรูพรุนที่มีขนาดใหญ่ ซึ่งไอโซเทอมแบบที่ 5 นี้คำนวนหาพื้นที่ผิวได้ยากเนื่องจากชั้นการดูดซับชั้นที่ 2 จะถูกสร้างขึ้นก่อนที่ชั้นแรกเสร็จสมบูรณ์

การคำนวณพื้นที่ผิวโดยสมการแลงเมียร์ (Langmuir equation)

สมการแลงเมียร์มีสมมติฐานคือ เป็นการดูดซับแบบชั้นเดียวเท่านั้น และเป็นการดูดซับที่ไม่เกิดปฏิกิริยาระหว่างตัวดูดซับและตัวถูกดูดซับ โดยแต่ละตำแหน่งของผิวการดูดซับมีลักษณะเหมือนกัน หมด ซึ่งเราสามารถหาพื้นที่ผิวได้จากสมการของแลงเมียร์โดยมีรูปแบบจากไฮโซเทอมชนิดที่ 1 สมการรูปแบบคือ

$$\frac{P}{V} = \frac{V}{V_m} + \frac{1}{BV_m} \quad (2.11)$$

$V$  = ปริมาตรการดูดซับของแก๊สที่ถูกดูดซับ ( $\text{mmol g}^{-1}$ ) ต่อหน่วยมวลของตัวดูดซับที่ความดันย่อย ( $p/p_0$ ) ต่างๆ

$V_m$  = ปริมาตรการดูดซับแบบชั้นเดียว (monolayer capacity,  $\text{mmol g}^{-1}$ )

$B$  = ค่าคงที่

$P$  = ความดัน

ค่าพื้นที่ผิวจะได้จากการคำนวณพื้นที่ของสมการ

$$S = V_m L \sigma \quad (2.12)$$

$S$  = พื้นที่ผิว ( $\text{m}^2/\text{g}$ )

$L$  = เลขอโว加โดโร (Avogadro's number,  $6.02 \times 10^{23}$ )

$\sigma$  = พื้นที่จำเจของโมเลกุลตัวถูกดูดซับ ( $\text{m}^2 \text{ molecule}^{-1}$ )

สมการดังกล่าวมีประโยชน์มากที่ได้จากไฮโซเทอม อย่างไรก็ตามสมการแลงเมียร์ซึ่งมีสมมติฐานดังกล่าวอาจไม่เหมาะสมสมกับตัวดูดซับบางชนิด

การคำนวณพื้นที่ผิวโดยวิธีบีอีที (BET)

เนื่องจากแรงในการเกิดการดูดซับทางกายภาพ จะคล้ายกับแรงในการเกิดการควบแน่น (liquefaction) คือเป็นแรงวนเดอร์วัลล์ (Van der waals force) ดังนั้นการดูดซับทางกายภาพ(ห้องบนผิวแบบและน้ำผึ้ง) จึงไม่จำกัดเฉพาะการดูดซับแบบชั้นเดียว (Monomolecular layer) แต่สามารถเกิดต่อไปจนเป็นการดูดซับแบบหลายชั้น (multimolecular layer) ของของเหลวปกคลุมพื้นผิวได้

ทฤษฎีของบีอีที (Braunauer Emmett and Teller, BET) เป็นการเพิ่มเติมจากทฤษฎีของแลงเมียร์ คือสามารถเกิดการดูดซับแบบหลายชั้น บนพื้นผิวที่ไม่มีรูพรุน ได้โดยสมการบีอีที จะมีสมมติฐานว่า ชั้นการดูดซับชั้นบนสุดจะอยู่ในสภาพสมดุลกับไฮของแก๊ส นั่นคืออัตราการระเหยของชั้นโมเลกุล ต่างๆเท่ากับอัตราการควบแน่น และมีสมมุติฐานอย่างงานว่าสำหรับการดูดซับชั้นแรก (First monolayer) จะใช้พลังงานการดูดซับ (heat of adsorption,  $\Delta H_a$ ) ส่วนชั้นการดูดซับชั้นที่สองขึ้นไป จะใช้พลังงานการควบแน่น (Heat of liquefaction,  $\Delta H_L$ ) ซึ่งสมการโดยทั่วไปของบีอีที (BET) คือสมการ

$$\frac{P}{V(P_0 - P)} = \frac{1}{V_m C} + \frac{(C-1)P}{V_m C P_0} \quad (2.13)$$

$P_0$  = ความดันไออิมตัว

$V_m$  = ปริมาตรการคุณดูดซับแบบชั้นเดียว (Monolayer capacity)

$C$  = ค่าคงที่ ( $C \approx \exp [(\Delta H_L - \Delta H_i)/(RT)]$ )

เมื่อเขียนกราฟค่า  $\{P/[V(P_0-P)]\}$  กับ  $P/P_0$  จะได้เส้นตรงความชัน  $[(C-1)/V_m C]$  และตัดแกน  $\{P/[V(P_0-P)]\}$  ที่จุด  $1/(V_m C)$  ซึ่งจะหา  $V_m$  ได้

จุดประสงค์หลักของสมการบีอีที คือ เพื่ออธิบายไอโซเทอมชนิดที่ 2 นอกจากนี้ยังลดรูปลงเป็นสมการแรงเมียร์ได้ที่ความดันต่ำๆ และสามารถอธิบายไอโซเทอมชนิดที่ 3 ได้ในกรณีที่การคุณดูดซับชั้นแรก (monolayer adsorption) คาดความร้อนน้อยกว่าการควบแน่น (liquefaction  $C < 1$ ) นั่นคือ สามารถใช้คำนวนหาพื้นที่ผิวจากข้อมูลไอโซเทอมได้แม้ว่าการคุณดูดซับชั้นแรกเกิดได้ไม่สมบูรณ์ และยังสามารถใช้กับสารที่มีรูพรุนได้ ถ้าได้การคุณดูดซับเกิดขึ้น  $n$  ชั้น ( $n$  สัมพันธ์กับขนาดของรูพรุน) ได้ดังสมการ

$$V = \frac{V_m C X - (n+1)X^n + nX^{n+1}}{(1-X) + (C-1)X - CX^{n+1}} \quad \text{เมื่อ } X = P/P_0 \quad (2.14)$$

สมการนี้เป็นรูปแบบทั่วไป ซึ่งจะลดรูปเป็นสมการแรงเมียร์ (Langmuir) เมื่อ  $n = 1$  และเป็นสมการบีอีทีเมื่อ  $n = \infty$

วิธีบีอีที (BET) เป็นวิธีที่นิยมใช้กันมากที่สุดในการคำนวนพื้นที่ผิว โดยใช้หลักการคำนวนเหมือนกับวิธีแรงเมียร์ แต่การคำนวนค่า  $V_m$  จะต่างกันโดยกราฟวิธีของบีอีทีจะเป็นการเขียนกราฟระหว่าง  $\{P/V[P_0-P]\}$  กับ  $P/P_0$  ซึ่งได้เส้นตรงในช่วงความดันสัมพัทธ์  $P/P_0$  ระหว่าง 0.05 ถึง 0.35 โดยที่

ความชัน คือ  $[(C-1)/V_m C]$

จุดตัด คือ  $[1/V_m C]$

จากสมการของจุดตัดและความชันจะได้  $V_m = 1/(จุดตัด + ความชัน)$  และจากค่า  $V_m$  สามารถคำนวนหาพื้นที่ผิวของสารตัวอย่างได้เช่นเดียวกับวิธีแรงเมียร์

ในความเป็นจริงการคุณดูดซับทางกายภาพจะไม่มีการคุณดูดซับในชั้นแรกเต็มพื้นที่ผิวอย่างสมบูรณ์ เนื่องจากแรงดึงดูดระหว่างโมเลกุลของแก๊สกับผิวของแข็งไม่เท่ากับการคุณดูดซับทางเคมี แต่สมการบีอีทีสามารถคำนวนค่าจำนวนโมเลกุลที่ใช้ในการปกคลุมพื้นที่ผิวของแข็งให้เต็ม 1 ชั้นได้แม้ว่าการคุณดูดซับชั้นแรกอย่างเต็มพื้นผิวจะเกิดเฉพาะในการคุณดูดซับทางเคมีเท่านั้น

แม้ว่าสมการบีอีทีจะใช้อายุย่างกว้างขวางเนื่องจากความง่ายของรูปแบบสมมุติฐาน และยังสอดคล้องกับผลการทดลองที่เป็นการคุณดูดซับแบบหลายชั้น โดยเฉพาะที่ความดันสัมพัทธ์ระหว่าง 0.05 ถึง 0.35 ซึ่งเป็นช่วงที่คิด  $V_m$  ได้อย่างไรก็ตามสำหรับสารที่มีรูพรุนซึ่งมักจะเกิดปรากฏการณ์ช่องว่าง (Hysteresis) จากความแన่นในรูพรุน (Pore condensation) หรือเมื่อจุด B บนกราฟไอโซเทอมไม่เด่นชัด ค่าของ  $V_m$  ที่คำนวนจากสมการบีอีทีก็จะมีความน่าเชื่อถือน้อยลง

## 2.8 งานวิจัยที่เกี่ยวข้อง

เอกสารดังต่อไปนี้เป็นตัวอย่างของการวิจัยที่มีผลลัพธ์ที่น่าสนใจในเรื่องน้ำที่มีค่า pH ต่ำ ได้แก่

เอกสาร 1: รายงานการวิจัยของ ศ.ดร. สมชาย ใจดี และคณะ (2551) ที่ศึกษาเรื่องความสามารถกักเก็บคลอรีดและการแพร่ของคลอรีดในชีเมนต์เพสต์ที่ผสมผุนพินปูน ใช้อัตราส่วนน้ำต่อปูนชีเมนต์ 0.40 และ 0.50 และอัตราการผสมผุนพินปูนที่ 0.05, 0.15, 0.25 พบว่าค่าความสามารถกักเก็บคลอรีดมีแนวโน้มลดลงเมื่ออัตราการแทนที่วัสดุประสานด้วยผุนพินปูนเพิ่มขึ้น แต่ความสามารถกักเก็บคลอรีดที่อัตราส่วนน้ำ 0.40 มีค่าลดลง และที่อัตราส่วน 0.50 ค่าความสามารถกักเก็บคลอรีดมีค่าเพิ่มขึ้น ส่วนค่าการแพร่ของคลอรีดพบว่ามีแนวโน้มเพิ่มมากขึ้น เมื่ออัตราส่วนน้ำหรืออัตราการแทนที่วัสดุประสานด้วยผุนพินปูนเพิ่มขึ้น สำหรับกำลังรับแรงอัดที่ 91 วันจะมีค่าลดลงเมื่ออัตราส่วนน้ำต่อวัสดุประสานหรืออัตราส่วนการแทนที่วัสดุประสานด้วยผุนพินปูนเพิ่มขึ้น

รายงานการวิจัยของ ดร. สินธิร์ และคณะ (2547) ได้ทำการศึกษาผลกระทบของความละเอียดเด็กถ่านหินต่อกำลังอัด ปริมาตรของน้ำ และขนาดของน้ำในเพสต์ที่แข็งตัวแล้ว โดยนำเด็กถ่านหินจากโรงไฟฟ้าแม่مهะที่ไม่ได้แยกขนาดมีอนุภาคที่  $d_{50}$  เท่ากับ 19.1 ไมครอน และเด็กถ่านหินที่ผ่านการแยกขนาดมีอนุภาค  $d_{50}$  เท่ากับ 6.41 ไมครอน แทนที่ปูนชีเมนต์ปอร์ตแลนด์ประเภทที่ 1 ในอัตราส่วนร้อยละ 0, 20 และ 40 โดยน้ำหนักของวัสดุประสาน ควบคุมอัตราส่วนน้ำต่อวัสดุประสานให้มีค่าเท่ากับ 0.35 จากผลการทดลองพบว่า เพสต์ที่ผสมเด็กถ่านหินแยกขนาดให้กำลังอัดสูงกว่าเพสต์ผสมเด็กถ่านกินที่ไม่ได้แยกขนาด การแทนที่และความละเอียดของเด็กถ่านหิน มีผลกระทบที่สำคัญต่อปริมาตรของน้ำทั้งหมดและขนาดของน้ำคือปริมาตรของเพสต์ โดยการแทนที่ปูนชีเมนต์ปอร์ตแลนด์ประเภทที่ 1 ด้วยเด็กถ่านหินที่ไม่ได้แยกขนาด ในอัตราการแทนที่ที่เพิ่มขึ้น ส่งผลให้ปริมาตรของน้ำทั้งหมดและขนาดของน้ำคือปริมาตรลดลง ขณะที่การแทนที่เด็กถ่านหินที่คัดแยกในเพสต์ ทำให้ปริมาตรของน้ำทั้งหมดและขนาดของน้ำคือปริมาตรลดลง เมื่อเทียบกับเพสต์ที่ผสมเด็กถ่านกินที่หยาบกว่า นอกจากนี้ยังพบว่าปริมาตรของน้ำทั้งหมดและขนาดของน้ำคือปริมาตรลดลง เมื่อแทนที่เด็กถ่านกินที่ละเอียดลงในเพสต์ทุกระดับของการแทนที่

รายงานการวิจัยของ ดร. ภราดร์ และคณะ (2551) ได้ทำการศึกษาผลกระทบของสารปอชโซล่าต่อโครงสร้างของชีเมนต์เพสต์ โดยสารปอชโซล่าที่ศึกษาคือเด็กถ่านหิน ทำการหล่อตัวอย่างชีเมนต์เพสต์ที่อัตราส่วนผสมต่างๆ กัน ทั้งอัตราส่วนน้ำต่อวัสดุประสาน อัตราส่วนการแทนที่วัสดุประสานด้วยเด็กถ่านหิน และประเภทของปูนชีเมนต์ปอร์ตแลนด์ จากนั้นน้ำซึ่งส่วนจากตัวอย่างมาทดสอบหาโครงสร้างของช่องว่างภายในชีเมนต์เพสต์ด้วยวิธี Mercury Intrusion Porosimetry (MIP) เพื่อหาขนาดของเส้นผ่าแนวน้ำคุณย์กลางเฉลี่ยของโครงสร้างช่องว่างและความพรุนทั้งหมดของชีเมนต์เพสต์ จากการศึกษาพบว่า ทั้งขนาดเส้นผ่านแนวน้ำคุณย์กลางเฉลี่ยของโครงสร้างช่องว่างและความพรุนทั้งหมดของชีเมนต์เพสต์มีค่าเปลี่ยนแปลงตามเวลา โดยเมื่ออายุชีเมนต์เพสต์มากขึ้น ขนาดเส้นผ่านแนวน้ำคุณย์กลางเฉลี่ยของโครงสร้างช่องว่างและความพรุนทั้งหมดของชีเมนต์เพสต์ลดลง เมื่อใช้ปูนชีเมนต์ปอร์ตแลนด์ประเภทที่ 3 ในชีเมนต์เพสต์จะทำให้ห้องขนาดเส้นผ่านแนวน้ำคุณย์กลางเฉลี่ยของโครงสร้างช่องว่างและความพรุนทั้งหมดของชีเมนต์เพสต์มีค่าน้อยกว่า เมื่อใช้ปูนชีเมนต์ปอร์ตแลนด์ประเภทที่ 1 และ 5 และเมื่อใช้เด็กถ่านหินแทนที่บางส่วนในวัสดุประสานในอัตราส่วนที่เหมาะสมแล้ว ทำให้ขนาดเส้นผ่านแนวน้ำคุณย์กลางเฉลี่ยของโครงสร้างช่องว่างของชีเมนต์เพสต์ลดลง แต่ความพรุนทั้งหมดสูงขึ้นกว่าชีเมนต์เพสต์ล้วนเห็นถึงผลของความสามารถในการรับแรงอัดที่เพิ่มสูงขึ้นกว่าการใช้วัสดุแทนที่ปูนชีเมนต์เพียงชนิดเดียว

# สำนักหอสมุด มหาวิทยาลัยบูรพา

ต.แสนสุข อ.เมือง จ.ชลบุรี 20131

Cheewaket et al. (2009) ได้ทำการศึกษาเรื่องความสามารถในการกักเก็บคลื่อไร้ดีในชีเมนต์เพล็ทที่ผสมเก้าลอยในสภาพทะเล โดยจะศึกษาจากผลของการแทนที่อัตราส่วนน้ำต่อวัสดุประสานระยะเวลาในการเพชิญสภาพแวดล้อมและอัตราส่วนน้ำต่อวัสดุประสานด้วยเก้าลอย โดยใช้อัตราส่วนการแทนที่ปูนชีเมนต์ด้วยเก้าลอยตั้งแต่ร้อยละ 0, 15, 25, 35 และ 50 โดยนำค่าคงรากทรงลูกบาศก์ไปวัดไว้ที่ชายฝั่งทะเลบริเวณมีน้ำเข้าออกน้ำลงในอ่าวไทย เป็นเวลา 3, 4, 5 และ 7 ปี และจากผลการศึกษาพบว่าเปอร์เซ็นต์การกักเก็บคลื่อไร้ดีจะเพิ่มขึ้นเมื่อปริมาณเก้าลอยในคอนกรีตมีปริมาณมากขึ้น ขณะเดียวกันเมื่อคอนกรีตสมผัสกับสภาพทะเล เปอร์เซ็นต์การกักเก็บคลื่อไร้ดีจะลดลงในช่วง 3-4 ปี หลังจากนั้นจะเปลี่ยนแปลงน้อยมากจนเกือบจะคงที่ และจากการวิจัยนี้แสดงให้เห็นว่าอัตราส่วนน้ำต่อวัสดุประสานเป็นผลกระทบที่ไม่สำคัญต่อการกักเก็บคลื่อไร้ดี

พีรชล สุภัทธรรມ และคณะ (2542) ได้ทำการศึกษาความสามารถในการเก็บกักคลื่อไร้ดีของชีเมนต์เพสต์ผสมเก้าลอย ในการเตรียมด้วยย่าง ปูนชีเมนต์จะถูกแทนที่ด้วยเก้าลอยด้วยชนิดกัน ซึ่งมีส่วนประกอบทางเคมีแตกต่างกัน ด้วยที่ใช้ในการทดสอบ คือ ชนิดของเก้าลอย ร้อยละของเก้าลอยที่ใช้แทนที่ปูนชีเมนต์ (ร้อยละ 0, 30, 50) และร้อยละของโซเดียมคลื่อไร้ดีที่ผสมน้ำ (ร้อยละ 2, 4, 6) ด้วยย่างชีเมนต์เพสต์ชีปูนชีเมนต์ปอร์ตแลนด์ชนิดที่ 1 และอัตราส่วนระหว่างน้ำต่อวัสดุผง (ปูนชีเมนต์ + เก้าลอย) เท่ากับ 0.4 ปริมาณคลื่อไร้ดีในชีเมนต์เพสต์จะถูกวัดแล้วนำมาคำนวณหาปริมาณคลื่อไร้ดีทั้งหมดที่ถูกเก็บกัก โดยหากปริมาณคลื่อไร้ดีทั้งหมดที่อยู่ในน้ำผสมหักออกจากคลื่อไร้ดีที่ได้จากการทดสอบและสามารถนำมาคำนวณหาความสามารถในการเก็บกักคลื่อไร้ดีของวัสดุผงโดยอัตราส่วนต่อหนึ่งกันของวัสดุผง หลังจากนั้นนำผลมาเปรียบเทียบระหว่างส่วนผสมที่ใส่เก้าลอยกับส่วนผสมที่ไม่ใส่เก้าลอย จากผลการทดสอบพบว่าความสามารถในการเก็บกักคลื่อไร้ดีของชีเมนต์เพสต์ที่ผสมเก้าลอยดีกว่าชีเมนต์เพสต์ธรรมดา

สายันห์ และคณะ (2541) ทำการศึกษาความทนทานด้านต่าง ๆ ของชีเมนต์เพสต์ มอร์ตาร์ และคอนกรีตผสมผุนหินจากแหล่งต่าง ๆ กัน 3 แหล่ง เทียบกับด้วยย่างควบคุม เพื่อหาปริมาณการแทนที่ที่เหมาะสมของผุนหินลงในปูนชีเมนต์ พฤติกรรมความทนทานที่ ทำการศึกษาได้แก่ การทดสอบด้วยแบบออดิจีนส์และความสามารถในการกักเก็บคลื่อไร้ดี ทำการศึกษาโดยใช้ชีเมนต์เพสต์ ส่วนการทดสอบด้วยแบบแห้ง และการเกิดปฏิกิริยาคาร์บอนเนชัน ทำการศึกษาโดยใช้มอร์ตาร์ และความร้อนของปฏิกิริยาไอเดรชัน ทำการศึกษาโดยใช้ด้วยย่างคอนกรีต โดยปริมาณการแทนที่ของผุนหินในปูนชีเมนต์และชนิดของผุนหินเป็นตัวแปรหลัก ในส่วนของผลการทดสอบการทดสอบด้วยแบบออดิจีนส์ พบว่าค่าการทดสอบด้วยแบบออดิจีนส์ของชีเมนต์เพสต์ผสมผุนหินชนิดที่ 3 มีค่าสูงกว่าชีเมนต์เพสต์ควบคุม ส่วนของชีเมนต์เพสต์ผสมผุนหินชนิดที่ 1 และ 2 มีค่าใกล้เคียงกับด้วยย่างควบคุม ค่าการทดสอบด้วยแบบแห้งของ มอร์ตาร์ผสมผุนหินชนิดที่ 1,2,3 และมอร์ตาร์ควบคุมมีค่าใกล้เคียงกัน ค่าความลึกของ คาร์บอนเนชันของมอร์ตาร์ผสมผุนหินชนิดที่ 1 และ 3 มีแนวโน้มที่ต่ำกว่ามอร์ตาร์ควบคุม ส่วนของมอร์ตาร์ผสมผุนหินชนิดที่ 2 มีแนวโน้มที่สูงกว่ามอร์ตาร์ควบคุม ความสามารถในการ กักเก็บคลื่อไร้ดีของผุนหินแปรผันโดยตรงกับพื้นที่ผิวจำเพาะของผุนหิน กล่าวคือ ผุนหิน ชนิดที่ 1 ซึ่งมีพื้นที่ผิวจำเพาะมากที่สุด มีความสามารถการกักเก็บคลื่อไร้ดีมากกว่าผุนหินชนิดที่ 3 และ 2 ซึ่งมีพื้นที่ผิวจำเพาะน้อยกว่าตามลำดับ ส่วนด้านความร้อนของ

357163

624-1893

ก.๑๗๓๑

๒๕๕๘

๙-๔

ปฏิภิริยา ไขเดรชั่นสูงกว่าคอนกรีตควบคุมเล็กน้อย และคอนกรีตควบคุมสูงกว่าคอนกรีตซึ่งผสมผุนพิเศษนิดที่ 1 และ 2 ตามลำดับ

บีดี และคณะ (2543) ศึกษาเรื่องการใช้ประโยชน์จากผงหินปูนร่วมกับวัสดุปูอชโซลาม ตัวอย่างทดสอบใช้การแทนที่ปูนซีเมนต์ด้วยผุนพิเศษนิดที่ 20 จันถึง 60 โดยน้ำหนักของวัสดุคงทั้งหมด และใช้อัตราส่วนน้ำต่อวัสดุคงที่ 0.485 พบร้า ความสามารถในการรับแรงอัดของซีเมนต์เพสต์ จะมีค่าสูงสุดเมื่อใช้ร้อยละการแทนที่ปูนซีเมนต์ด้วยถ่านโลຍร่วมกับผงหินปูนที่ร้อยละ 20 ในขณะเดียวกันที่ร้อยละการแทนที่ 40 และ 60 การใช้ถ่านโลຍร่วมกับผงหินปูนที่ได้จากการรับแรงอัดที่เพิ่งสูงขึ้นกว่าการใช้วัสดุแทนที่ปูนซีเมนต์เพียงชนิดเดียว

สมพงษ์ ธีรา农พ และคณะ (2549) ศึกษาปริมาณและความต่อเนื่องของโพรงภายในเนื้อคอนกรีต เป็นปัจจัยที่มีความสำคัญอย่างยิ่งต่อคุณสมบัติต้านความคงทนของคอนกรีต โดยเฉพาะโครงการสร้างคอนกรีตเสริมเหล็ก ซึ่งมีหั้งที่สัมผัสกับน้ำทะเล ปัจจุบันการทดสอบการซึมผ่านของคลอร์อิต์ ด้วยวิธีทดสอบซึ่งอ้างอิงมาตรฐาน ASTM C1202 นั้น เป็นการวัดสภาพการนำไปฟื้นฟื้นของก้อนตัวอย่างคอนกรีต มากกว่าจะเป็นการวัดความสามารถในการต้านทานการซึมผ่านของคลอร์อิต์ งานวิจัยนี้จึงมุ่งเน้นที่จะประยุกต์วิธีการทดสอบ ซึ่งอ้างอิงตามมาตรฐาน ASTM C1202 เพื่อใช้ในการหาค่าปริมาณและความต่อเนื่องของโพรงคอนกรีต โดยการวัดความเข้มข้นของคลอร์อิต์ ซึ่งจากนี้ไปภายในงานวิจัยนี้จะเรียกวิธีทดสอบดังกล่าวว่า วิธีประยุกต์ งานวิจัยนี้นำเสนอความเป็นไปได้ในการตรวจสอบหาปริมาณและความต่อเนื่องของโพรงคอนกรีต โดยวิธีประยุกต์ ซึ่งจะพิจารณาความเข้มข้นของคลอร์อิต์ที่มีการเปลี่ยนแปลงภายใต้ผลกระทบต่างๆ เช่น อุณหภูมิ เวลา ความชื้น ฯลฯ ที่มีผลต่อการซึมผ่านของก้อนตัวอย่าง ให้เคลื่อนที่ผ่านก้อนตัวอย่างด้วยแรงทางไฟฟ้า ความเข้มข้นของคลอร์อิตจะถูกบันทึก เวลาต่างๆ กัน เพื่อใช้ในการวิเคราะห์ตามสมมติฐานเบื้องต้นที่ใช้ในการศึกษา โดยได้เลือกทดสอบกับคอนกรีตปกติและคอนกรีตที่ใช้วัสดุปูอชโซลามชนิดอื่น ร่วมกับปูนซีเมนต์ด้วย อันได้แก่ เถ้าแกลบและถ่านโลຍ อัตราส่วนน้ำต่อวัสดุประสานที่ใช้คือ 0.40 0.50 และ 0.60 ตามลำดับ การทดสอบซึ่งอ้างอิงตามมาตรฐาน ASTM C1202 หรือ RCPT ถูกนำมาประยุกต์ใช้เพื่อหาระยะเวลาที่ก้อนตัวอย่างทดสอบจะเริ่มเข้าสู่ภาวะคงที่ (Ts) โดยอาศัยการวัดและเก็บค่ากระแสไฟฟ้าที่ผ่านก้อนตัวอย่าง ตั้งแต่เริ่มการทดสอบจนกระทั่งกระแสไฟฟ้าเริ่มคงที่ จากผลการทดลองวิธีประยุกต์พบว่า มีความสอดคล้องกับสมมติฐานเบื้องต้นที่ใช้ในการศึกษา และมีแนวโน้มสอดคล้องเมื่อนำผลการทดสอบมาเปรียบเทียบกับการทดสอบอื่นๆ อันได้แก่ การทดสอบเอ็มไอพี กำลังรับแรงอัดประลัย และการทดสอบมาตรฐาน ASTM C1202 ตามลำดับ จากผลการทดสอบพบว่า คอนกรีตซึ่งใช้วัสดุประสานที่เป็นถ่านโลຍและถ่านแกลบร่วมกับปูนซีเมนต์ มีความสามารถในการต้านทานการซึมผ่านคลอร์อิต สูงกว่าวัสดุประสานที่ใช้ปูนซีเมนต์ล้วน หรือใช้ปูอชโซลามเพียงชนิดเดียวคือถ่านแกลบ หรือถ่านโลຍร่วมกับปูนซีเมนต์ ซึ่งยืนยันจากปริมาณโพรงแคพพิลารีที่ลดลงโดยวิธีเอ็มไอพี ซึ่งส่งผลโดยตรงทำให้โพรงคอนกรีตเกิดความไม่ต่อเนื่องและมีปริมาตรลดลง

## บทที่ 3

### วัสดุอุปกรณ์ที่ใช้ในการทดลองและวิธีการทดลอง

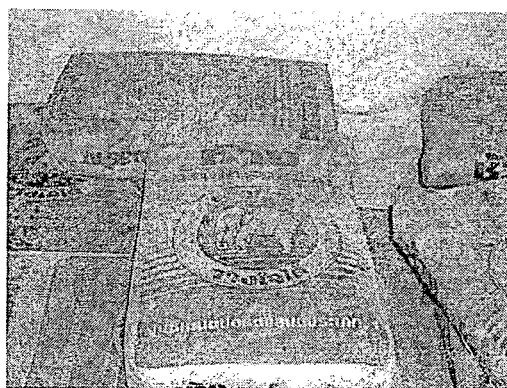
#### ขอบเขตของโครงการ

เพื่อศึกษาความสามารถในการเก็บกักคลอไรด์ โครงสร้างโครงข่ายเดลิก (Microstructure) และกำลังรับแรงอัดของซีเมนต์ และซีเมนต์ผสมเดลอลอยเรยอง ที่ปั้นจัยต่างๆ กัน เช่น อัตราส่วนน้ำต่อวัสดุประสาน ปริมาณการแทนที่ปูนซีเมนต์ เป็นต้น เพื่อนำผลการทดสอบที่ได้มาหาอัตราส่วนที่เหมาะสม

#### 3.1 วัสดุที่ใช้ในการทดลอง

3.1.1 ปูนซีเมนต์ (Cement) ใช้ปูนซีเมนต์ปอร์ตแลนด์ประเภทที่ 1 ซึ่งมีคุณสมบัติตามมาตรฐานกระทรวงอุตสาหกรรม มอก.15-2532

ปูนซีเมนต์ปอร์ตแลนด์ประเภทที่ 1 ปูนซีเมนต์ปอร์ตแลนด์ธรรมด้า (Ordinary Portland Cement) เป็นปูนซีเมนต์ปอร์ตแลนด์ประเภทที่นิยมใช้มากที่สุดในประเทศไทย สำหรับใช้ในการทำคอนกรีตหรือผลิตภัณฑ์อุตสาหกรรมอื่นๆ ที่ไม่ต้องการคุณภาพพิเศษ ไม่อยู่ในสภาพแวดล้อมที่รุนแรง หรือในที่มีอันตรายจากชัลเปต ยกเว้นอย่างเช่น อาคารคอนกรีตเสริมเหล็ก ถนนคอนกรีต สะพานคอนกรีต เป็นต้น และนอกจากนี้ยังเหมาะสมสำหรับโครงสร้างคอนกรีตที่ต้องการความแข็งแรงสูง เช่น สะพานขนาดใหญ่ สนามกีฬา และอาคารสูง เป็นต้น



รูปที่ 3.1 ปูนซีเมนต์ปอร์ตแลนด์ประเภท 1

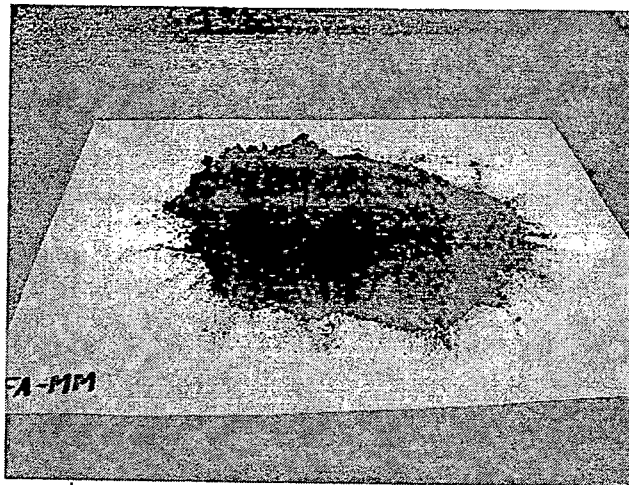
ตารางที่ 3.1 องค์ประกอบทางเคมีของปูนซีเมนต์ปอร์ตแลนด์ประเภทที่ 1

องค์ประกอบทางเคมี (% by weight)	Cement Type I
Silicon Dioxide , $\text{SiO}_2$	20.2
Aluminum Oxide, $\text{Al}_2\text{O}_3$	5.9
Iron Oxide, $\text{Fe}_2\text{O}_3$	3.2
Calcium Oxide, CaO	64.1
Magnesium Oxide ,MgO	1.0
Sodium Oxide , $\text{Na}_2\text{O}$	0.1
Potassium Oxide , $\text{K}_2\text{O}$	0.4
Sulfur Trioxide , $\text{SO}_3$	2.6
Loss on Ignition ,LOI	1.2
Tricalcium Silicate , $\text{C}_3\text{S}$	49
Dicalcium Silicate, $\text{C}_2\text{S}$	25
Tricalcium Aluminate, $\text{C}_3\text{A}$	12
Tetracalcium Aluminoferrite, $\text{C}_4\text{AF}$	8

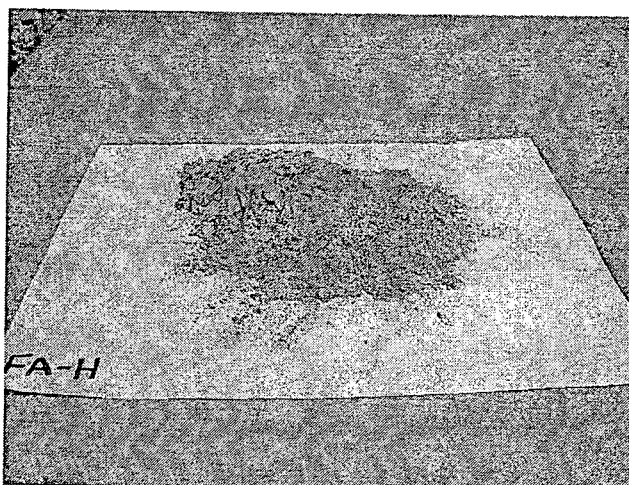
### 3.1.2 วัสดุปอซโซลาน (Pozzolan)

วัสดุปอซโซลานเป็นวัสดุที่มีซิลิกา หรือซิลิกาออลูมิเนียมเป็นองค์ประกอบหลัก โดยทั่วไปแล้ววัสดุปอซโซลานจะไม่มีคุณสมบัติในการยึดประสานเล็กน้อยหรือไม่มีเลย แต่เมื่อบดจนเป็นผงละเอียด และมีน้ำหรือความชื้นที่เพียงพอ ก็สามารถทำปฏิกิริยากับแคลเซียมไฮดรอกไซด์ที่อุณหภูมิปักติ ก่อให้เกิดสารเชื่อมประสานใหม่ชื่มว่า ปฏิกิริยาปอซโซลานิก (Pozzolanic reaction) ซึ่งในการทดสอบในครั้งนี้ได้ใช้วัสดุปอซโซลาน 3 ชนิด คือ เถ้าโลยแม่เม้าะ รูปที่ 3.2 เถ้าโลยระยะของBLCP-Hunter รูปที่ 3.3 และถ้าโลยระยะของBLCP-Hunter Malavan รูปที่ 3.4

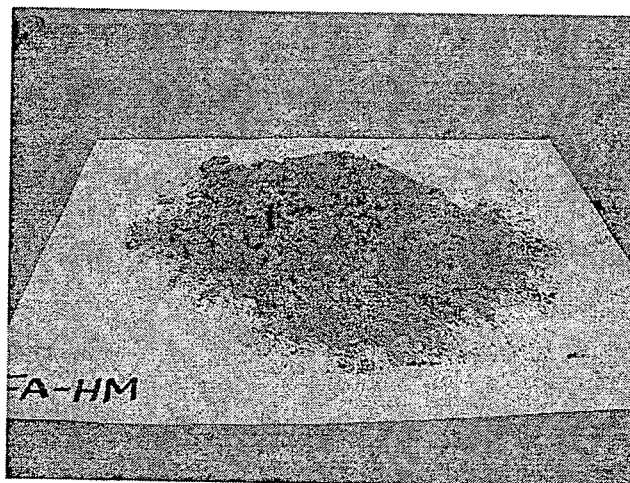
เถ้าโลย (Fly ash) เป็นวัสดุผสมเพิ่มเป็นผลผลิตได้ที่เกิดจากการเผาถ่านหินในโรงงานผลิตกระแสไฟฟ้า ในแต่ละปีจะมีปริมาณเถ้าโลยเกิดขึ้นประมาณ 3 ล้านตันต่อปี และเป็นวัสดุปอซโซลานที่นิยมใช้กันอย่างแพร่หลาย การใช้เถ้าโลยส่วนผสมจะทำให้คุณสมบัติของคอนกรีตเพิ่มขึ้นโดยเฉพาะอย่างยิ่งด้านความคงทนในการต้านทานการแทรกซึมของกรดไฮโดรเจน และข้อเสียของการใช้เถ้าโลยเป็นวัสดุปอซโซลาน คือ ในอายุแรกๆ จะให้กำลังที่ต่ำ



รูปที่ 3.2 เถ้าโลยแม่เมฆ (Mae Moh fly ash, FAMM)



รูปที่ 3.3 เถ้าโลยระยอง BLCP-Hunter (BLCP Hunter fly ash, FAH)



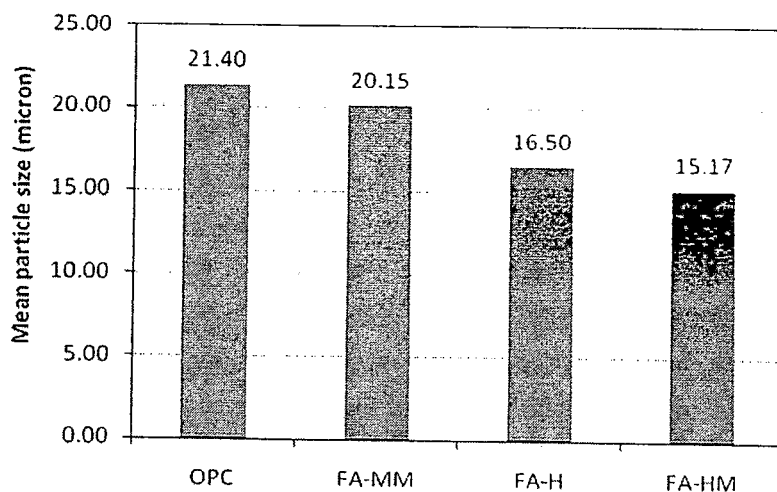
รูปที่ 3.4 เถ้าโลยระยอง BLCP-Hunter Malavan (BLCP Hunter Malavan fly ash, FAHM)

ตารางที่ 3.2 องค์ประกอบทางเคมีของถ่านหิน (Fly ash)

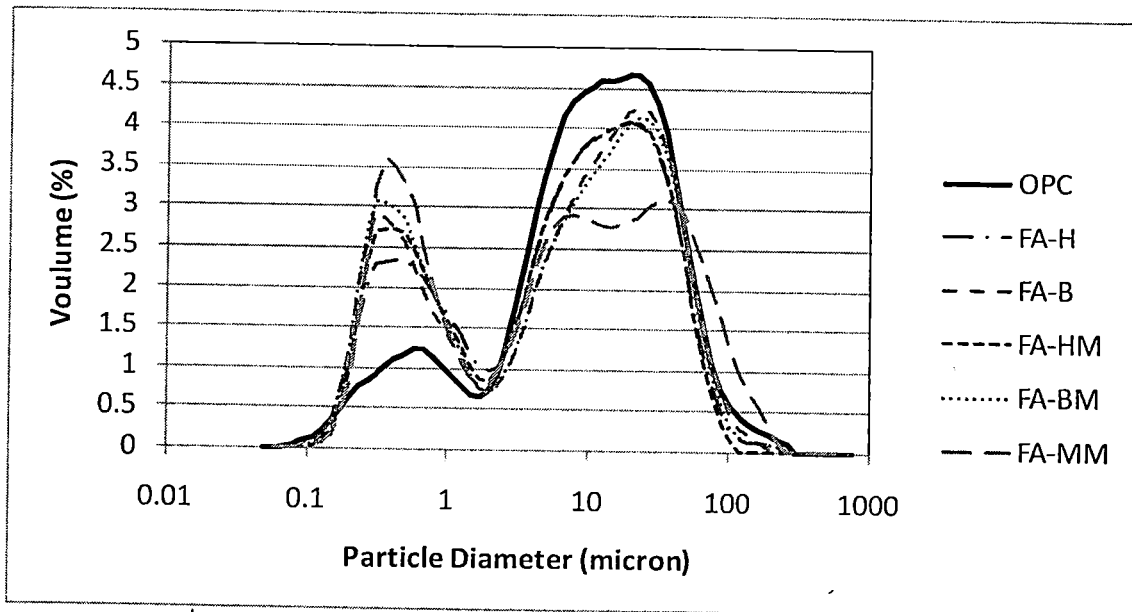
Chemical Compositions (%)	OPC	Mae Moh fly ash (FAMM)	BLCP fly ash	
			FAH	FAHM
SiO <sub>2</sub>	19.87	39.4	65.15	61.64
Al <sub>2</sub> O <sub>3</sub>	4.87	17.93	22.06	21.86
Fe <sub>2</sub> O <sub>3</sub>	3.55	12.92	4.17	5.85
CaO	65.03	19.19	1.25	2.13
MgO	2.52	2.99	0.68	1.47
SO <sub>3</sub>	0.73	3.03	0.18	0.24
Na <sub>2</sub> O	0.02	1.36	0.02	0.02
K <sub>2</sub> O	0.45	2.50	1.09	1.11
TiO <sub>2</sub>	0.26	0.34	1.00	0.97
P <sub>2</sub> O <sub>5</sub>	0.07	0.20	0.35	0.33
LOI	2.26	0.17	3.78	4.09

ตารางที่ 3.3 คุณสมบัติทางกายภาพของถ่านหิน (Fly ash)

Physical Compositions	OPC	Mae Moh fly ash (FAMM)	BLCP fly ash	
			FAH	FAHM
Specific Gravity	3.10	2.29	2.24	2.23
Blaine's Fineness (cm <sup>2</sup> /g)	3,350	2,836	2,860	3,030
Loss on Ignition (%)	2.26	0.14	3.78	4.09
Normal Consistency (%)	24.30	22.20	25.38	25.54
Initial Setting Time (minute)	108.89	139.98	147.34	148.40
Final Setting Time (minute)	130.00	175.00	171.50	180.00
Flow Test (%)	111.95	114.58	112.20	112.55
Water Requirement (%)	49.49	46.69	50.00	50.69



รูปที่ 3.5 ขนาดอนุภาคเฉลี่ยของซีเมนต์และเก้าโลย (ที่มา : โรงพยาบาลราชองค์)



รูปที่ 3.6 การกระจายตัวของซีเมนต์และเก้าโลย (ที่มา : โรงพยาบาลราชองค์)

### 3.1.3 น้ำ (Water)

น้ำที่ใช้ในการทดลองจะใช้น้ำประปาจากห้องปฏิบัติการคอนกรีต

### 3.1.4 เกลือ氯化โซเดียม (Sodium chloride)

เกลือ氯化โซเดียมที่ใช้ในการทดลอง เป็นเกลือโซเดียมคลอไรด์ (Sodium chloride) มีความบริสุทธิ์ 99.9%

### 3.2 อุปกรณ์และสารเคมีที่ใช้ในการทดลอง

#### 3.2.1 การทดลองความสามารถเก็บกักคลอไรด์ของซีเมนต์เพสต์

##### 3.2.1.1 อุปกรณ์ที่ใช้ในการทดลอง

1) แบบหล่อชิ้นตัวอย่างทดสอบขนาดเส้นผ่านศูนย์กลาง 50 มิลลิเมตร และหนา 10 มิลลิเมตร ดังรูปที่ 3.7

2) เครื่องผสมซีเมนต์เพสต์ (Cement paste mixer)

3) กล่องพลาสติกบรรจุชิ้นตัวอย่างทดสอบ

4) ชุดอุปกรณ์เครื่องแก้ว ดังรูปที่ 3.8

5) เครื่องซึ่งนำหันแบบดิจิตอล ดังรูปที่ 3.9

6) เครื่อง Auto titration รุ่น 721 NET titrino metrohm และเครื่องกวานแม่เหล็ก ดังรูปที่ 3.10

7) ตู้อบความร้อน ดังรูปที่ 3.11

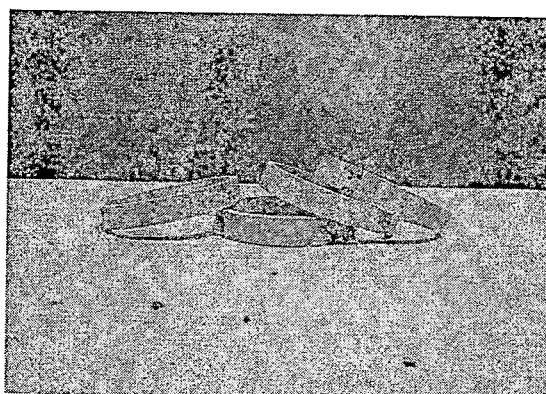
8) เครื่องกดชิ้นทำลายตัวอย่าง ดังรูปที่ 3.12

##### 3.2.1.2 สารเคมีที่ใช้ในการทดลอง

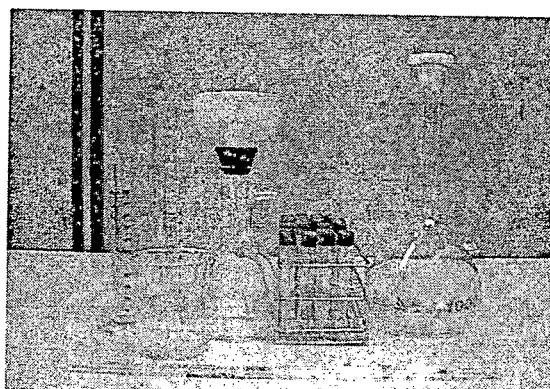
1) สารละลายน้ำตาล 0.05 M โซเดียมคลอไรด์ (Sodium chloride)

2) สารละลายน้ำตาล 0.05 M ซิลเวอร์ไนเตรท (Silver nitrate)

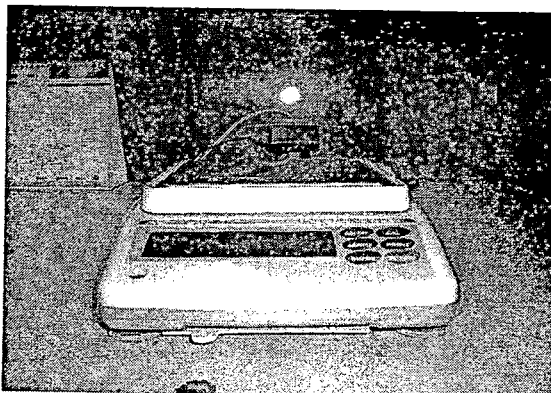
3) น้ำก๊ลั่น



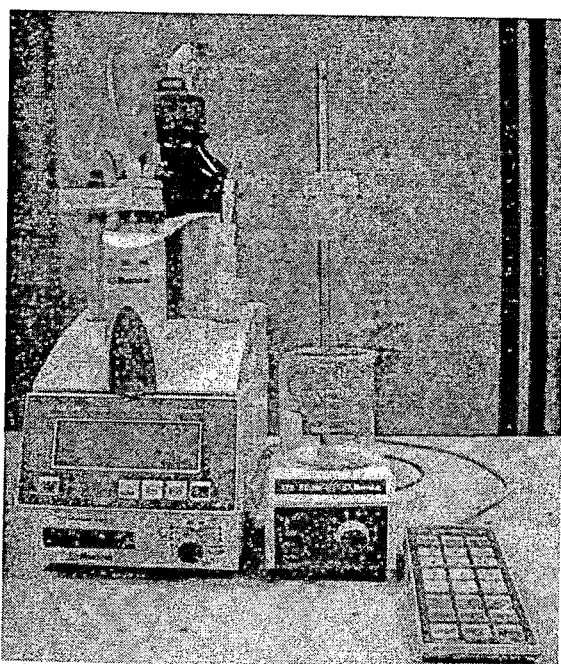
รูปที่ 3.7 แบบหล่อชิ้นตัวอย่างทดสอบ



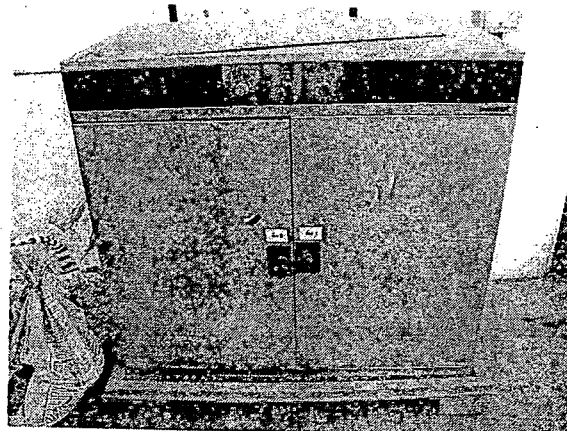
รูปที่ 3.8 ชุดอุปกรณ์เครื่องแก้ว



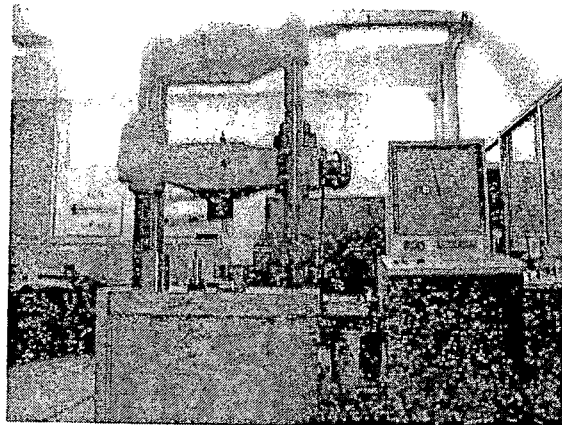
รูปที่ 3.9 เครื่องชั่งน้ำหนักแบบดิจิตอล (Digital balance)



รูปที่ 3.10 เครื่อง Auto titration และเครื่องกวานแม่เหล็ก



รูปที่ 3.11 ตู้อบความร้อน

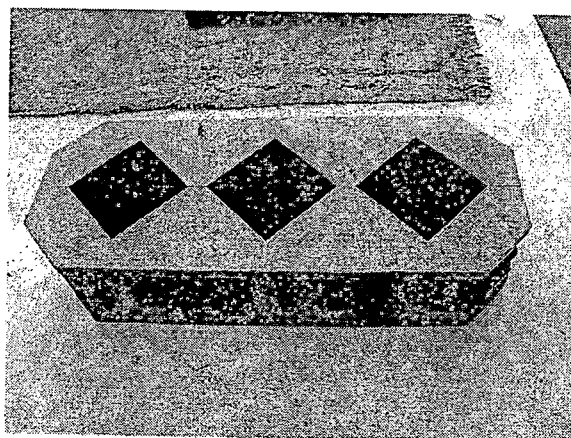


รูปที่ 3.12 เครื่องกดทำลายชิ้นด้วยย่าง

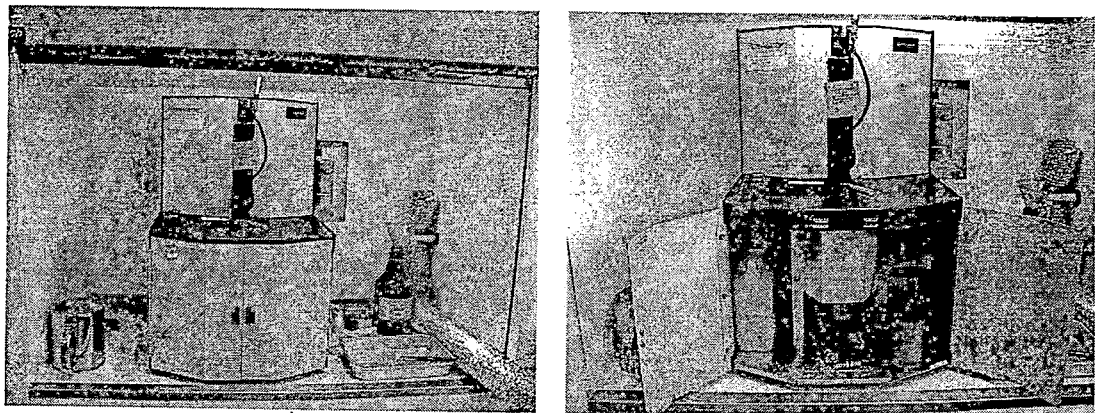
### 3.2.2 การทดลองโครงสร้างพろงช่องว่างของซีเม็นต์เพสต์ด้วยวิธี MIP

#### 3.2.2.1 อุปกรณ์ที่ใช้ในการทดลอง

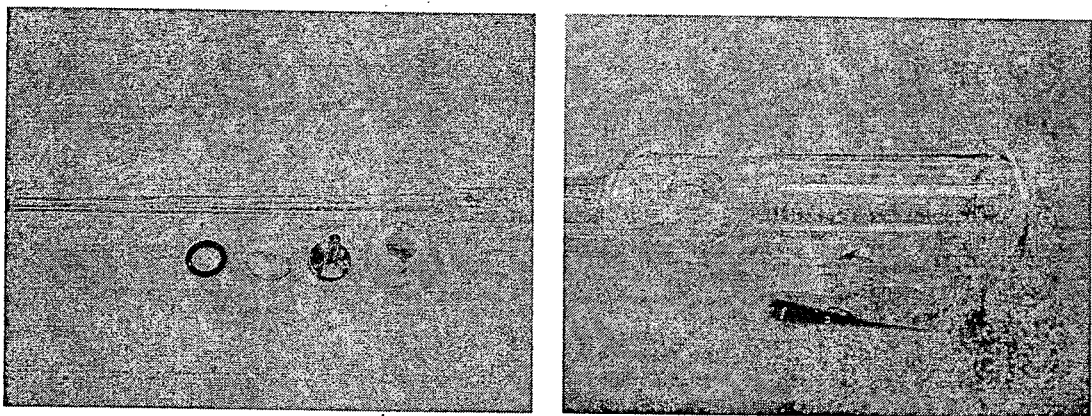
- 1) แบบหล่อตัวอย่างทรงลูกบาศก์ขนาด  $50 \times 50 \times 50$  มิลลิเมตร รูปที่ 3.13
- 2) เครื่องผสมซีเม็นต์เพสต์ (Cement paste mixer)
- 3) เครื่องทดสอบโครงสร้างพろงช่องว่างด้วยวิธี MIP รูปที่ 3.14
- 4) เพเนโตรมิเตอร์ (Penetrometer) รูปที่ 3.15



รูปที่ 3.13 แบบหล่อตัวอย่างขนาด  $50 \times 50 \times 50$  มิลลิเมตร



รูปที่ 3.14 เครื่องทดสอบโครงสร้างโครงสร้างห้องว่างด้วยวิธี MIP



รูปที่ 3.15 เพนโนกรมิเตอร์ (Penetrometer)

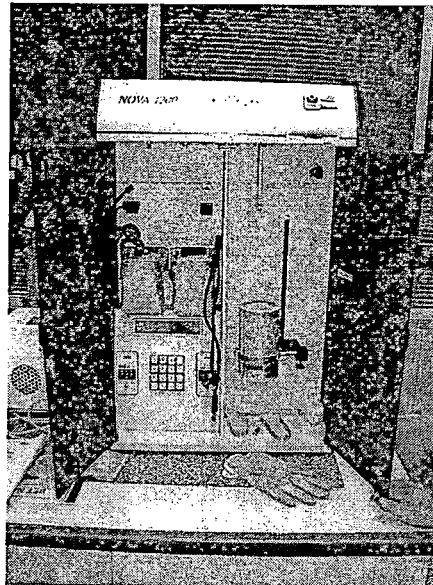
### 3.2.2.2 สารเคมีที่ใช้ในการทดลอง

- 1) ปรอท
- 2) ก้าช์ในโตรเจน

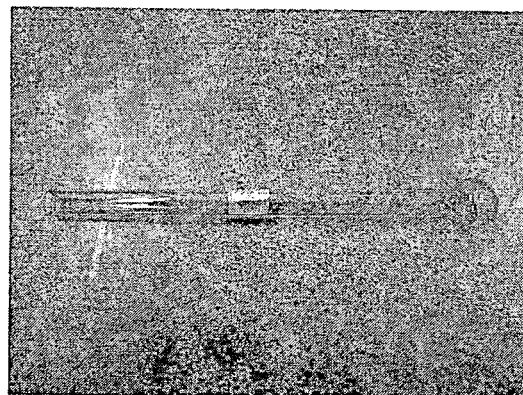
### 3.2.3 การทดลองโครงสร้างโครงสร้างห้องว่างของซีเมนต์เพสต์ด้วยวิธี BET

#### 3.2.3.1 อุปกรณ์ที่ใช้ในการทดลอง

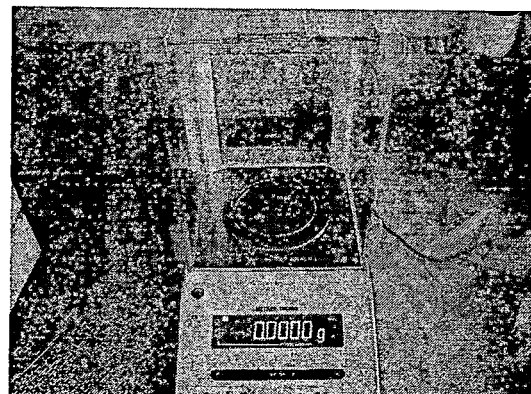
- 1) แบบหล่อตัวอย่างทรงลูกบาศก์ขนาด  $50 \times 50 \times 50$  มิลลิเมตร รูปที่ 3.13
- 2) เครื่องผสมซีเมนต์เพสต์ (Cement paste mixer)
- 3) เลือย
- 4) ครากหินบดตัวอย่างทดสอบ
- 5) เครื่องทดสอบโครงสร้างโครงสร้างห้องว่างด้วยวิธี BET รูปที่ 3.16
- 6) หลอดทดสอบตัวอย่าง (Tube) รูปที่ 3.17
- 7) เครื่องซั่งน้ำหนักแบบละเอียด (ทศนิยม 4 ตำแหน่ง) รูปที่ 3.18



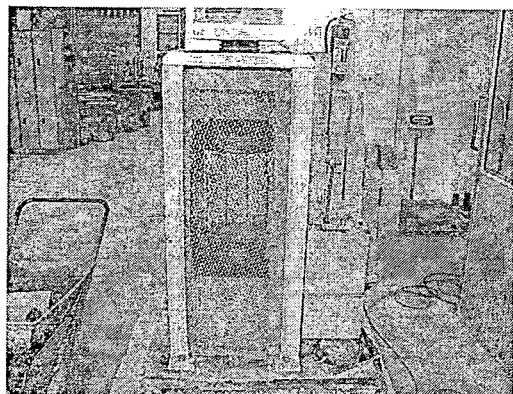
รูปที่ 3.16 เครื่องทดสอบโครงสร้างโพรงช่องว่างด้วยวิธี BET



รูปที่ 3.17 หลอดทดสอบด้วยอย่าง (Tube)



รูปที่ 3.18 เครื่องชั่งน้ำหนักแบบบาลานซ์



รูปที่ 3.19 เครื่องทดสอบกำลังรับแรงอัด

### 3.3.3.2 สารเคมีที่ใช้ในการทดลอง

- 1) ไนโตรเจนเหลว
- 2) ก๊าซในไนโตรเจน

### 3.3.4 การทดลองกำลังรับแรงอัดของซีเม็นต์เพสต์

#### 3.3.4.1 อุปกรณ์ที่ใช้ในการทดลอง

- 1) แบบหล่อตัวอย่างทรงลูกบาศก์ขนาด  $50 \times 50 \times 50$  มิลลิเมตร รูปที่ 3.13
- 2) เครื่องผสมซีเม็นต์เพสต์ (Cement paste mixer)
- 3) เครื่องทดสอบกำลังรับแรงอัด ดังรูปที่ 3.19

ตารางที่ 3.4 ส่วนผสมซีเม็นต์เพสต์

Mix designation	Fly ash type	Fly ash (% replacement)	Water to binder ratio
C100W40	-	-	0.40
C100W50	-	-	0.50
C70FA-MM30W40	Mae Moh	30	0.40
C70FA-MM30W50	Mae Moh	30	0.50
C50FA-MM50W40	Mae Moh	50	0.40
C50FA-MM50W50	Mae Moh	50	0.50
C70FA-H30W40	Hunter	30	0.40
C70FA-H30W50	Hunter	30	0.50
C50FA-H50W40	Hunter	50	0.40
C50FA-H50W50	Hunter	50	0.50
C70FA-HM30W40	Hunter Malawan	30	0.40
C70FA-HM30W50	Hunter Malawan	30	0.50
C50FA-HM50W40	Hunter Malawan	50	0.40
C50FA-HM50W50	Hunter Malawan	50	0.50

หมายเหตุ : ความหมายของสัญลักษณ์ในแต่ละอัตราส่วนผสมมีความหมายดังนี้  
 “0.30, 0.50” หมายถึง ปริมาณสารผสมเพิ่มที่ใช้ร้อยละ 30 และ 0.50 โดยน้ำหนักวัสดุ  
 ประสาน  
 “W40, W50” หมายถึง อัตราส่วนน้ำต่อวัสดุประสานเท่ากับ 0.40 และ 0.50  
 ตามลำดับ

ดัวอย่างการอ่านสัญลักษณ์

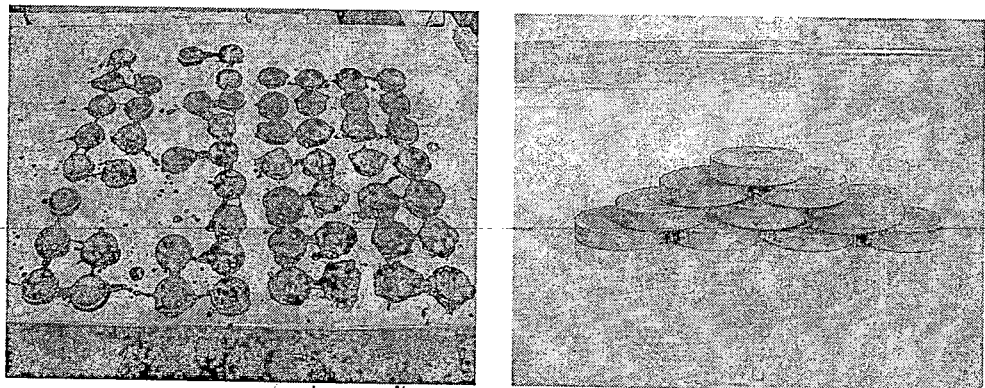
“C70FA-MM30W40” หมายถึง ชีเมนต์เพสต์ที่ใช้ปูนซีเมนต์ร้อยละ 70 ใช้เต้าloyแม่เมะร้อยละ 30  
 โดยปริมาตร และมีอัตราส่วนน้ำต่อวัสดุประสานเท่ากับ 0.40

### 3.3 วิธีทำการทดลอง

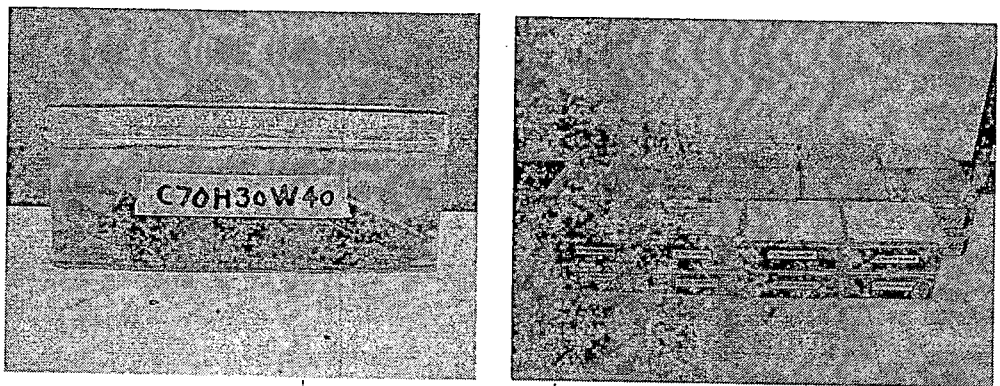
#### 3.3.1 การทดลองความสามารถเก็บกักคลอร์ดของชีเมนต์เพสต์

##### 3.3.1.1 การเตรียมดัวอย่าง

หลอดดัวอย่างชีเมนต์เพสต์ โดยมีขนาดเส้นผ่านศูนย์กลาง 50 มิลลิเมตร และหนา 10 มิลลิเมตร  
 ดังรูปที่ 3.20 สัดส่วนผสมที่ใช้ในการทดสอบแสดงไว้ในตารางที่ 3.4 แต่ละดัวอย่างมีจำนวน 13 ชิ้น มี  
 รายละเอียดดังนี้



รูปที่ 3.20 ชิ้นดัวอย่างที่ใช้ในการทดสอบ



รูปที่ 3.21 การแซ่ดัวอย่างที่ใช้ในการทดสอบ

1) ชีเมนต์เพสต์ที่ใช้ปูนชีเมนต์ปอร์ตแลนด์ประเภท 1 ใช้อัตราส่วนน้ำต่อวัสดุประสาน 0.40 และ 0.50 นำไปแช่ในน้ำเป็นระยะเวลา 28 และ 91 วัน แล้วนำไปแช่ต่อในน้ำเกลือคลอไรด์เข้มข้น 5% เป็นเวลา 91 วัน แล้วจึงนำไปทดสอบ

2) ชีเมนต์เพสต์ที่ใช้ปูนชีเมนต์ปอร์ตแลนด์ประเภท 1 ใช้อัตราส่วนน้ำต่อวัสดุประสาน 0.40 และ 0.50 ใช้อัตราส่วนการแทนที่วัสดุประสานด้วยเกลอลอยระยองแม่เมะ (FAMM) ที่ 0.30 และ 0.50 นำไปแช่ในน้ำเป็นระยะเวลา 28 และ 91 วัน แล้วนำไปแช่ต่อในน้ำเกลือคลอไรด์เข้มข้น 5% เป็นเวลา 91 วัน แล้วจึงนำไปทดสอบ

3) ชีเมนต์เพสต์ที่ใช้ปูนชีเมนต์ปอร์ตแลนด์ประเภท 1 ใช้อัตราส่วนน้ำต่อวัสดุประสาน 0.40 และ 0.50 ใช้อัตราส่วนการแทนที่วัสดุประสานด้วยเกลอลอยระยอง BLCP Hunter (FAH) ที่ 0.30 และ 0.50 นำไปแช่ในน้ำเป็นระยะเวลา 28 และ 91 วัน แล้วนำไปแช่ต่อในน้ำเกลือคลอไรด์เข้มข้น 5% เป็นเวลา 91 วัน แล้วจึงนำไปทดสอบ

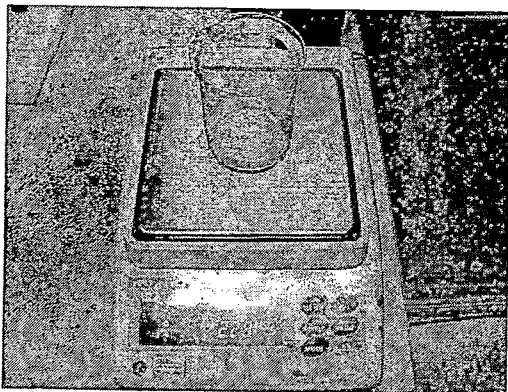
4) ชีเมนต์เพสต์ที่ใช้ปูนชีเมนต์ปอร์ตแลนด์ประเภท 1 ใช้อัตราส่วนน้ำต่อวัสดุประสาน 0.40 และ 0.50 ใช้อัตราส่วนการแทนที่วัสดุประสานด้วยเกลอลอยระยอง BLCP Hunter Malavan (FAHM) ที่ 0.30 และ 0.50 นำไปแช่ในน้ำเป็นระยะเวลา 28 และ 91 วัน แล้วนำไปแช่ต่อในน้ำเกลือคลอไรด์เข้มข้น 5% เป็นเวลา 91 วัน แล้วจึงนำไปทดสอบ

### 3.3.1.2 การเก็บสารละลายน้ำในโครงเพื่อหาปริมาณคลอไรด์และการหาปริมาณน้ำในชีเมนต์เพสต์

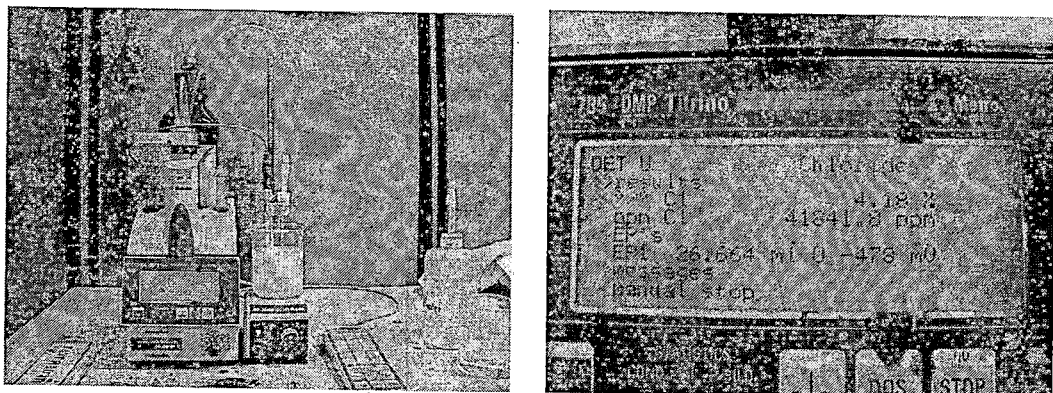
หลังจากแช่ในน้ำเกลือคลอไรด์เข้มข้น 5% ครบกำหนดระยะเวลาที่กำหนด จะนำเอาตัวอย่างชิ้นมาเช็ดด้วยผ้าหรือกระดาษชำระ ให้ตัวอย่างอยู่ในลักษณะอิ่มตัวผิวแห้ง จากนั้นจะนำไปซึ่งน้ำหนักด้วยเครื่องซึ่งน้ำหนักแบบดิจิตอล รูปที่ 3.9 ซึ่งการซึ่งน้ำหนักจะแยกเป็นตัวอย่างจำนวน 3 ชิ้น เพื่อนำไปอบที่อุณหภูมิประมาณ 100 องศาเซลเซียสเป็นเวลา 1 วัน จากนั้นจึงนำมาคำนวณหาปริมาณน้ำในชีเมนต์เพสต์ (Water content) และตัวอย่างอีกจำนวน 10 ชิ้น จะนำไปกดบีบเพื่อเก็บสารละลายน้ำในตัวอย่าง (น้ำภายใน) มหาวิเคราะห์หาปริมาณคลอไรด์อิสระ (Free chloride) รูปที่ 3.22 และนำสารละลายน้ำที่เหลือตัวอย่าง (น้ำภายนอก) มหาวิเคราะห์หาปริมาณคลอไรด์ทั้งหมด (Total chloride)



รูปที่ 3.22 การกดบีบเพื่อเก็บสารละลายน้ำจากตัวอย่างชีเมนต์เพสต์ (น้ำภายใน)



รูปที่ 3.23 การซั่งน้ำหนักสารละลายน้ำที่จะนำมาได้เตรท



รูปที่ 3.24 การได้เตรทโดยเครื่อง Auto titration

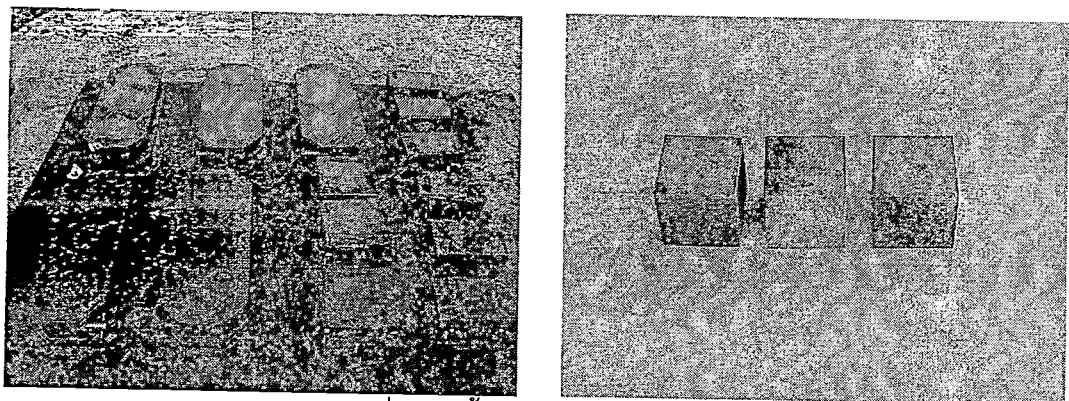
### 3.3.1.3 การหาปริมาณคลอไทร์ด

นำสารละลายน้ำที่เก็บได้จากการกรดบีบตัวอย่าง (น้ำภายใน) หรือสารละลายน้ำที่แยกตัวอย่าง (น้ำภายนอก) ออกมาประมาณ 2 มิลลิลิตร ใส่ในบีกเกอร์ขนาด 250 มิลลิลิตร นำไปปั่นน้ำหนัก (ซึ่งเฉพาะน้ำหนักน้ำเกลือคลอไทร์เท่านั้น) โดยชั่งละเอียดถึง 0.01 กรัม รูปที่ 3.23 จากนั้นนำมาเติมน้ำกลันลงไปประมาณ 150 มิลลิลิตร แล้วทำการได้เตรทด้วยเครื่อง auto titration ดังรูป 3.24 บันทึกค่าปริมาณสารละลายน้ำในเตรทที่ใช้รวมไปถึงค่าปริมาณคลอไทร์ด

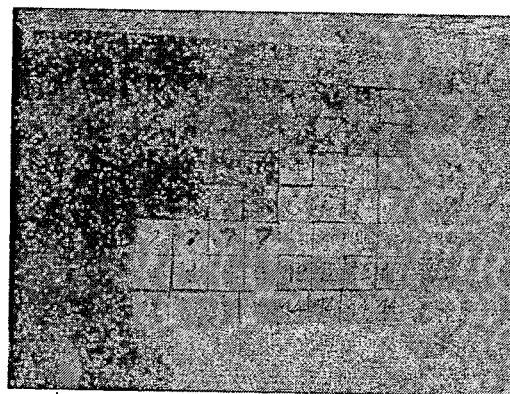
### 3.3.2 การทดลองโครงสร้างโพรงช่องว่างของซีเมนต์เพสต์ด้วยวิธี MIP

#### 3.3.2.1 การเตรียมตัวอย่าง

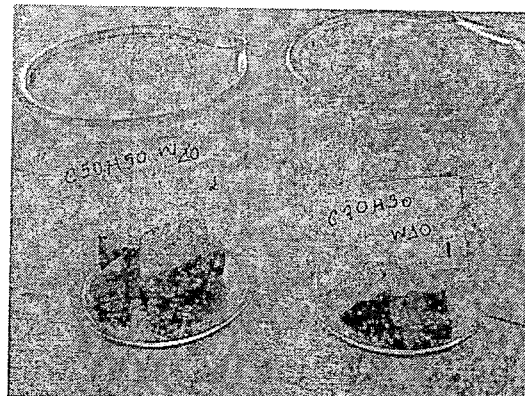
หล่อตัวอย่างซีเมนต์เพสต์ทรงลูกบาศก์ขนาด  $50 \times 50 \times 50$  มิลลิเมตร ดังรูปที่ 3.25 สัดส่วนผสมที่ใช้ในการทดสอบแสดงไว้ในตารางที่ 3.4 แต่ละตัวอย่างมีจำนวน 3 ชิ้น และแขวน้ำประปาเป็นเวลา 28 และ 91 วัน ดังรูปที่ 3.26 เมื่อครบกำหนดระยะเวลา จะนำตัวอย่างมาตัดให้มีขนาดพอเหมาะสมกับเพนโตรมิเตอร์ โดยจะเอาส่วนที่เป็นแกนกลางของตัวอย่างทรงลูกบาศก์ และนำไปอบเป็นเวลาประมาณ 24 ชั่วโมง ดังรูปที่ 3.27



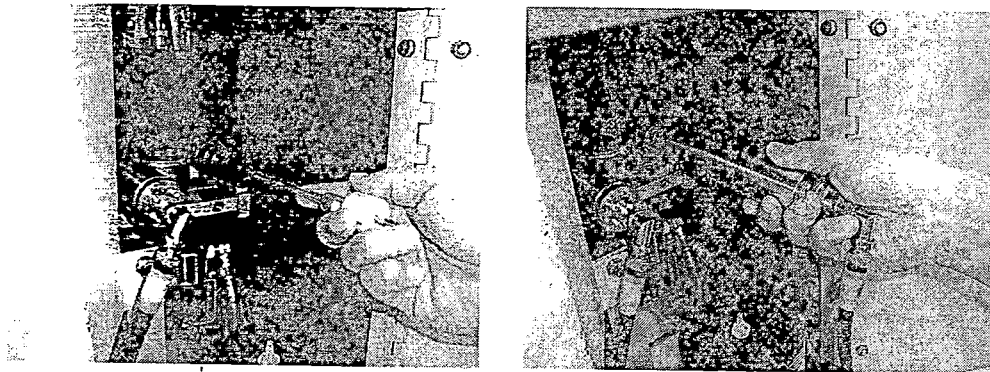
รูปที่ 3.25 ชิ้นตัวอย่างทรงลูกบาศก์



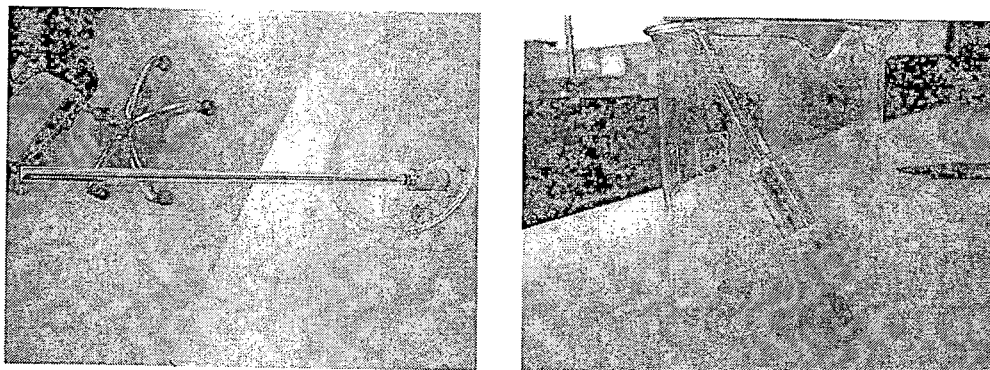
รูปที่ 3.26 ตัวอย่างทดสอบที่แช่ในน้ำประปา



รูปที่ 3.27 ตัวอย่างทดสอบที่ตัดและผ่านการอบแล้ว



รูปที่ 3.28 การประกอบเพเนโกรมิเตอร์เข้าเครื่องอัดความดันต่ำ



รูปที่ 3.29 เพเนโกรมิเตอร์ที่ผ่านการอัดprotoแล้ว

### 3.3.2.2 การทดสอบ

- 1) ชั้นหัวนักของตัวอย่าง และหัวนักของเพเนโกรมิเตอร์
- 2) ใส่ตัวอย่างลงในเพเนโกรมิเตอร์ พร้อมประกอบชุดเพเนโกรมิเตอร์ จากนั้นนำไปประกอบเข้ากับเครื่องอัดความดันต่ำ (Low pressure) รูปที่ 3.28
- 3) ทำการดูดอากาศออกจากเพเนโกรมิเตอร์ จนมีความดันต่ำกว่า 50 psi และจึงปล่อยprotoเข้าในเพเนโกรมิเตอร์ เพิ่มความดันของprotoอย่างช้าๆ โดยเครื่องอัดแก๊สในโทรศัพท์ พร้อมบันทึกข้อมูลความดันต่างๆ จนความดันประมาณ 24-25 psi. และปรับความดันสูงความดันบรรยายกาศ ดังรูปที่ 3.29
- 4) นำเพเนโกรมิเตอร์ไปประกอบกับส่วนที่เป็นเครื่องอัดความดันสูง และอัดprotoด้วยน้ำมัน จนถึงความดัน 30,000-33,000 psi พร้อมบันทึกข้อมูลความดันและปริมาตรของproto

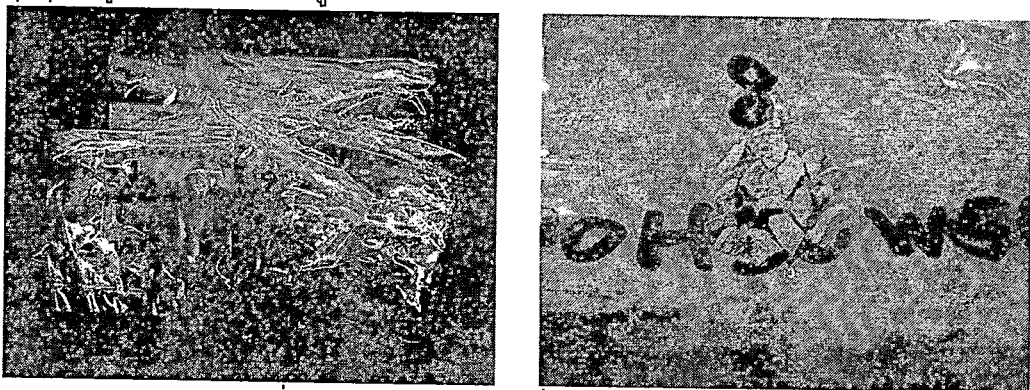
### 3.3.3 การทดลองโครงสร้างprotoช่องว่างของซีเมนต์เพสต์ด้วยวิธี BET

#### 3.3.3.1 การเตรียมตัวอย่าง

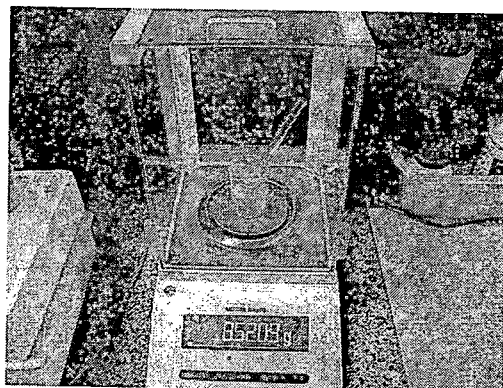
หล่อตัวอย่างซีเมนต์เพสต์ทรงลูกบาศก์ขนาด  $50 \times 50 \times 50$  มิลลิเมตร ดังรูปที่ 3.24 ส่วนผสมที่ใช้ในการทดสอบแสดงไว้ในตารางที่ 3.4 แต่ละตัวอย่างมีจำนวน 3 ชิ้น แช่ในน้ำประปาเป็นเวลา 28 และ 91 วัน ดังรูปที่ 3.26 เมื่อครบกำหนดเวลา จะนำตัวอย่างมาตัดเฉพาะส่วนที่เป็นแกนกลางของตัวอย่าง และบดให้มีขนาดประมาณ 1-2 มิลลิเมตร และนำไปอบเป็นเวลาประมาณ 24 ชั่วโมง รูปที่ 3.30

### 3.3.3.2 การทดสอบ

- 1) ชั้นนำหนักหลอดทดสอบและตัวอย่างทดสอบ รูปที่ 3.31
- 2) ทำการไล่อากาศ (Outgas) ออกจากหลอดทดลองและ propane ในตัวอย่างด้วยเครื่องทำความร้อน (Heater) โดยการติดตั้งหลอดทดสอบตัวอย่าง (Tube) เข้ากับเครื่องทดสอบ รูปที่ 3.32 และเปิดเครื่องเป็นเวลา 3 ชั่วโมง เสร็จแล้วปิดหลอดทดลองให้สนิท นำตัวอย่างไปซั่งอีกครั้ง แล้วก็นำไปให้อุณหภูมิลดลงจนเป็นปกติ
- 3) เดิมในโตรเจนเหลวที่ภาชนะของเครื่องทดสอบจะถูกดึงขึ้นที่กำหนด และนำหลอดทดสอบไปใส่ในช่องด้านบนของเครื่องทดสอบ รูปที่ 3.33
- 4) ขนาดไฟฟ้าของตัวอย่างและภาระจ่ายตัวของชีเมนต์เพสต์ด้วยการใช้เก๊าในโตรเจน โดยใช้หลักการดูดซับ (Absorb) ของพื้นผิวภายในโพรช่องว่างของตัวอย่าง และใช้ในโตรเจนเหลวในการควบคุมอุณหภูมิของการทดสอบ รูปที่ 3.34



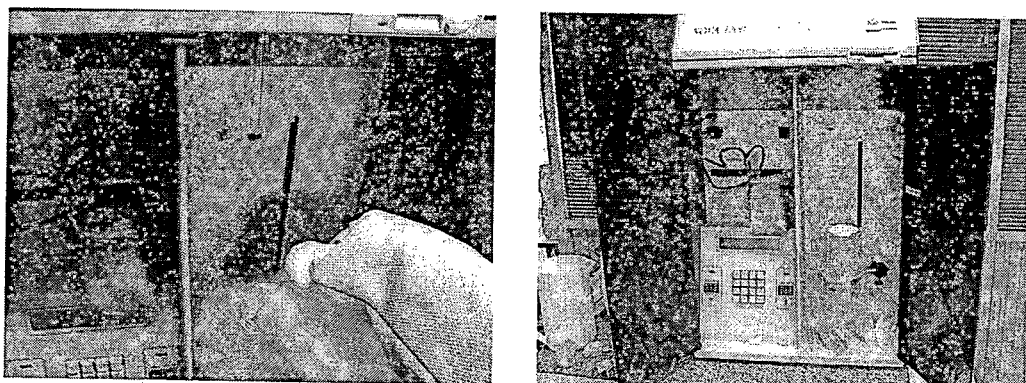
รูปที่ 3.30 ตัวอย่างทดสอบที่ผ่านการบดและอบแล้ว



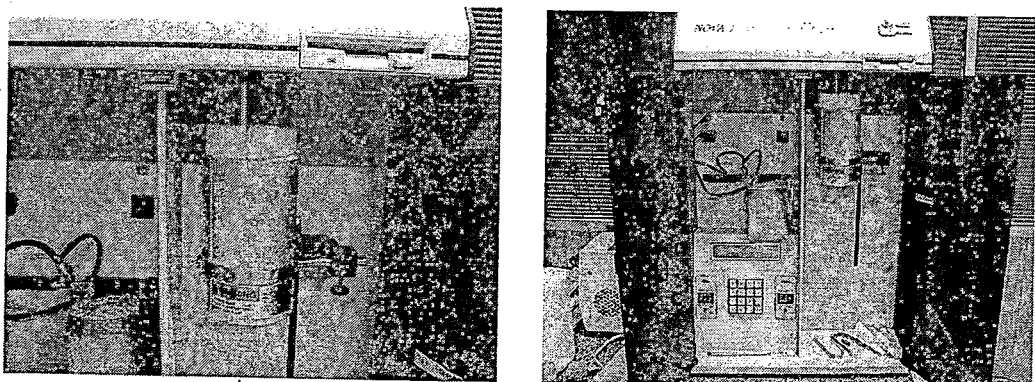
รูปที่ 3.31 การชั้นนำหนักหลอดทดสอบและตัวอย่างทดสอบ



รูปที่ 3.32 การไล่อากาศและความชื้นออกจากหลอดทดลอง(Outgas)



รูปที่ 3.33 การเติมไนโตรเจนเหลวและติดตั้งหลอดทดสอบ



รูปที่ 3.34 การหาน้ำด้วยเครื่องวัดความชื้นของโครงสร้าง

### 3.3.4 การทดสอบกำลังรับแรงอัดของซีเมนต์เพสต์

หล่อตัวอย่างซีเมนต์เพสต์ ทรงลูกบาศก์ขนาด  $50 \times 50 \times 50$  มิลลิเมตร ดังรูปที่ 3.25 สัดส่วนผสมที่ใช้ในการทดสอบแสดงไว้ในตารางที่ 3.4 แต่ละตัวอย่างมีจำนวน 3 ชิ้น และแข็งในน้ำประปาเป็นเวลา 28 และ 91 วัน ดังรูปที่ 3.26 เมื่อครบกำหนดระยะเวลา จึงนำมากดทำลายเพื่อหากำลังรับแรงอัด ซึ่งมาตรฐานที่ใช้สำหรับตัวอย่างทรงลูกบาศก์ (BS 1881: PART 4) Method of testing concrete for strength ซึ่งมีวิธีการทดสอบ ดังนี้

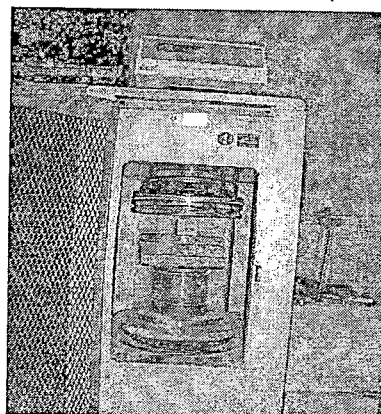
- 1) วัดขนาดหน้าตัดของตัวอย่างทดสอบที่จะรับแรงกด
- 2) นำก้อนตัวอย่างวางกึ่งกลางของแท่นทดสอบ โดยให้แกนอยู่ในแนวศูนย์กลางของแท่นทดสอบนี้จะต้องควบคุมหน้าที่กดให้มีอัตราสม่ำเสมอ โดยอัตราที่ใช้คือ 1.4-3.4 กิโลกรัมต่อตารางเซนติเมตรต่อวินาที
- 3) เปิดเครื่องทดสอบ และกดก้อนตัวอย่างจนแตก บันทึกค่าน้ำหนักที่ได้ รูปที่ 3.35
- 4) นำค่าหน้าที่กด และ พื้นที่หน้าตัดที่ได้มาหาค่ากำลังอัดประดับ

$$\text{จาก } f'_c = \frac{P}{A} \quad (3.1)$$

เมื่อกำหนดให้  $f'_c$  = กำลังอัดประดับของตัวอย่าง (กิโลกรัมต่อตารางเซนติเมตร)

$P$  = น้ำหนักของแรงที่กระทำ (กิโลกรัม)

$A$  = พื้นที่หน้าตัดของก้อนตัวอย่าง (ตารางเซนติเมตร)



รูปที่ 3.35 การทดสอบกำลังรับแรงอัด

## บทที่ 4

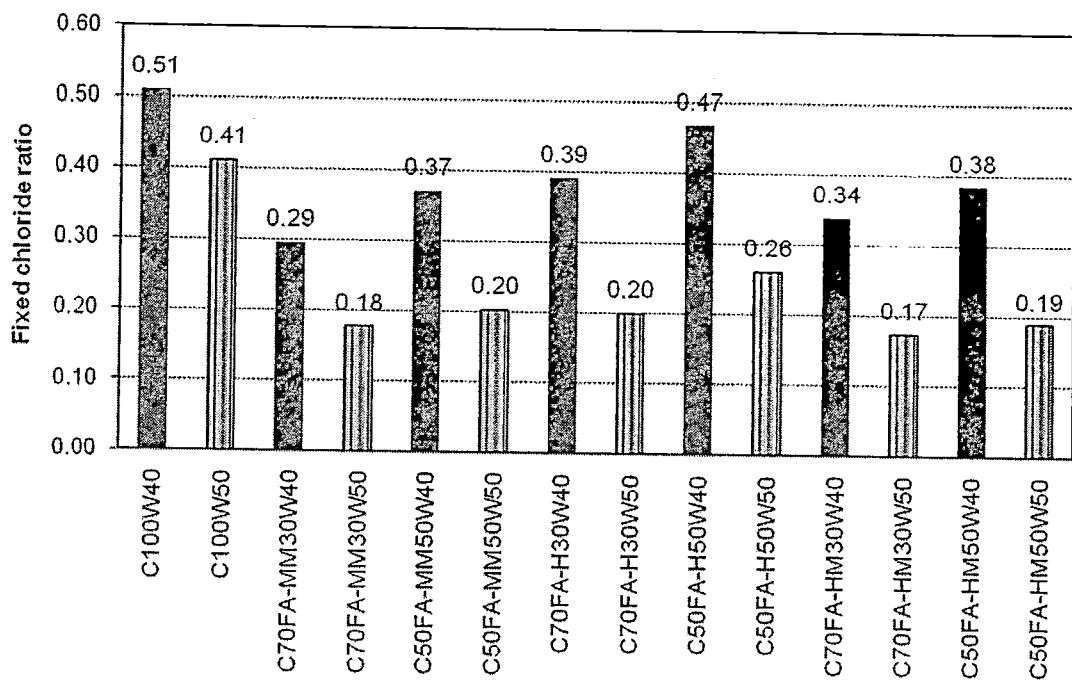
### ผลการทดลองและอภิปรายผล

#### 4.1 ความสามารถเก็บกักคลอไրด์ของซีเมนต์เพสต์

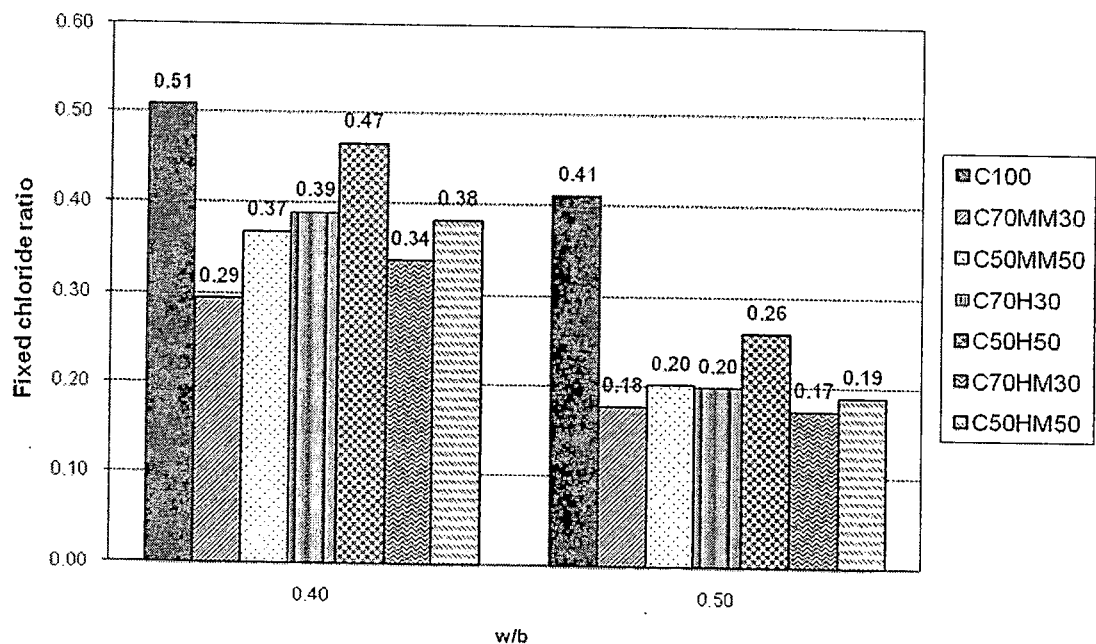
จากการทดลองได้ใช้อัตราส่วนน้ำต่อวัสดุประสาน ( $w/b$ ) 2 อัตราส่วนคือ 0.40 และ 0.50 โดยหัวนัก อัตราส่วนการแทนที่วัสดุประสานด้วยเก้าโลยเท่ากับ 0.30 และ 0.50 โดยหัวนัก เก้าโลยที่ใช้มี 3 ชนิด คือ เก้าโลยแม่เมะ เก้าโลย BLCP Hunter และเก้าโลย BLCP Hunter Malawan และแซ่น้ำ เป็นเวลา 28 และ 91 วัน หลังจากนั้นนำไปแข่น้ำเกลือคลอไรด์เข้มข้น 5% เป็นเวลา 91 วัน โดยผลการทดลองได้แสดงออกมาเป็นกราฟเพื่อพิจารณาดังแต่ 4.1-4.5 ดังนี้

พิจารณาผลการทดลองรูปที่ 4.1 เปรียบเทียบความสามารถเก็บกักคลอไรด์ที่มีส่วนผสมเดียว กัน การแทนที่วัสดุประสานด้วยเก้าโลยเท่ากัน แต่อัตราส่วนน้ำต่อวัสดุประสานแตกต่างกัน จากผลการทดลองพบว่า ซีเมนต์เพสต์ที่มีอัตราส่วนน้ำต่อวัสดุประสานที่ 0.40 มีความสามารถเก็บกักคลอไรด์มากกว่าซีเมนต์เพสต์ที่มีอัตราส่วนน้ำต่อวัสดุประสานที่ 0.50 เนื่องจากเมื่ออัตราส่วนน้ำต่อวัสดุประสานมีค่ามากขึ้น เนื้อซีเมนต์เพสต์มีความทึบนำต่ำลง จึงมีปริมาณโพรงช่องว่างเพิ่มมากขึ้น ทำให้การแพร่ของคลอไรด์เกิดได้ง่ายขึ้น ส่งผลให้ปริมาณคลอไรด์อิสระมากขึ้น แต่ปริมาณคลอไรด์ที่ถูกยึดจับน้อยลง เพราะเกิดปฏิกิริยาทางเคมีน้อยลง จึงทำให้สารประกอบ C-S-H น้อยลง ความสามารถเก็บกักคลอไรด์จึงลดลง

เปรียบเทียบความสามารถเก็บกักคลอไรด์ที่มีส่วนผสมเดียว กัน อัตราส่วนน้ำต่อวัสดุประสานเท่ากัน แต่การแทนที่วัสดุประสานด้วยเก้าโลยแตกต่างกัน จากผลการทดลองพบว่า ซีเมนต์เพสต์ที่มีการแทนที่วัสดุประสานด้วยเก้าโลยที่ 0.50 มีความสามารถเก็บกักคลอไรด์มากกว่าการแทนที่วัสดุประสานด้วยเก้าโลยที่ 0.30 เนื่องจากเมื่ออัตราส่วนการแทนที่วัสดุประสานด้วยเก้าโลยมากขึ้น ทำให้การเกิดปฏิกิริยาปอโซไซเลนิกมากขึ้น คุณสมบัติในการยึดประสานของซีเมนต์เพสต์ดีขึ้น ส่งผลให้โพรงช่องว่างน้อยขึ้น การยึดจับทางกายภาพและทางเคมีเพิ่มขึ้น ความสามารถเก็บกักคลอไรด์จึงเพิ่มขึ้น



รูปที่ 4.1 ความสามารถเก็บกักคลอไรด์ของซีเมนต์เพสต์ที่อัตราส่วนการแทนที่วัสดุประสาน และอัตราส่วนน้ำต่อวัสดุประสานที่แตกต่างกัน โดยบ่มน้ำเป็นระยะเวลา 28 วันและแข็งน้ำเกลือคลอไรด์เป็นระยะเวลา 91 วัน

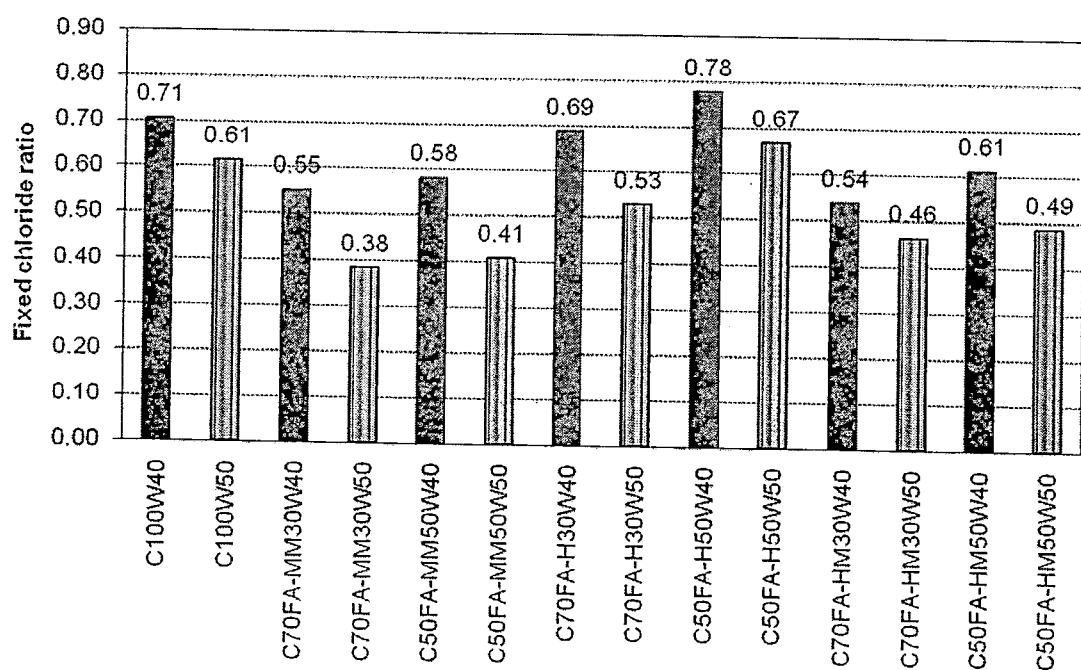


รูปที่ 4.2 ความสามารถเก็บกักคลอไรด์ของซีเมนต์เพสต์ที่อัตราส่วนน้ำต่อวัสดุประสานเท่ากัน แต่การแทนที่วัสดุประสานแตกต่างกัน โดยบ่มน้ำเป็นระยะเวลา 28 วันและแข็งน้ำเกลือคลอไรด์เป็นระยะเวลา 91 วัน

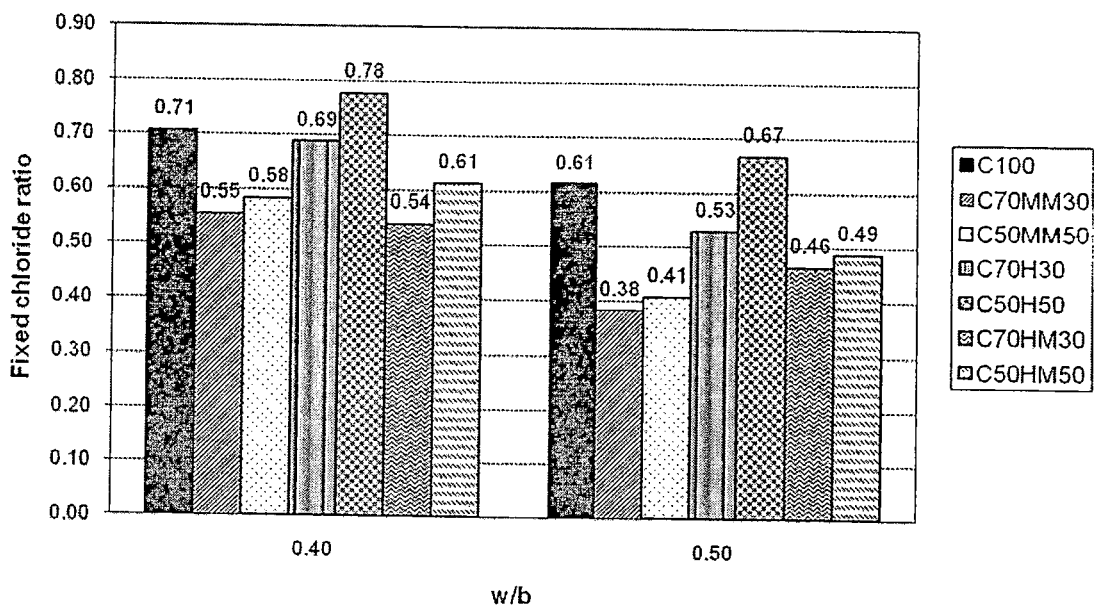
พิจารณาผลการทดลองรูปที่ 4.2 เปรียบเทียบความสามารถเก็บกักคลอไรด์ที่มีอัตราส่วนน้ำต่อวัสดุประสานเท่ากัน แต่การแทนที่วัสดุประสานด้วยถ้าลอยแตกต่างกัน จากผลการทดลองพบว่า ตัวอย่างที่มีความสามารถเก็บกักคลอไรด์สูงสุดคือ ตัวอย่างที่ใช้ซีเมนต์เพียงอย่างเดียวไม่มีการแทนที่วัสดุประสาน เนื่องจากปฏิกิริยาไฮเดรชันนั้นเกิดได้เร็วกว่าปฏิกิริยาปอชโซลานิก หรือผลของปฏิกิริยาปอชโซลานิกอาจจะเกิดไม่สมบูรณ์ ส่งผลให้ความสามารถเก็บกักคลอไรด์มีมากกว่าส่วนผสมอื่นๆ

พิจารณาผลการทดลองรูปที่ 4.3 เปรียบเทียบความสามารถเก็บกักคลอไรด์ที่มีส่วนผสมเดียวกัน การแทนที่วัสดุประสานด้วยถ้าลอยที่เท่ากัน แต่อัตราส่วนน้ำต่อวัสดุประสานแตกต่างกัน จากผลการทดลองพบว่า ซีเมนต์เพสต์ที่มีอัตราส่วนน้ำต่อวัสดุประสานที่ 0.40 มีความสามารถเก็บกักคลอไรด์มากกว่าซีเมนต์เพสต์ที่มีอัตราส่วนน้ำต่อวัสดุประสานที่ 0.50 เนื่องมาจากเมื่ออัตราส่วนน้ำต่อวัสดุประสานมีค่ามากขึ้น เนื้อซีเมนต์เพสต์มีความทึบนำ้ต่ำลง จึงมีปริมาณโพรงช่องว่างเพิ่มมากขึ้น ทำให้การแพร่ของคลอไรด์เกิดได้ง่าย ส่งผลให้ปริมาณคลอไรด์อิสระมากขึ้น แต่ปริมาณคลอไรด์ที่ถูกยึดจับน้อยลง เพราะเกิดปฏิกิริยาทางเคมีน้อยลง ทำให้ความสามารถเก็บกักคลอไรด์ลดลง

เปรียบเทียบความสามารถเก็บกักคลอไรด์ที่มีส่วนผสมเดียวกัน อัตราส่วนน้ำต่อวัสดุประสานเท่ากัน แต่การแทนที่วัสดุประสานด้วยถ้าลอยแตกต่างกัน จากผลการทดลองพบว่า ซีเมนต์เพสต์ที่มีการแทนที่วัสดุประสานด้วยถ้าลอยที่ 0.50 มีความสามารถเก็บกักคลอไรด์มากกว่าการแทนที่วัสดุประสานด้วยถ้าลอยที่ 0.30 เนื่องมาจากเมื่ออัตราส่วนการแทนที่วัสดุประสานด้วยถ้าลอยมากขึ้น ทำให้การเกิดปฏิกิริยาปอชโซลานิกมากขึ้น คุณสมบัติในการยึดประสานของซีเมนต์เพสต์ดีขึ้น การยึดจับทางภายนอกและทางเคมีเพิ่มขึ้น ความสามารถเก็บกักคลอไรด์จึงเพิ่มขึ้น



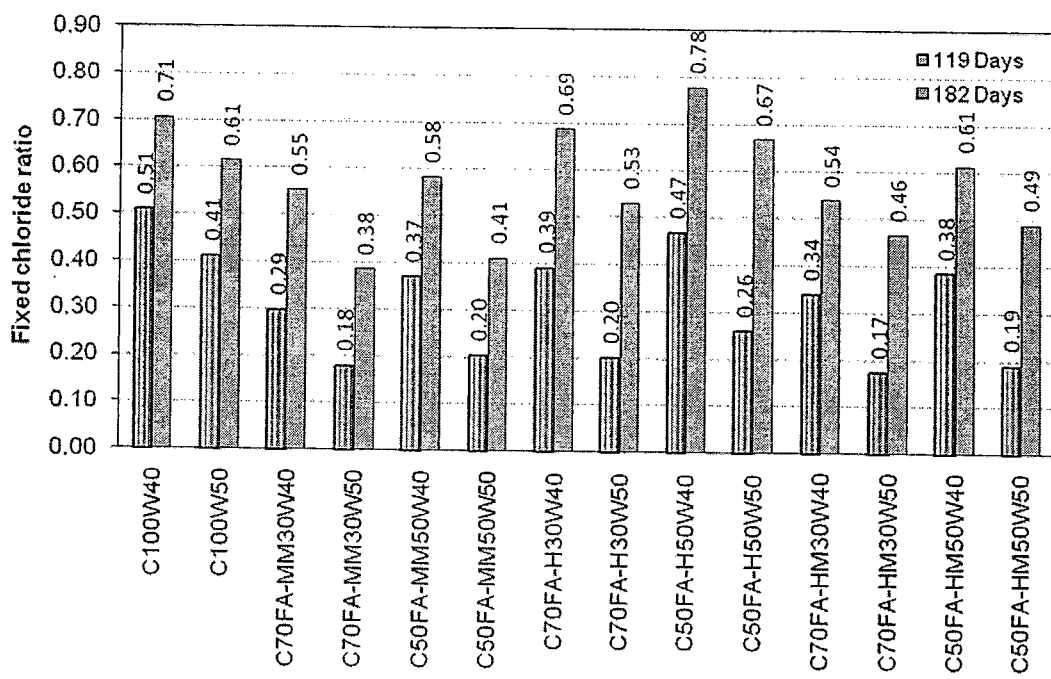
รูปที่ 4.3 ความสามารถเก็บกักคลอไรด์ของซีเมนต์เพสต์ที่อัตราส่วนการแทนที่วัสดุประสาน และ อัตราส่วนน้ำต่อวัสดุประสานที่แตกต่างกัน โดยบ่มน้ำเป็นระยะเวลา 91 วันและแซ่น้ำเกลือคลอไรด์เป็นระยะเวลา 91 วัน



รูปที่ 4.4 ความสามารถเก็บกักคลอไรด์ของซีเมนต์เพสต์ที่อัตราส่วนน้ำต่อวัสดุประสานเท่ากัน แต่การแทนที่วัสดุประสานแตกต่างกัน โดยบ่มน้ำเป็นระยะเวลา 91 วันและแข็งตัวแล้วเกลือคลอไรด์เป็นระยะเวลา 91 วัน

พิจารณาผลการทดลองรูปที่ 4.4 เปรียบเทียบความสามารถเก็บกักคลอไรด์ที่มีอัตราส่วนน้ำต่อวัสดุประสานเท่ากัน แต่การแทนที่วัสดุประสานด้วยถ้าloyแตกต่างกัน จากผลการทดลองพบว่า ตัวอย่างที่มีความสามารถเก็บกักคลอไรด์สูงสุดคือ ตัวอย่างที่มีอัตราส่วนการแทนที่วัสดุประสานด้วยถ้าloyBLCP-Hunterที่ 0.50 เนื่องมาจากถ้าloyชนิดนี้มีปริมาณซิลิกาและอลูมินาสูงกว่าถ้าloyชนิดอื่นๆ จึงเกิดปฏิกิริยาปอชโซลานิกได้สารประกอบ C-S-H และ C-A-H มากกว่า ส่งผลการยึดประสานของตัวอย่างซีเมนต์เพสต์ดีขึ้น ลดช่องว่างระหว่างอนุภาคของซีเมนต์เพสต์ และอัตราการซึมผ่านน้ำลดลง ดังนั้นจึงสามารถสรุปได้ว่า อัตราส่วนการแทนที่วัสดุประสานและอายุการบ่มมีผลต่อความสามารถเก็บกักคลอไรด์

พิจารณาผลการทดลองรูปที่ 4.5 เปรียบเทียบความสามารถเก็บกักคลอไรด์ของซีเมนต์เพสต์ที่ อัตราส่วนการแทนที่วัสดุประสาน และอัตราส่วนน้ำต่อวัสดุประสานต่างๆ โดยบ่มน้ำเป็นระยะเวลา 28 และ 91 วัน แข็งตัวแล้วเกลือคลอไรด์เป็นระยะเวลา 91 วัน รวมเป็นเวลาทั้งสิ้น 119 และ 182 วัน ตามลำดับ จากผลการทดลองพบว่า ที่ระยะเวลาการบ่ม 182 วัน มีความสามารถเก็บกักคลอไรด์มากกว่าที่ระยะเวลาการบ่ม 119 วัน เนื่องมาจาก เมื่อระยะเวลาการบ่มนานมากขึ้น การเกิดปฏิกิริยาไ索เดรชันและปฏิกิริยาปอชโซลานิกจึงมีมากขึ้น ได้สารประกอบ C-S-H และ C-A-H มากขึ้น ส่งผลการยึดประสานของตัวอย่างซีเมนต์เพสต์ดีขึ้น ลดช่องว่างระหว่างอนุภาคของซีเมนต์เพสต์ และอัตราการซึมผ่านน้ำลดลง

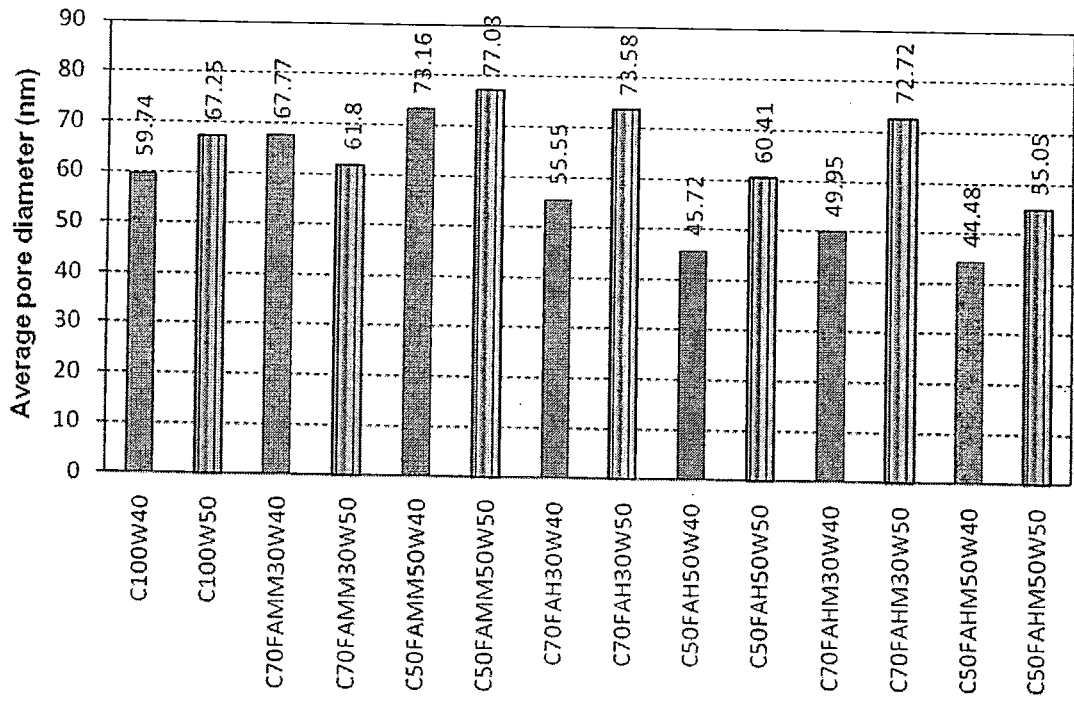


รูปที่ 4.5 ความสามารถเก็บกักคลอโรต์ของซีเมนต์เพสต์ที่อัตราส่วนการแทนที่วัสดุประสาน และ อัตราส่วนน้ำต่อวัสดุประสานต่างๆ โดยบ่มนำเป็นระยะเวลา 28 และ 91 วัน แข็งน้ำเกลือคลอโรต์เป็น ระยะเวลา 91 วัน รวมเป็นเวลาทั้งสิ้น 119 และ 182 ตามลำดับ

## 4.2 โครงสร้างโพรงช่องว่างของซีเมนต์เพสต์

### 4.2.1 โครงสร้างโพรงช่องว่างของซีเมนต์เพสต์ด้วยวิธี Mercury Intrusion Porosimetry (MIP)

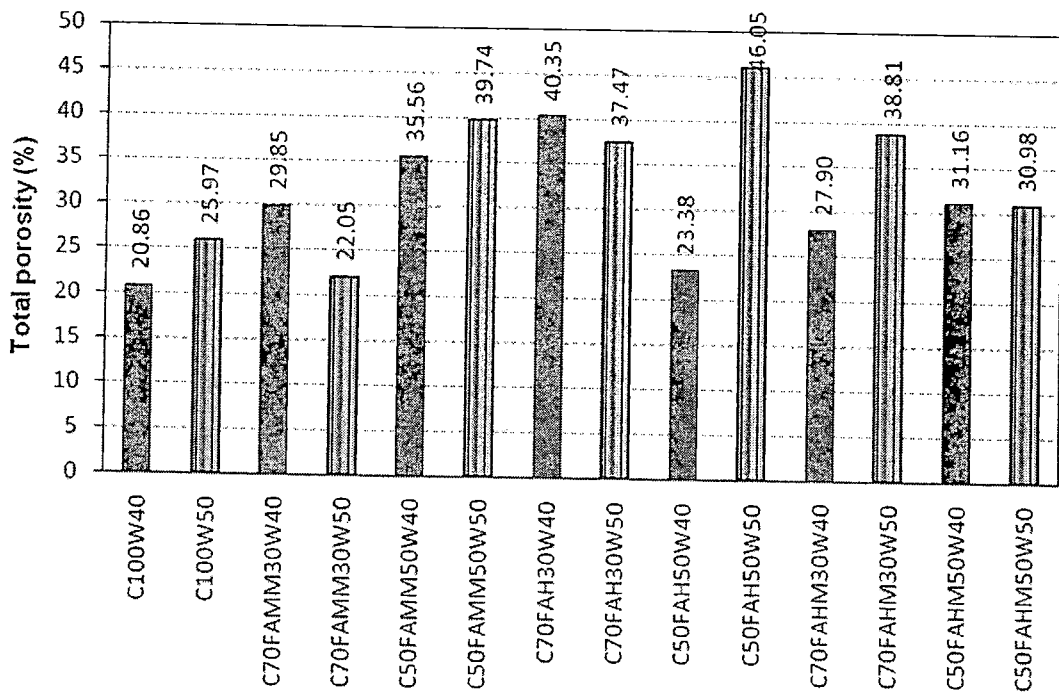
จากการทดลองได้ใช้อัตราส่วนน้ำต่อวัสดุประสาน (w/b) 2 อัตราส่วนคือ 0.40 และ 0.50 โดย น้ำหนัก อัตราส่วนการแทนที่วัสดุประสานด้วยเกลอลอยเท่ากัน 0.30 และ 0.50 โดยน้ำหนัก เกลอลอยที่ใช้มี 3 ชนิด คือ เกลอลอยแม่เม้า เกลอลอย BLCP Hunter และเกลอลอย BLCP Hunter Malawan และแข็งตัวอย่างทดสอบที่อายุ 28 และ 91 วัน โดยผลการทดสอบได้แสดงออกมารูปที่ 4.6-4.11 ดังนี้



รูปที่ 4.6 ขนาดเส้นผ่านศูนย์กลางเฉลี่ยของโพรงช่องว่างของซีเมนต์เพสต์ที่อัตราส่วนการแทนที่วัสดุประสาน และอัตราส่วนน้ำต่อวัสดุประสานที่แตกต่างกัน ที่อายุการบ่ม 28 วัน

พิจารณาผลการทดลองรูปที่ 4.6 เปรียบเทียบขนาดเส้นผ่านศูนย์กลางเฉลี่ยของโพรงช่องว่างของซีเมนต์เพสต์ที่อัตราส่วนการแทนที่วัสดุประสาน และอัตราส่วนน้ำต่อวัสดุประสานที่แตกต่างกัน ที่อายุการบ่ม 28 วัน จากผลการทดลองพบว่า ที่อัตราส่วนน้ำต่อวัสดุประสานเท่ากับ 0.40 มีขนาดเส้นผ่านศูนย์กลางเฉลี่ยของโพรงช่องว่างน้อยกว่าที่อัตราส่วนน้ำต่อวัสดุประสานเท่ากับ 0.50 เนื่องจากอัตราส่วนน้ำต่อวัสดุประสานเพิ่มมากขึ้น ทำให้ช่องว่างระหว่างอนุภาคของปูนซีเมนต์มากขึ้น

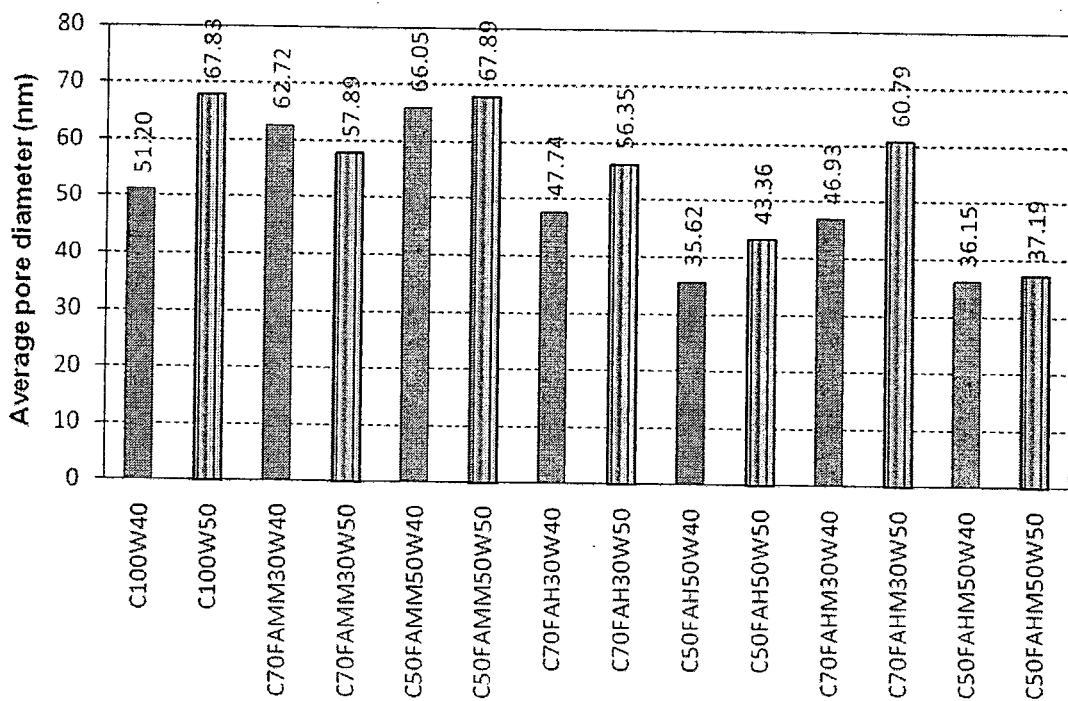
เปรียบเทียบขนาดเส้นผ่านศูนย์กลางเฉลี่ยของโพรงช่องว่างของซีเมนต์เพสต์ที่อัตราส่วนการแทนที่วัสดุประสาน และอัตราส่วนน้ำต่อวัสดุประสานที่แตกต่างกัน ที่อายุการบ่ม 28 วัน จากผลการทดลองพบว่า ที่อัตราส่วนการแทนที่วัสดุประสานด้วยเก้าลอยเท่ากับ 0.50 มีขนาดเส้นผ่านศูนย์กลางเฉลี่ยของโพรงช่องว่างน้อยกว่าที่อัตราส่วนการแทนที่วัสดุประสานด้วยเก้าลอยที่ 0.30 เนื่องจากเก้าลอยมีความละเอียดสูงกว่าปูนซีเมนต์ เมื่อมีการแทนที่ในปริมาณที่มากขึ้น จึงทำให้ขนาดโพรงช่องว่างมีขนาดเล็กลง และจากผลของปฏิกิริยาปอชโซลานิกของเก้าลอยจึงทำให้ซีเมนต์เพสต์เนื้อแน่นขึ้น



รูปที่ 4.7 ความพรุนหักหมัดของโครงซ่องว่างของชีเมนต์เพสต์ที่อัตราส่วนการแทนที่วัสดุประสาน และ อัตราส่วนน้ำต่อวัสดุประสานที่แตกต่างกัน ที่อายุการบ่ม 28 วัน

พิจารณาผลการทดลองรูปที่ 4.7 เปรียบเทียบความพรุนหักหมัดของโครงซ่องว่างของชีเมนต์เพสต์ที่อัตราส่วนการแทนที่วัสดุประสาน และอัตราส่วนน้ำต่อวัสดุประสานที่แตกต่างกัน ที่อายุการบ่ม 28 วัน จากผลการทดลองพบว่า ที่อัตราส่วนน้ำต่อวัสดุประสานเท่ากับ 0.40 มีความพรุนหักหมัดของโครงซ่องว่างของชีเมนต์เพสต์น้อยกว่าที่อัตราส่วนน้ำต่อวัสดุประสานเท่ากับ 0.50 เนื่องมาจากการอัตราส่วนน้ำต่อวัสดุประสานเพิ่มมากขึ้น ทำให้ซ่องว่างระหว่างอนุภาคของปูนชีเมนต์มากขึ้น

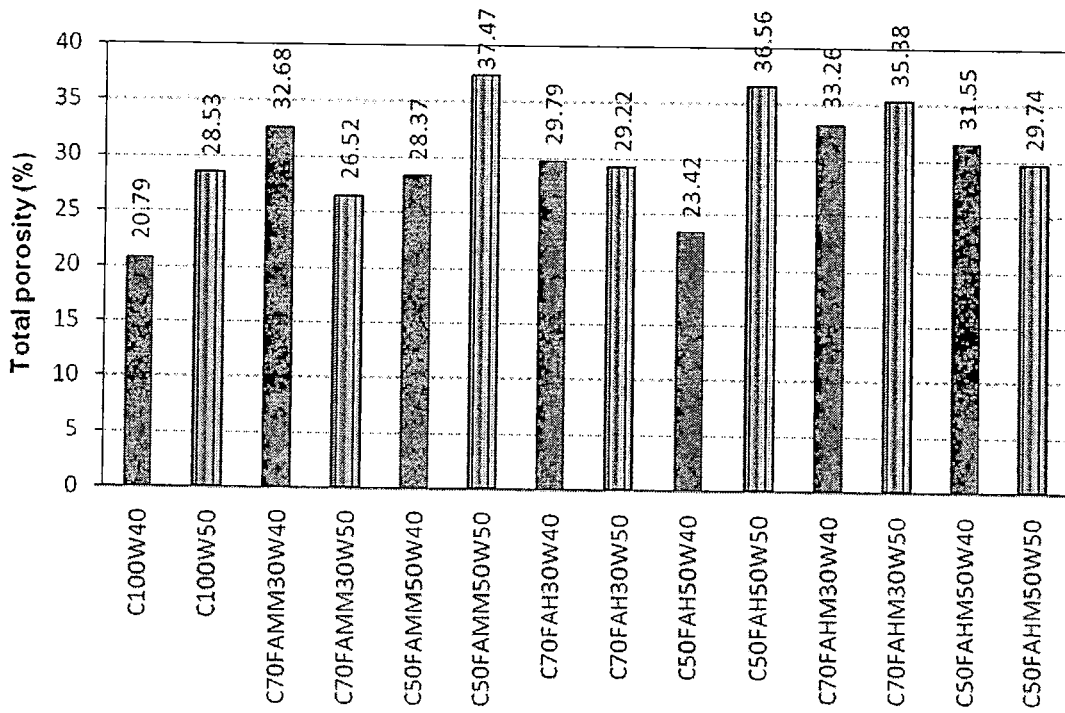
เปรียบเทียบความพรุนหักหมัดของโครงซ่องว่างของชีเมนต์เพสต์ที่อัตราส่วนการแทนที่วัสดุประสาน และอัตราส่วนน้ำต่อวัสดุประสานที่แตกต่างกัน ที่อายุการบ่ม 28 วัน จากผลการทดลองพบว่า ที่ อัตราส่วนการแทนที่วัสดุประสานด้วยเกล้าลอยเท่ากับ 0.50 มีความพรุนหักหมัดของโครงซ่องว่างมากกว่า ที่อัตราส่วนการแทนที่วัสดุประสานด้วยเกล้าลอยที่ 0.30 แม้ว่าเส้นผ่านศูนย์กลางเฉลี่ยของโครงซ่องว่าง จะมีค่าเล็กลงก็ตาม ซึ่งสรุปได้ว่าขนาดเส้นผ่านศูนย์กลางของโครงซ่องว่างเล็กลง แต่มีจำนวนมากขึ้น จึง ทำให้ค่าความพรุนหักหมัดมีค่าเพิ่มมากขึ้น



รูปที่ 4.8 ขนาดเส้นผ่านศูนย์กลางเฉลี่ยของโพรงช่องว่างของซีเมนต์เพสต์ที่อัตราส่วนการแทนที่วัสดุ ประมาณ และอัตราส่วนน้ำต่อวัสดุประมาณที่แตกต่างกัน ที่อายุการบ่ม 91 วัน

พิจารณาผลการทดลองรูปที่ 4.8 เปรียบเทียบขนาดเส้นผ่านศูนย์กลางเฉลี่ยของโพรงช่องว่าง ของซีเมนต์เพสต์ที่อัตราส่วนการแทนที่วัสดุประมาณ และอัตราส่วนน้ำต่อวัสดุประมาณที่แตกต่างกัน ที่ อายุการบ่ม 91 วัน จากผลการทดลองพบว่า ที่อัตราส่วนน้ำต่อวัสดุประมาณเท่ากับ 0.40 มีขนาดเส้นผ่านศูนย์กลางเฉลี่ยของโพรงช่องว่างน้อยกว่าที่อัตราส่วนน้ำต่อวัสดุประมาณเท่ากับ 0.50 เนื่องมาจากการ อัตราส่วนน้ำต่อวัสดุประมาณเพิ่มมากขึ้น ทำให้ช่องว่างระหว่างอนุภาคของปูนซีเมนต์มากขึ้น

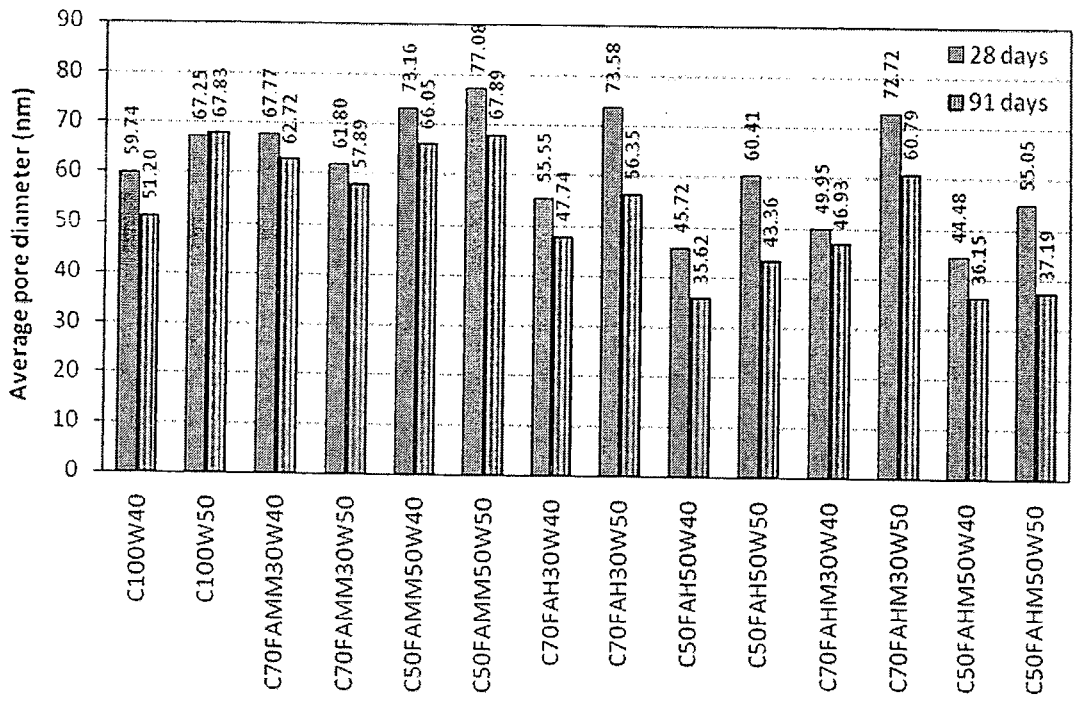
เปรียบเทียบขนาดเส้นผ่านศูนย์กลางเฉลี่ยของโพรงช่องว่างของซีเมนต์เพสต์ที่อัตราส่วนการแทนที่วัสดุประมาณ และอัตราส่วนน้ำต่อวัสดุประมาณที่แตกต่างกัน ที่อายุการบ่ม 91 วัน จากผลการทดลองพบว่า ที่อัตราส่วนการแทนที่วัสดุประมาณด้วยเก้าโลยกเท่ากับ 0.50 มีขนาดเส้นผ่านศูนย์กลางเฉลี่ยของโพรงช่องว่างน้อยกว่าที่อัตราส่วนการแทนที่วัสดุประมาณด้วยเก้าโลยกที่ 0.30 เนื่องมาจากการ เก้า โลยกมีความละเอียดสูงกว่าปูนซีเมนต์ เมื่อมีการแทนที่ในปริมาณที่มากขึ้น จึงทำให้ขนาดโพรงช่องว่างมี ขนาดเล็กลง และจากผลของปฏิกิริยาปอซิโซลานิกของเก้าโลยกจึงทำให้ซีเมนต์เพสต์เนื้อแน่นขึ้น



รูปที่ 4.9 ความพรุนหักหมดของโครงสร้างของชีเมนต์เพสต์ที่อัตราส่วนการแทนที่วัสดุประสาน และ อัตราส่วนน้ำต่อวัสดุประสานที่แตกต่างกัน ที่อายุการบ่ม 91 วัน

พิจารณาผลการทดลองรูปที่ 4.9 เปรียบเทียบความพรุนหักหมดของโครงสร้างของชีเมนต์เพสต์ที่อัตราส่วนการแทนที่วัสดุประสาน และอัตราส่วนน้ำต่อวัสดุประสานที่แตกต่างกัน ที่อายุการบ่ม 91 วัน จากผลการทดลองพบว่า ที่อัตราส่วนน้ำต่อวัสดุประสานเท่ากับ 0.40 มีความพรุนหักหมดของโครงสร้างของชีเมนต์เพสต์น้อยกว่าที่อัตราส่วนน้ำต่อวัสดุประสานเท่ากับ 0.50 เนื่องจาก อัตราส่วนน้ำต่อวัสดุประสานเพิ่มมากขึ้น ทำให้ช่องว่างระหว่างอนุภาคของปูนชีเมนต์มากขึ้น

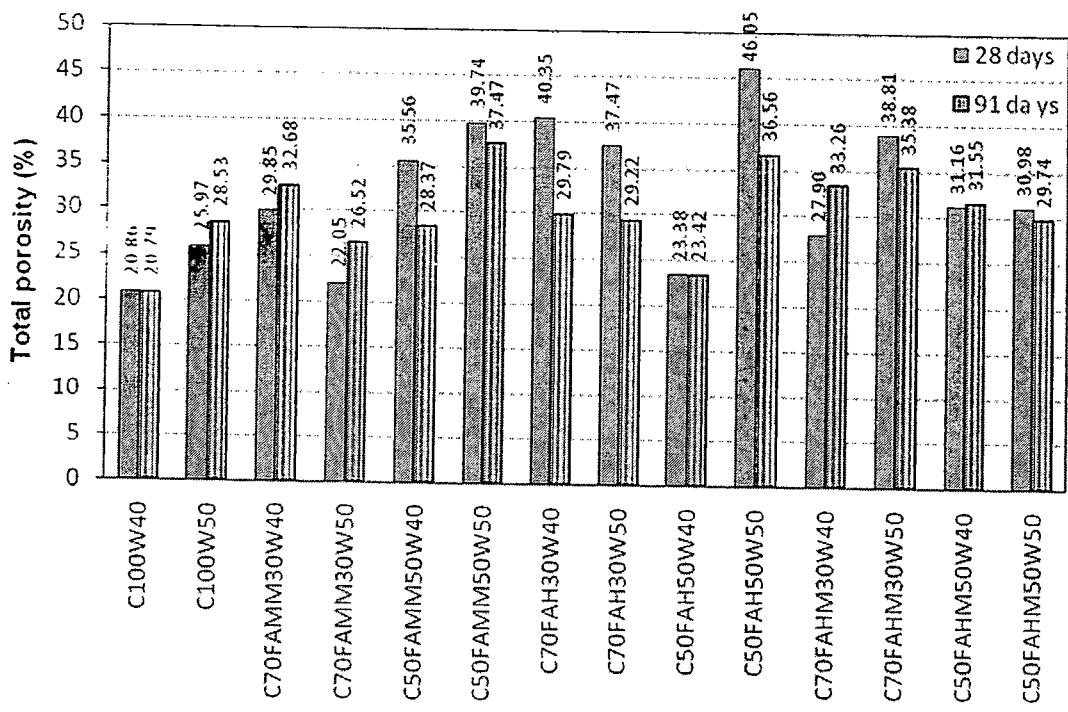
เปรียบเทียบความพรุนหักหมดของโครงสร้างของชีเมนต์เพสต์ที่อัตราส่วนการแทนที่วัสดุประสาน และอัตราส่วนน้ำต่อวัสดุประสานที่แตกต่างกัน ที่อายุการบ่ม 91 วัน จากผลการทดลองพบว่า ที่ อัตราส่วนการแทนที่วัสดุประสานด้วยเกลอลอยเท่ากับ 0.50 มีความพรุนหักหมดของโครงสร้างของชีเมนต์เพสต์มากกว่า ที่อัตราส่วนการแทนที่วัสดุประสานด้วยเกลอลอยที่ 0.30 แม้ว่าเส้นผ่านศูนย์กลางเฉลี่ยของโครงสร้างจะมีค่าเล็กลงก็ตาม ซึ่งสรุปได้ว่าขนาดเส้นผ่านศูนย์กลางของโครงสร้างว่างเล็กลง แต่มีจำนวนมากขึ้นจึง ทำให้ค่าความพรุนหักหมดมีค่าเพิ่มมากขึ้น



รูปที่ 4.10 ขนาดเส้นผ่านศูนย์กลางเฉลี่ยของโครงซ่องของซีเมนต์เพสต์ที่อัตราส่วนการแทนที่วัสดุประสาน และอัตราส่วนน้ำต่อวัสดุประสานต่างๆ โดยบ่มน้ำเป็นระยะเวลา 28 และ 91 วัน

พิจารณาผลการทดลองรูปที่ 4.10 เปรียบเทียบขนาดเส้นผ่านศูนย์กลางเฉลี่ยของโครงซ่องว่างของซีเมนต์เพสต์ที่อัตราส่วนการแทนที่วัสดุประสาน และอัตราส่วนน้ำต่อวัสดุประสานต่างๆ โดยบ่มน้ำเป็นระยะเวลา 28 และ 91 วัน ตามลำดับ จากผลการทดลองพบว่า ที่ระยะเวลาการบ่ม 91 วัน มีขนาดเส้นผ่านศูนย์กลางเฉลี่ยเล็กกว่าที่ระยะเวลาการบ่ม 28 วัน เนื่องจาก เมื่อระยะเวลาการบ่มนานมากขึ้น การเกิดปฏิกิริยาไฮเดรชันและปฏิกิริยาปอซโซลานิกจึงมีมากขึ้น ได้สารประกอบ C-S-H และ C-A-H มากขึ้น ส่งผลการยึดประสานของตัวอย่างซีเมนต์เพสต์ดีขึ้น ลดช่องว่างระหว่างอนุภาคของซีเมนต์เพสต์ และอัตราการซึมผ่านน้ำลดลง

พิจารณาผลการทดลองรูปที่ 4.11 เปรียบเทียบความพรุนทั้งหมดของโครงซ่องว่างของซีเมนต์เพสต์ที่อัตราส่วนการแทนที่วัสดุประสาน และอัตราส่วนน้ำต่อวัสดุประสานต่างๆ โดยบ่มน้ำเป็นระยะเวลา 28 และ 91 วัน ตามลำดับ จากผลการทดลองพบว่า ที่ระยะเวลาการบ่ม 91 วัน มีความพรุนทั้งหมดน้อยกว่าที่ระยะเวลาการบ่ม 28 วัน เนื่องจาก เมื่อระยะเวลาการบ่มนานมากขึ้น การเกิดปฏิกิริยาไฮเดรชันและปฏิกิริยาปอซโซลานิกจึงมีมากขึ้น ได้สารประกอบ C-S-H และ C-A-H มากขึ้น ส่งผลการยึดประสานของตัวอย่างซีเมนต์เพสต์ดีขึ้น ลดช่องว่างระหว่างอนุภาคของซีเมนต์เพสต์ และอัตราการซึมผ่านน้ำลดลง

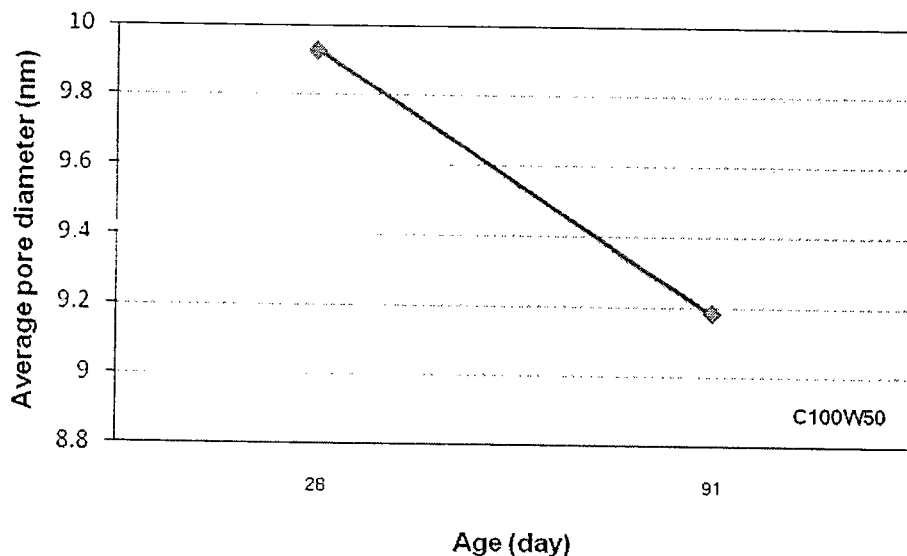


รูปที่ 4.11 ความพรุนหงหงดของโครงซ่องว่างของซีเมนต์เพสต์ที่อัตราส่วนการแทนที่วัสดุประสาน และ อัตราส่วนน้ำต่อวัสดุประสานต่างๆ โดยบ่มน้ำเป็นระยะเวลา 28 และ 91 วัน

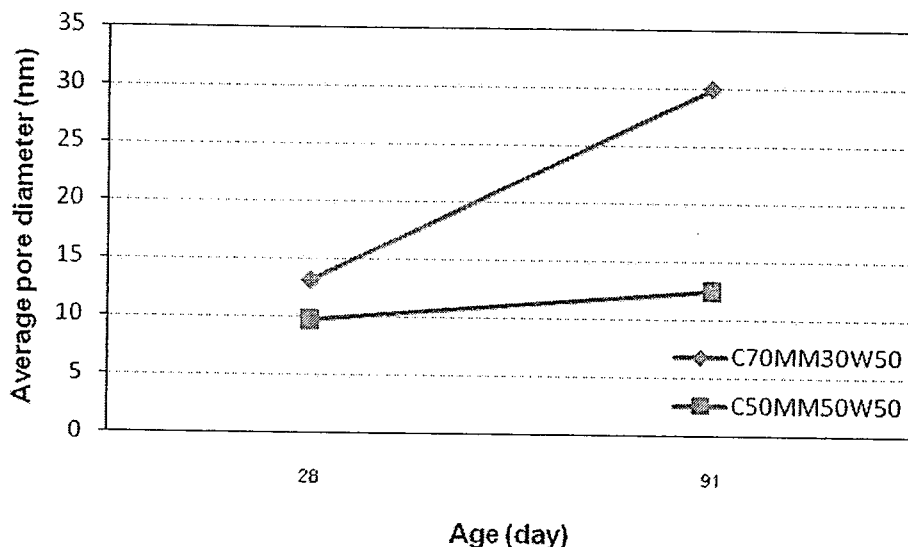
#### 4.2.2 โครงสร้างโครงซ่องว่างของซีเมนต์เพสต์ด้วยวิธี Brunauer Emmett and Teller (BET)

จากการทดลองได้ใช้อัตราส่วนน้ำต่อวัสดุประสาน (w/b) 2 อัตราส่วนคือ 0.40 และ 0.50 โดย น้ำหนัก อัตราส่วนการแทนที่วัสดุประสานด้วยถ้าลอยเท่ากับ 0.30 และ 0.50 โดยน้ำหนัก เถ้าลอยที่ใช้มี 3 ชนิด คือ เถ้าลอยแม่เมะ เถ้าลอยBLCP-Hunter และถ้าลอยBLCP-Hunter Malawan และแซดวอย่าง ทดสอบที่อายุ 28 และ 91 วัน โดยผลการทดสอบได้แสดงออกมาเป็นกราฟเพื่อพิจารณาดังต่อไปนี้ 4.12-4.16 ดังนี้

พิจารณาผลการทดลองรูปที่ 4.12 เปรียบเทียบขนาดเส้นผ่านศูนย์กลางเฉลี่ยของโครงซ่องว่าง ของซีเมนต์เพสต์ มีอัตราส่วนน้ำต่อวัสดุประสานเท่ากับ 0.50 และไม่มีการแทนที่วัสดุประสาน ที่อายุการบ่ม 28 และ 91 วัน จากผลการทดลองพบว่า ขนาดเส้นผ่านศูนย์กลางเฉลี่ยของโครงซ่องว่างของซีเมนต์ เพสต์ที่อายุการบ่ม 91 วัน มีขนาดเล็กกว่าเส้นผ่านศูนย์กลางเฉลี่ยของโครงซ่องว่างของซีเมนต์เพสต์ที่ อายุการบ่ม 28 วัน เนื่องมาจากเมื่อระยะเวลาการบ่มนานมากขึ้น การเกิดปฏิกิริยาไฮเตรชันอย่าง ต่อเนื่องและมากขึ้น ทำให้ได้สารประกอบ C-S-H และ C-A-H มากขึ้น ส่งผลต่อการยึดประสานของ ตัวอย่างซีเมนต์เพสต์ดีขึ้น ซึ่งว่างระหว่างอนุภาคของซีเมนต์เพสต์จะมีขนาดเล็กลง



รูปที่ 4.12 ขนาดเส้นผ่านศูนย์กลางเฉลี่ยของโพรงช่องว่างของซีเมนต์เพสต์ มีอัตราส่วนน้ำต่อวัสดุ ประมาณเท่ากัน 0.50 และไม่มีการแทนที่วัสดุประมาณ ที่อายุ 28 และ 91 วัน



รูปที่ 4.13 ขนาดเส้นผ่านศูนย์กลางเฉลี่ยของโพรงช่องว่างของซีเมนต์เพสต์ โดยมีอัตราส่วนน้ำต่อวัสดุ ประมาณเท่ากัน แต่การแทนที่วัสดุประมาณด้วยເຄົາລອຍແດກຕ່າງກັນ ที่อายุ 28 และ 91 วัน

พิจารณาผลการทดลองรูปที่ 4.13 เปรียบเทียบขนาดเส้นผ่านศูนย์กลางเฉลี่ยของโพรงช่องว่าง ของซีเมนต์เพสต์ โดยมีอัตราส่วนน้ำต่อวัสดุประมาณเท่ากัน แต่การแทนที่วัสดุประมาณด้วยເຄົາແດກຕ່າງກັນ ที่อายุ 28 และ 91 วัน จากผลการทดลองพบว่า ขนาดเส้นผ่านศูนย์กลางเฉลี่ยของโพรงช่องว่างที่ อายุ 28 วัน มีขนาดเล็กกว่าที่อายุ 91 วัน ซึ่งไม่เป็นไปตามแนวโน้มของชุดข้อมูล ทั้งนี้อาจเนื่องมาจาก ความคลาดเคลื่อนในการบดตัวอย่าง ส่งผลให้ซีเมนต์เพสต์อาการร้าวเกิดขึ้น

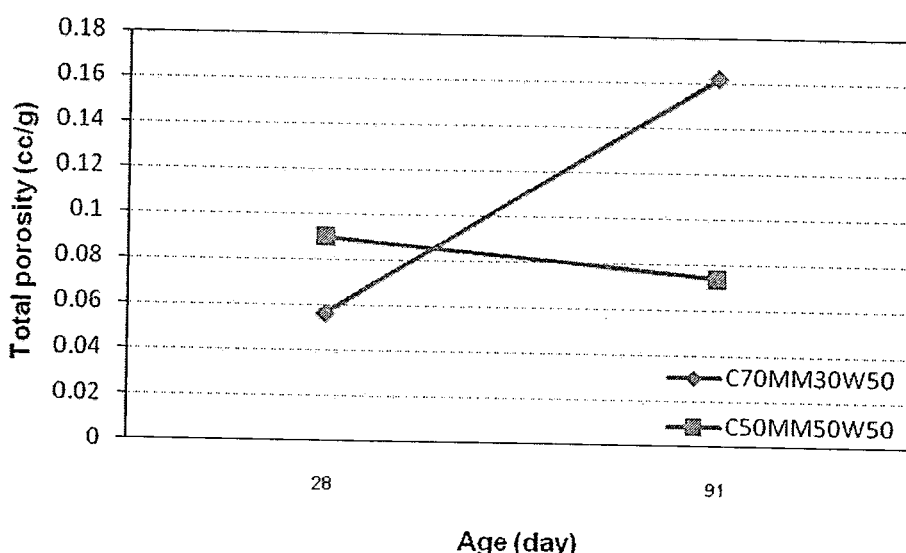
เปรียบเทียบขนาดเส้นผ่านศูนย์กลางเฉลี่ยของโพรงช่องว่างของซีเมนต์เพสต์ โดยมีอัตราส่วนน้ำต่อวัสดุประมาณเท่ากัน แต่การแทนที่วัสดุประมาณด้วยເຄົາແດກຕ່າງກັນ ที่อายุ 28 และ 91 วัน จากผลการทดลองพบว่า ขนาดเส้นผ่านศูนย์กลางเฉลี่ยที่อัตราส่วนการแทนที่วัสดุประมาณด้วยເຄົາລອຍเท่ากัน

0.50 มีขนาดเล็กกว่า 0.30 เนื่องมาจากการถลอกมีความละเอียดมากกว่าปูนซีเมนต์ เมื่อมีการแทนที่ที่เพิ่มขึ้น จึงทำให้ขนาดเส้นผ่านศูนย์กลางเฉลี่ยของโครงสร้างของซีเมนต์เพสต์มีขนาดเล็กลง

พิจารณาผลการทดลองรูปที่ 4.14 เปรียบเทียบความพรุนทั้งหมดของโครงสร้างของซีเมนต์เพสต์ มือตราช่วงน้ำต่อวัสดุประสานเท่ากับ 0.50 และไม่มีการแทนที่วัสดุประสาน ที่อายุการบ่ม 28 และ 91 วัน จากผลการทดลองพบว่าความพรุนทั้งหมดของโครงสร้างของซีเมนต์เพสต์ที่อายุ 91 วัน มีปริมาณมากกว่าความพรุนทั้งหมดของโครงสร้างของซีเมนต์เพสต์ที่อายุ 28 วัน แม้ว่าเส้นผ่านศูนย์กลางเฉลี่ยของโครงสร้างจะมีค่าเล็กลงก็ตาม



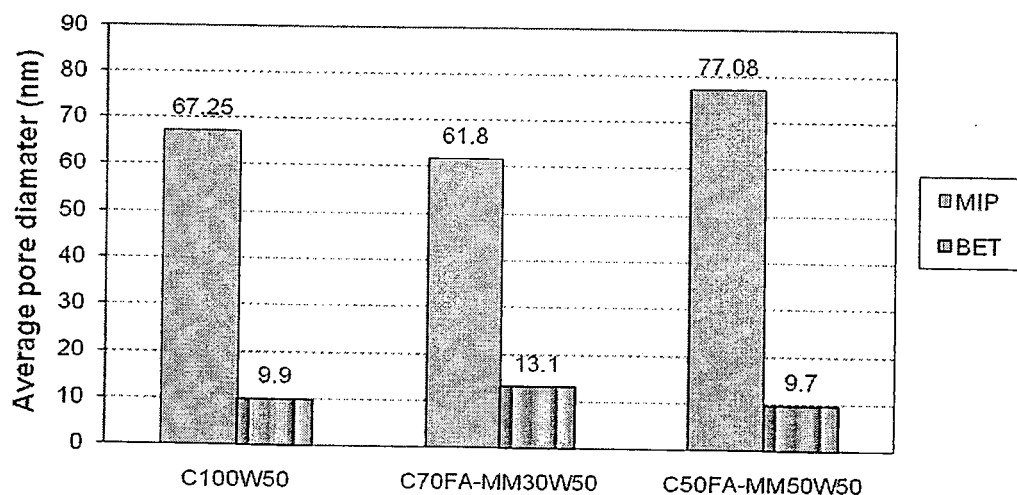
รูปที่ 4.14 ความพรุนทั้งหมดของโครงสร้างของซีเมนต์เพสต์ มือตราช่วงน้ำต่อวัสดุประสานเท่ากับ 0.50 และไม่มีการแทนที่วัสดุประสาน ที่อายุ 28 และ 91 วัน



รูปที่ 4.15 ขนาดเส้นผ่านศูนย์กลางเฉลี่ยของโครงสร้างของซีเมนต์เพสต์ โดยมือตราช่วงน้ำต่อวัสดุประสานเท่ากัน แต่การแทนที่วัสดุประสานด้วยถลอกต่างกัน ที่อายุ 28 และ 91 วัน

พิจารณาผลการทดลองรูปที่ 4.15 เปรียบเทียบความพรุนหั้งหมดของโพรงช่องว่างของซีเมนต์เพสต์ โดยมีอัตราส่วนน้ำต่อสัดส่วนประมาณเท่ากัน แต่การแทนที่วัสดุประسانด้วยถ้าแตกต่างกัน ที่อายุ 28 และ 91 วัน จากผลการทดลองพบว่า ความพรุนหั้งหมดของโพรงช่องว่างของซีเมนต์เพสต์ที่อายุการบ่ม 91 วัน มีปริมาณเนื้อยกความพรุนหั้งหมดของโพรงช่องว่างของซีเมนต์เพสต์ที่อายุการบ่ม 28 วัน เนื่องมาจากเมื่อระยะเวลาการบ่มนานมากขึ้น การเกิดปฏิกิริยาไขเดรชนอย่างต่อเนื่องและมากขึ้น ทำให้ได้สารประกอบ C-S-H และ C-A-H มากขึ้น ส่งผลต่อการยึดประสานของตัวอย่างซีเมนต์เพสต์ดีขึ้น ช่องว่างระหว่างอนุภาคของซีเมนต์เพสต์จะมีขนาดเล็กลง ดังนั้นจึงสามารถสรุปได้ว่า อายุการบ่มมีผลต่อขนาดเส้นผ่านศูนย์กลางเฉลี่ยของโพรงช่องว่าง แต่ทั้งนี้ความพรุนหั้งหมดของโพรงช่องว่างที่อายุ 28 วัน มีขนาดเล็กกว่าที่อายุ 91 วัน ซึ่งไม่เป็นไปตามแนวโน้มของชุดข้อมูล ทั้งนี้อาจเนื่องมาจากการความคลาดเคลื่อนในการบดตัวอย่าง ส่งผลให้ซีเมนต์เพสต์อาจรอยร้าวเกิดขึ้น

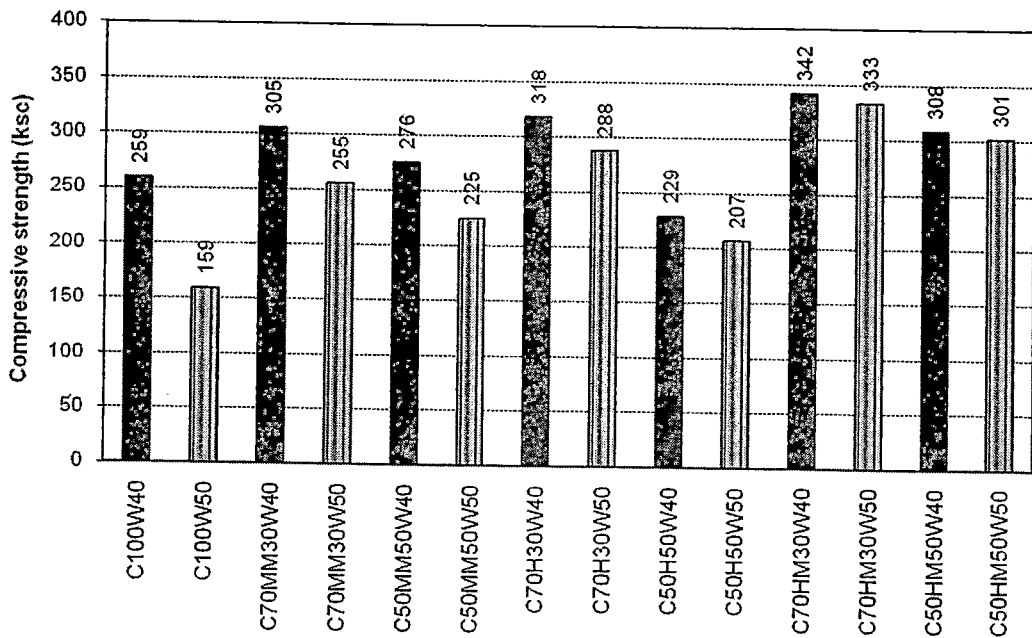
พิจารณาผลการทดลองรูปที่ 4.16 เปรียบเทียบขนาดเส้นผ่านศูนย์กลางเฉลี่ยของโพรงช่องว่าง ของซีเมนต์เพสต์ระหว่าง การทดสอบด้วยวิธี MIP กับการทดสอบด้วยวิธี BET ที่อายุ 28 วัน จากผลการทดลองพบว่า ขนาดเส้นผ่านศูนย์กลางเฉลี่ยของการทดสอบด้วยวิธี MIP มากขนาดใหญ่กว่าการทดสอบด้วยวิธี BET เนื่องจาก การทดสอบด้วยวิธี BET นั้นใช้การคุณภาพของแก๊ส จึงวิเคราะห์โครงสร้างโพรงช่องว่างที่มีขนาดเล็กมากเท่านั้น แต่ในการทดลองด้วยวิธี MIP ใช้protoolเดียวกับวิธีของ BET ดังนั้นผลการทดลองที่ได้จะมีค่าแตกต่างกันมาก และไม่สามารถนำมาเปรียบเทียบกันได้



รูปที่ 4.16 ขนาดเส้นผ่านศูนย์กลางเฉลี่ยของโพรงช่องว่างของซีเมนต์เพสต์ระหว่างการทดสอบด้วยวิธี MIP กับการทดสอบด้วยวิธี BET ที่อายุ 28 วัน

#### 4.3 กำลังรับแรงอัดของซีเมนต์เพสต์

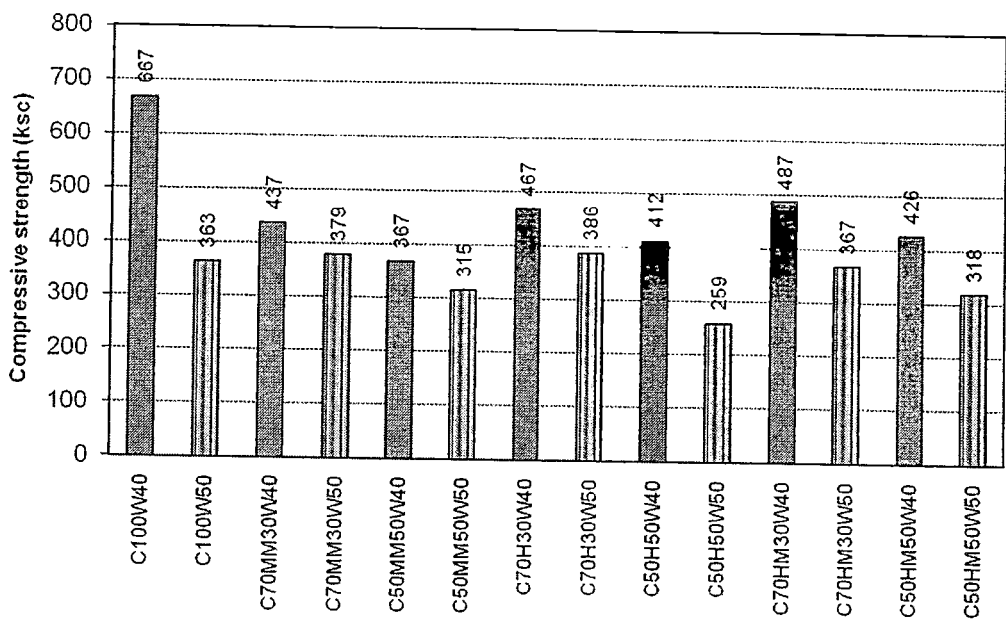
จากการทดลองได้ใช้อัตราส่วนน้ำต่อวัสดุประสาน 2 อัตราส่วนคือ 0.40 และ 0.50 โดยน้ำหนักอัตราส่วนการแทนที่วัสดุประสานด้วยเก้าโลยเท่ากับ 0.30 และ 0.50 โดยน้ำหนัก เก้าโลยที่ใช้มี 3 ชนิด คือ เก้าโลยแม่เมะ เก้าโลย BLCP Hunter และเก้าโลย BLCP Hunter Malawan และแซ็ตัวอย่างทดสอบที่อายุ 28 และ 91 วัน โดยผลการทดสอบได้นำมาเป็นกราฟเพื่อพิจารณาดังต่อไปนี้



รูปที่ 4.17 กำลังรับแรงอัดของซีเมนต์เพสต์ที่อัตราส่วนการแทนที่วัสดุประสาน และอัตราส่วนน้ำต่อวัสดุประสานที่แตกต่างกัน โดยบ่มน้ำเป็นระยะเวลา 28 วัน

พิจารณาผลการทดลองรูปที่ 4.17 เปรียบเทียบกำลังรับแรงอัดที่มีส่วนผสมเดียวกัน การแทนที่วัสดุประสานด้วยเก้าโลยที่เท่ากัน แต่อัตราส่วนน้ำต่อวัสดุประสานแตกต่างกัน จากผลการทดลองพบว่าซีเมนต์เพสต์ที่มีอัตราส่วนน้ำต่อวัสดุประสานที่ 0.40 จะมีกำลังรับแรงอัดมากกว่าซีเมนต์เพสต์ที่มีอัตราส่วนน้ำต่อวัสดุประสานที่ 0.50 เนื่องมาจากเมื่ออัตราส่วนน้ำต่อวัสดุประสานมีค่ามากขึ้น เนื้อซีเมนต์เพสต์มีความทึบนำ้ต่ำลง จึงมีปริมาณโพรงช่องว่างเพิ่มมากขึ้น ทำให้กำลังรับแรงอัดลดลง

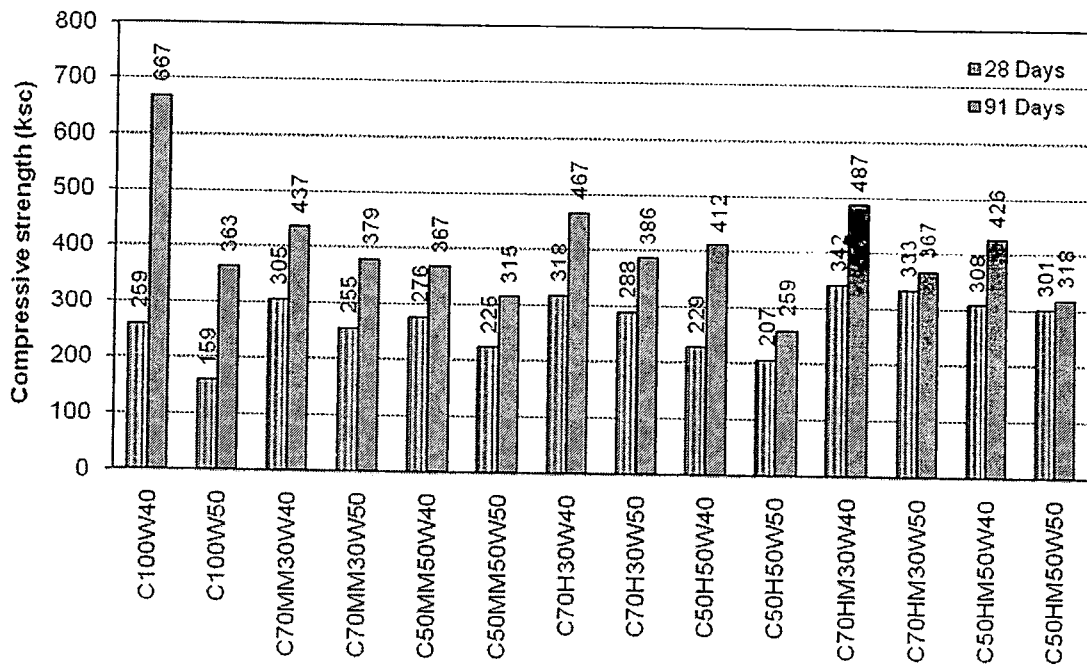
เปรียบเทียบกำลังรับแรงอัดที่มีส่วนผสมเดียวกัน อัตราส่วนน้ำต่อวัสดุประสานเท่ากัน แต่การแทนที่วัสดุประสานด้วยเก้าโลยแตกต่างกัน จากผลการทดลองพบว่า ซีเมนต์เพสต์ที่มีการแทนที่วัสดุประสานด้วยเก้าโลยที่ 0.30 จะมีกำลังรับแรงอัดมากกว่าการแทนที่วัสดุประสานด้วยเก้าโลยที่ 0.50 เนื่องจากปฏิกิริยาไฮเดรชันเกิดขึ้นก่อนปฏิกิริยาปอชโซลานิก ซึ่งทำให้ได้สารประกอบ C-S-H ส่งผลต่อการยึดประสานของซีเมนต์เพสต์ดีขึ้น ทำให้สามารถรับกำลังได้มากกว่า



รูปที่ 4.18 กำลังรับแรงอัดของซีเมนต์เพสต์ที่อัตราส่วนการแทนที่วัสดุประสาน และอัตราส่วนน้ำต่อวัสดุประสานที่แตกต่างกัน โดยบ่มน้ำเป็นระยะเวลา 91 วัน

พิจารณาผลการทดลองรูปที่ 4.18 เปรียบเทียบกำลังรับแรงอัดที่มีส่วนผสมเดียวกัน การแทนที่วัสดุประสานด้วยเก้าลอยที่เท่ากัน แต่อัตราส่วนน้ำต่อวัสดุประสานแตกต่างกัน จากผลการทดลองพบว่า ซีเมนต์เพสต์ที่มีอัตราส่วนน้ำต่อวัสดุประสานที่ 0.40 จะมีกำลังรับแรงอัดมากกว่าซีเมนต์เพสต์ที่มีอัตราส่วนน้ำต่อวัสดุประสานที่ 0.50 เนื่องมาจากการเมื่ออัตราส่วนน้ำต่อวัสดุประสานมีค่ามากขึ้น เนื่อง ซีเมนต์เพสต์มีความทึบน้ำต่ำลง จึงมีปริมาณโพรงซ่องว่างเพิ่มมากขึ้น ทำให้กำลังรับแรงอัดลดลง

เปรียบเทียบกำลังรับแรงอัดที่มีส่วนผสมเดียวกัน อัตราส่วนน้ำต่อวัสดุประสานเท่ากัน แต่การแทนที่วัสดุประสานด้วยเก้าลอยแตกต่างกัน จากผลการทดลองพบว่า ซีเมนต์เพสต์ที่มีการแทนที่วัสดุประสานด้วยเก้าลอยที่ 0.30 จะมีกำลังรับแรงอัดมากกว่าการแทนที่วัสดุประสานด้วยเก้าลอยที่ 0.50 เนื่องมาจากการปฏิกิริยาไออกเตอร์ชันเกิดขึ้นก่อนปฏิกิริยาปอชโซลานิก ซึ่งทำให้ได้สารประกอบ C-S-H ส่งผล ต่อการยึดประสานของซีเมนต์เพสต์ดีขึ้น ทำให้สามารถรับกำลังได้มากกว่า

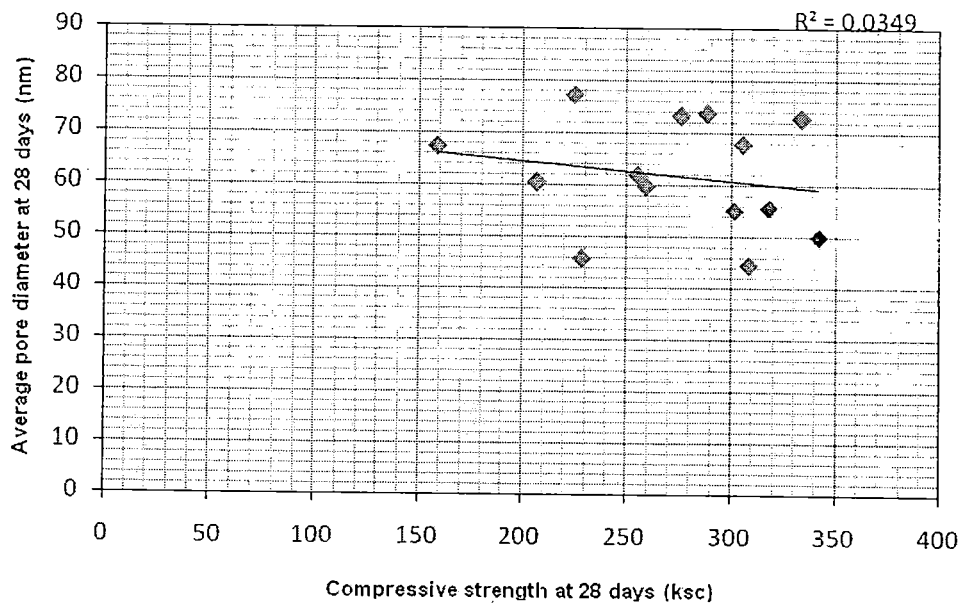


รูปที่ 4.19 กำลังรับแรงอัดของซีเมนต์เพสต์ที่อัตราส่วนการแทนที่วัสดุประสาน และอัตราส่วนน้ำต่อวัสดุประสานต่างๆ โดยบ่มน้ำเป็นระยะเวลา 28 และ 91

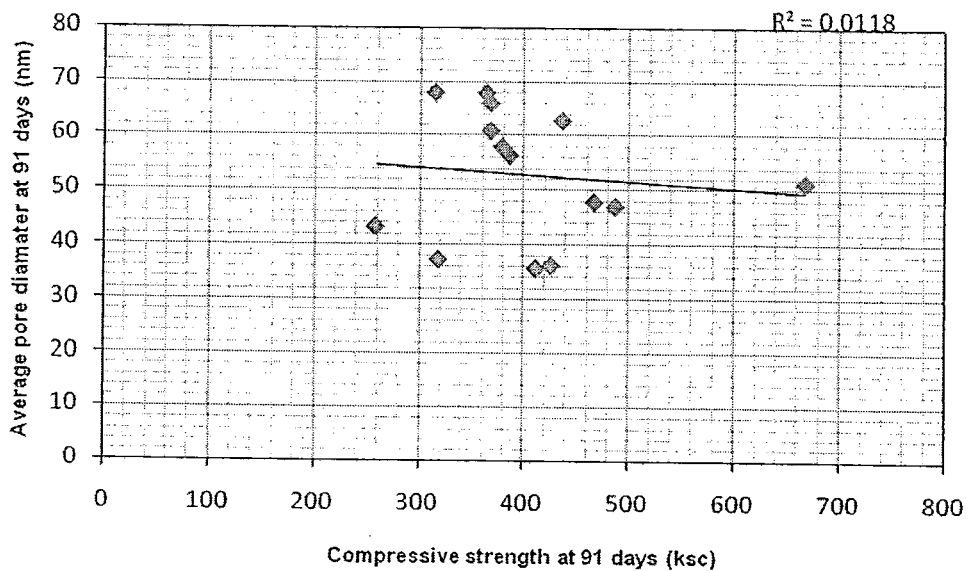
พิจารณาผลการทดลองรูปที่ 4.19 เปรียบเทียบกำลังรับแรงอัดที่มีส่วนผสมเดียวกัน การแทนที่วัสดุประสานด้วยเก้าโลย และอัตราส่วนน้ำต่อวัสดุประสานที่เท่ากัน แต่อายุการทดสอบแตกต่างกัน จากผลการทดลองพบว่า ซีเมนต์เพสต์ที่มีอายุการทดสอบ 91 วัน จะมีกำลังรับแรงอัดมากกว่าซีเมนต์เพสต์ที่อายุการทดสอบ 28 วัน เนื่องมาจากเมื่ออายุการทดสอบนานขึ้น จะเกิดปฏิกิริยาไฮเดรชันและปฏิกิริยาปอร์โซลานิกอย่างต่อเนื่อง จึงทำให้เกิดสารประกอบแคลเซียมซิลิเกตไฮเดรตและแคลเซียมอลูมิเนตไฮเดรต ส่งผลต่อการยึดประสานของซีเมนต์เพสต์ดีขึ้น

#### 4.4 ความสัมพันธ์ของผลการทดลอง

จากผลการทดลองความสามารถเก็บกักคลอร์อไรด์ โครงสร้างโครงสร้างช่องว่าง และกำลังรับแรงอัดของซีเมนต์เพสต์ ได้นำผลการทดลองที่อัตราส่วนน้ำต่อวัสดุประสาน อัตราการแทนที่วัสดุประสานด้วยเก้าโลย ชนิดของเก้าโลย และอายุการทดสอบที่เท่ากัน มาหาความสัมพันธ์กัน โดยผลของความสัมพันธ์ได้แสดงออกมาเป็นกราฟเพื่อพิจารณาดังรูปที่ 4.20-4.29 ดังนั้น

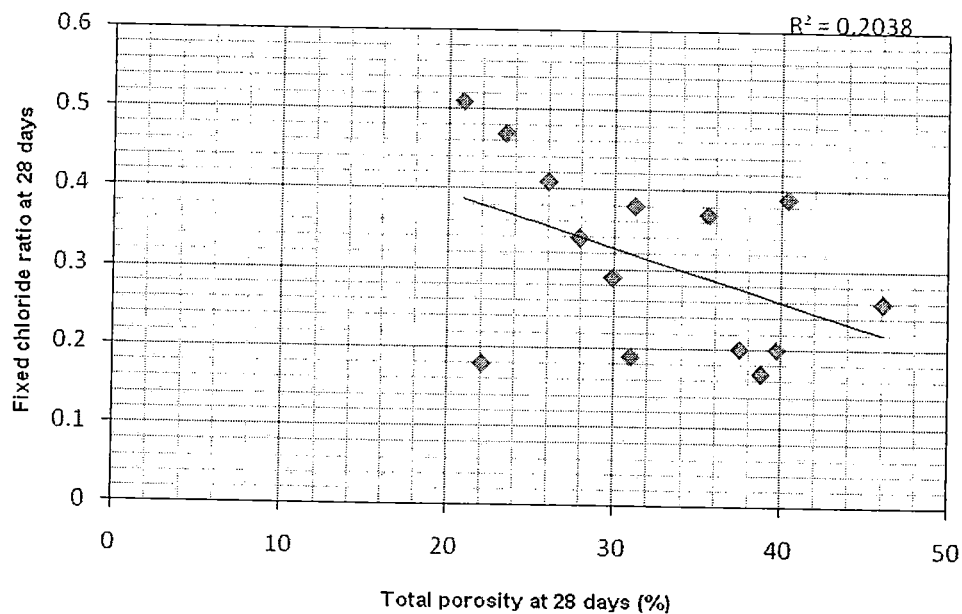


รูปที่ 4.20 ความสัมพันธ์ของกำลังรับแรงอัดกับขนาดเส้นผ่าศูนย์กลางเฉลี่ยของโพรงช่องว่างของซีเมนต์เพสต์ที่อายุ 28 วัน

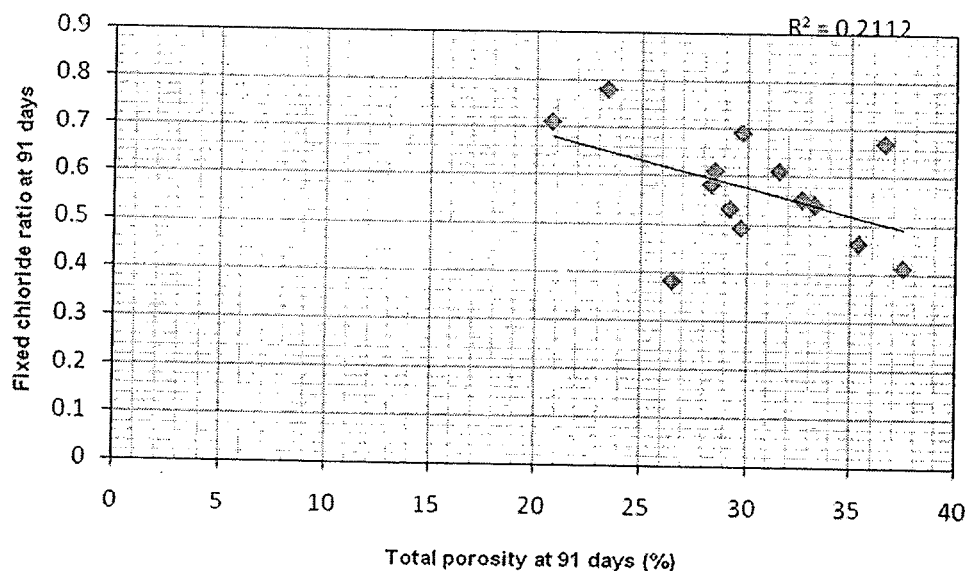


รูปที่ 4.21 ความสัมพันธ์ของกำลังรับแรงอัดกับขนาดเส้นผ่าศูนย์กลางเฉลี่ยของโพรงช่องว่างของซีเมนต์เพสต์ที่อายุ 91 วัน

พิจารณาผลการทดลองรูปที่ 4.20 และ 4.21 ความสัมพันธ์ของกำลังรับแรงอัดกับขนาดเส้นผ่าศูนย์กลางเฉลี่ยของโพรงช่องว่างของซีเมนต์เพสต์ ที่อายุ 28 และ 91 วัน พบร่วมกันว่าเมื่อขนาดเส้นผ่าศูนย์กลางเฉลี่ยของโพรงช่องว่างของซีเมนต์เพสต์มีขนาดเล็กลง ความสามารถของกำลังรับแรงอัดของซีเมนต์เพสต์จะเพิ่มมากขึ้น ซึ่งสอดคล้องกับผลการทดลองของทั้ง 2 ชุดข้อมูล ดังนั้นสรุปได้ว่าข้อมูลทั้ง 2 ชุด มีแนวโน้มที่มีความสัมพันธ์กัน

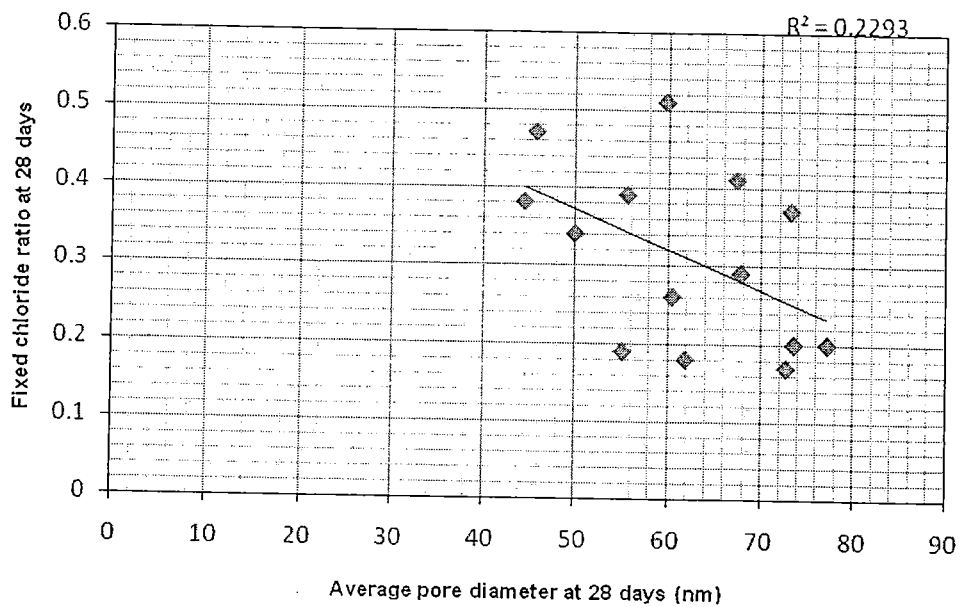


รูปที่ 4.22 ความสัมพันธ์ของความพรุนทั้งหมดกับความสามารถเก็บกักคลอไรด์ของซีเมนต์เพสต์ที่อายุ 28 วัน

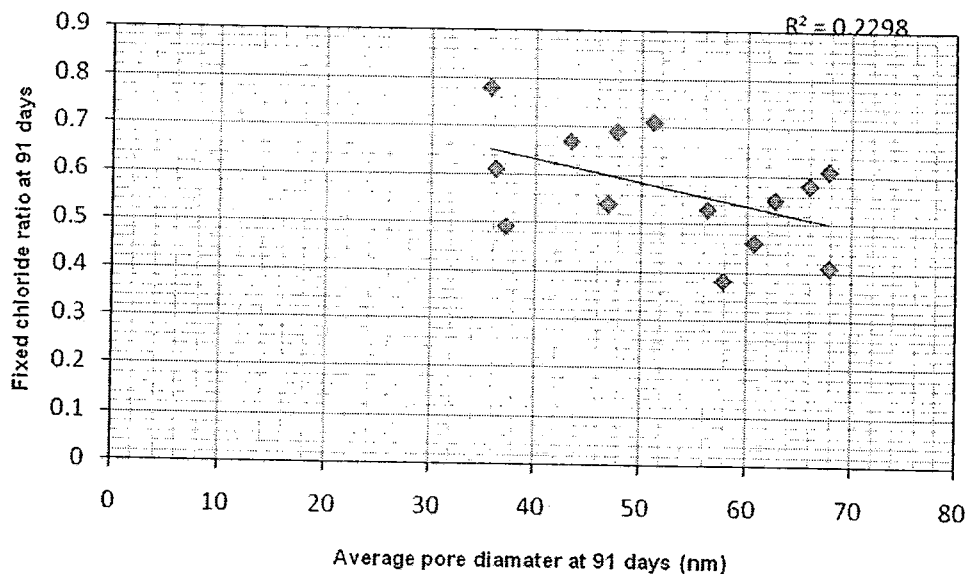


รูปที่ 4.23 ความสัมพันธ์ของความพรุนทั้งหมดกับความสามารถเก็บกักคลอไรด์ของซีเมนต์เพสต์ที่อายุ 91 วัน

พิจารณาผลการทดลองรูปที่ 4.22 และ 4.23 ความสัมพันธ์ของความพรุนทั้งหมดกับความสามารถเก็บกักคลอไรด์ของซีเมนต์เพสต์ที่อายุ 28 และ 91 วัน พบว่าเมื่อปริมาตรความพรุนทั้งหมดของซีเมนต์เพสต์เพิ่มขึ้น ความสามารถเก็บกักคลอไรด์ของซีเมนต์เพสต์มีค่าลดลง ซึ่งสอดคล้องกับผลการทดลองของทั้ง 2 ชุดข้อมูล ดังนั้นสรุปได้ว่าข้อมูลทั้ง 2 ชุด มีแนวโน้มที่มีความสัมพันธ์กัน

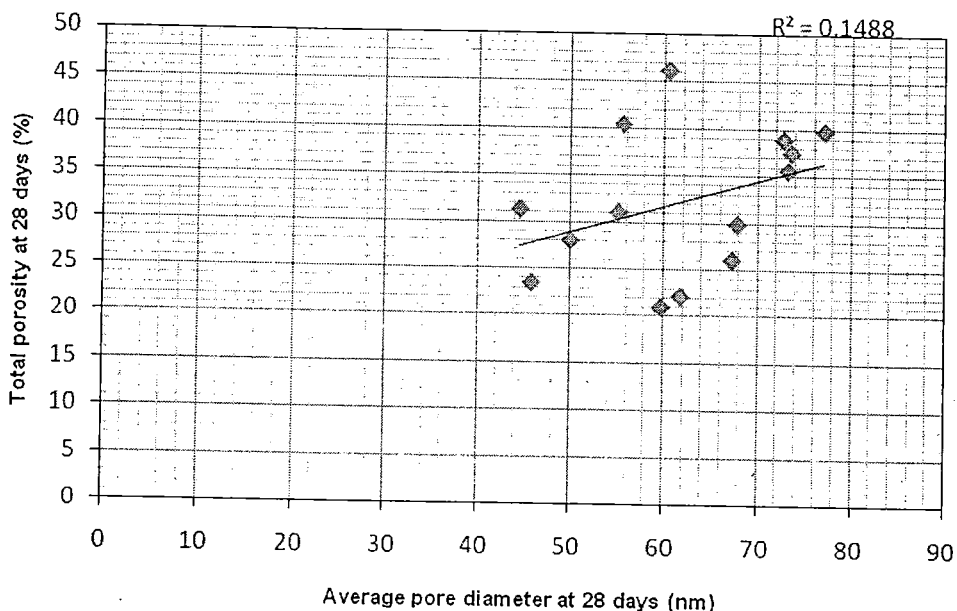


รูปที่ 4.24 ความสัมพันธ์ของขนาดเส้นผ่าศูนย์กลางเฉลี่ยของโพรงช่องว่างกับความสามารถเก็บกักคลอไรด์ของซีเมนต์เพสต์ที่อายุ 28 วัน

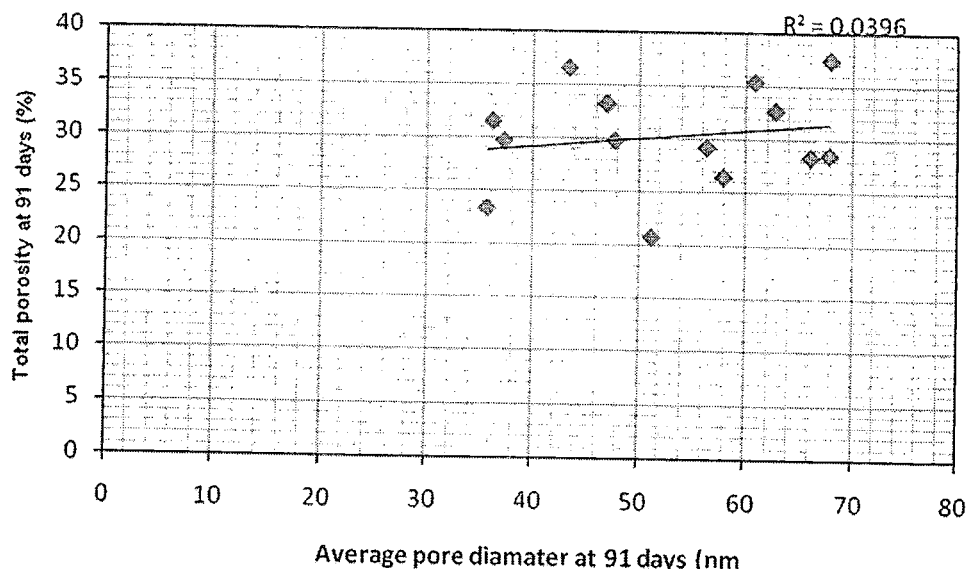


รูปที่ 4.25 ความสัมพันธ์ของขนาดเส้นผ่าศูนย์กลางเฉลี่ยของโพรงช่องว่างกับความสามารถเก็บกักคลอไรด์ของซีเมนต์เพสต์ที่อายุ 91 วัน

พิจารณาผลการทดลองรูปที่ 4.24 และ 4.25 ความสัมพันธ์ของขนาดเส้นผ่าศูนย์กลางเฉลี่ยของโพรงช่องว่างกับความสามารถเก็บกักคลอไรด์ของซีเมนต์เพสต์ที่อายุ 28 และ 91 วัน พบร่วมกันว่า เมื่อขนาดเส้นผ่าศูนย์กลางเฉลี่ยของโพรงช่องว่างของซีเมนต์เพสต์เพิ่มขึ้น ความสามารถเก็บกักคลอไรด์ของซีเมนต์เพสต์มีค่าลดลง ซึ่งสอดคล้องกับผลการทดลองของทั้ง 2 ชุดข้อมูล ดังนั้นสรุปได้ว่า ข้อมูลทั้ง 2 ชุด มีแนวโน้มที่มีความสัมพันธ์กัน

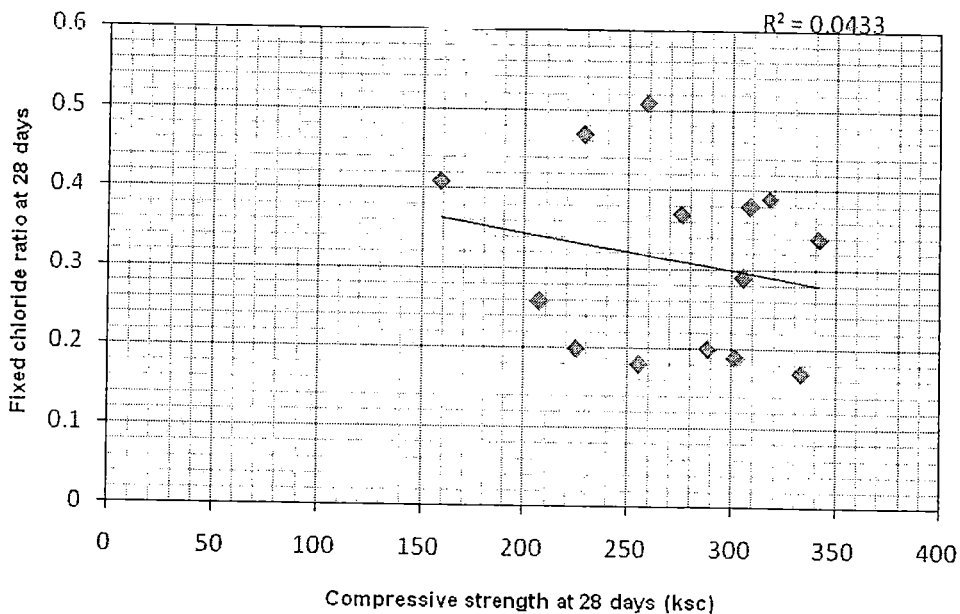


รูปที่ 4.26 ความสัมพันธ์ของขนาดเส้นผ่าศูนย์กลางเฉลี่ยของโพรงช่องว่างกับความพรุนหังหมดของชีเมนต์เพสต์ที่อายุ 28 วัน

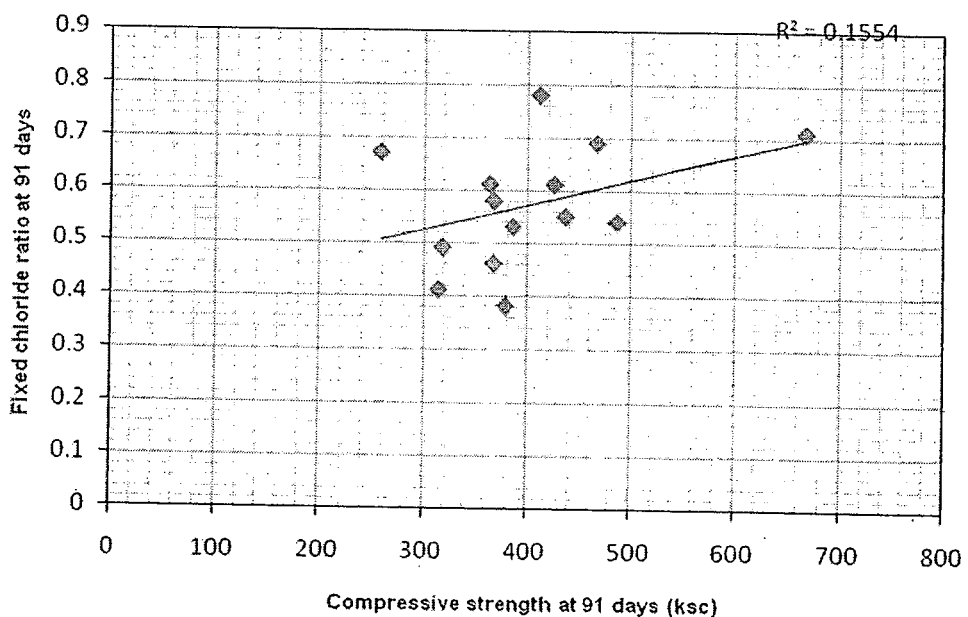


รูปที่ 4.27 ความสัมพันธ์ของขนาดเส้นผ่าศูนย์กลางเฉลี่ยของโพรงช่องว่างกับความพรุนหังหมดของชีเมนต์เพสต์ที่อายุ 91 วัน

พิจารณาผลการทดลองรูปที่ 4.26 และ 4.27 ความสัมพันธ์ของขนาดเส้นผ่าศูนย์กลางเฉลี่ยของโพรงช่องว่างกับความพรุนหังหมดของชีเมนต์เพสต์ที่อายุ 28 และ 91 วัน พบร่วมกันว่า เมื่อขนาดเส้นผ่าศูนย์กลางเฉลี่ยของโพรงช่องว่างของชีเมนต์เพสต์เพิ่มขึ้น ความพรุนหังหมดของชีเมนต์เพสต์มีปริมาตรเพิ่มขึ้น ซึ่งสอดคล้องกับผลการทดลองของทั้ง 2 ชุดข้อมูล ดังนั้นสรุปได้ว่าข้อมูลทั้ง 2 ชุด มีแนวโน้มที่มีความสัมพันธ์กัน



รูปที่ 4.28 ความสัมพันธ์ของกำลังรับแรงอัดกับความสามารถเก็บกักคลอไรด์ของซีเมนต์เพสต์ ที่อายุ 28 วัน



รูปที่ 4.29 ความสัมพันธ์ของกำลังรับแรงอัดกับความสามารถเก็บกักคลอไรด์ของซีเมนต์เพสต์ ที่อายุ 91 วัน

พิจารณาผลการทดลองรูปที่ 4.28 และ 4.29 ความสัมพันธ์ของกำลังรับแรงอัดกับความสามารถเก็บกักคลอไรด์ของซีเมนต์เพสต์ที่อายุ 28 และ 91 วัน พบร่วมกับว่าที่อายุการบ่ม 28 วัน เมื่อกำลังรับแรงอัดของซีเมนต์เพสต์เพิ่มขึ้น ความสามารถเก็บกักคลอไรด์ของซีเมนต์เพสต์มีแนวโน้มลดลง เนื่องมาจากการเกิดปฏิกิริยาอย่างไม่สมบูรณ์ ผลจึงไม่ชัดเจน แต่ที่อายุการบ่ม 91 วัน เมื่อกำลังรับแรงอัดของซีเมนต์เพสต์เพิ่มขึ้น ความสามารถเก็บกักคลอไรด์ของซีเมนต์เพสต์จะเพิ่มขึ้น ซึ่งสอดคล้องกับผลการทดลอง

## บทที่ 5

### สรุปผล

#### 5.1 ความสามารถเก็บกักคลอไรด์ของซีเมนต์เพสต์

จากการทดลองด้วยอย่างซีเมนต์เพสต์ โดยมีการเปรียบเทียบซีเมนต์เพสต์ที่อัตราส่วนน้ำต่อวัสดุประสาน ( $w/b$ ) ที่อัตราส่วนต่างๆ กัน อัตราการแท่นที่วัสดุประสานด้วยเก้าลอย ( $f/b$ ) ในปริมาณต่างๆ ที่ระยะเวลาการทดสอบ 28 วันและ 91 วัน ผลที่ได้คือในส่วนผสมที่ใช้อัตราส่วนการแท่นที่วัสดุประสานที่มากกว่า ( $f/b = 0.50$ ) ทำให้ความสามารถในการเก็บกักคลอไรด์ของซีเมนต์เพสต์เพิ่มขึ้น ในส่วนผสมที่ใช้อัตราส่วนน้ำต่อวัสดุประสานน้อยกว่า ( $w/b = 0.40$ ) ทำให้ความสามารถในการเก็บกักคลอไรด์เพิ่มขึ้น ในส่วนผสมที่มีระยะเวลาการแข็งในน้ำเปล่าที่อายุทดสอบนานกว่า (91 วัน) ทำให้ความสามารถในการเก็บกักคลอไรด์เพิ่มขึ้น ส่วนผสมที่มีความสามารถเก็บกักคลอไรด์สูงสุดของการทดลอง คือส่วนผสมที่อัตราส่วนมีการแท่นที่วัสดุประสานด้วยเก้าลอย BLCP Hunter เท่ากับ 0.50 และมีอัตราส่วนน้ำต่อวัสดุประสานเท่ากับ 0.40

#### 5.2 โครงสร้างโครงช่องว่างของซีเมนต์เพสต์

##### 1. โครงสร้างโครงช่องว่างของซีเมนต์เพสต์ ด้วยวิธี Mercury Intrusion Porosimetry (MIP)

จากการทดลองด้วยอย่างซีเมนต์เพสต์ โดยมีการเปรียบเทียบซีเมนต์เพสต์ที่อัตราส่วนน้ำต่อวัสดุประสาน ( $w/b$ ) ที่อัตราส่วนต่างๆ กัน อัตราการแท่นที่วัสดุประสานด้วยเก้าลอย ( $f/b$ ) ในปริมาณต่างๆ ที่ระยะเวลาการทดสอบ 28 วันและ 91 วัน ผลที่ได้คือในส่วนผสมที่ใช้อัตราส่วนน้ำต่อวัสดุประสานมากขึ้น ( $w/b = 0.50$ ) ขนาดเส้นผ่านศูนย์กลางเฉลี่ยของโครงช่องว่างเพิ่มขึ้น ในส่วนผสมที่ใช้อัตราส่วนการแท่นที่วัสดุประสานเพิ่มขึ้น ( $f/b = 0.50$ ) ขนาดเส้นผ่านศูนย์กลางเฉลี่ยของโครงสร้างมีลดลง และในส่วนผสมที่มีระยะเวลาการแข็งในน้ำเปล่าที่อายุการทดสอบนานกว่า (91 วัน) ทำให้ขนาดเส้นผ่านศูนย์กลางเฉลี่ยของโครงช่องว่างมีขนาดเล็กลง

ในส่วนผสมที่ใช้อัตราส่วนน้ำต่อวัสดุประสานมากขึ้น ( $w/b = 0.50$ ) ปริมาตรความพรุนทั้งหมดของโครงช่องว่างของซีเมนต์เพสต์เพิ่มขึ้น ในส่วนผสมที่ใช้อัตราส่วนการแท่นที่วัสดุประสานเพิ่มขึ้น ( $f/b = 0.50$ ) ปริมาตรความพรุนทั้งหมดของโครงช่องว่างของซีเมนต์เพสต์ลดลง และในส่วนผสมที่ใช้ระยะเวลาการบ่มที่นานกว่า (91 วัน) ทำให้ความพรุนทั้งหมดของโครงช่องว่างมีจำนวนน้อยลง

##### 2. โครงสร้างโครงช่องว่างของซีเมนต์เพสต์ ด้วยวิธี Brunauer Emmett and Teller (BET)

จากการทดลองด้วยอย่างซีเมนต์เพสต์ โดยมีการเปรียบเทียบซีเมนต์เพสต์ที่อัตราส่วนน้ำต่อวัสดุประสาน ( $w/b$ ) ที่อัตราส่วนเดียวกัน แต่อัตราการแท่นที่วัสดุประสานด้วยเก้าลอย ( $f/b$ ) ในปริมาณต่างๆ ที่ระยะเวลาการทดสอบ 28 วันและ 91 วัน ผลที่ได้คือ ในส่วนผสมที่ใช้อัตราส่วนการแท่นที่วัสดุประสานมากขึ้น ( $f/b = 0.50$ ) ส่งผลให้ขนาดเส้นผ่านศูนย์กลางของโครงช่องว่างของซีเมนต์เพสต์มีขนาดลดลง

ในส่วนผสมที่มีระยะเวลาการแข็งในน้ำเปล่าที่อายุทดสอบนานกว่า (91 วัน) ขนาดเส้นผ่าศูนย์กลางของโครงซ่องว่างของชีเมนต์เพสต์มีขนาดลดลง และเมื่อเปรียบเทียบความพรุนทั้งหมดของโครงซ่องว่างของชีเมนต์เพสต์ ผลที่ได้คือในส่วนผสมที่ใช้อัตราส่วนการแทนที่วัสดุประสานที่มากขึ้น ( $f/b = 0.50$ ) ปริมาตรความพรุนทั้งหมดของชีเมนต์เพสต์เพิ่มขึ้น และในส่วนผสมที่ระยะเวลาการแข็งในน้ำเปล่าที่อายุการทดสอบนานกว่า ปริมาตรความพรุนทั้งหมดมีแนวโน้มลดลง

### 5.3 กำลังรับแรงอัดของชีเมนต์เพสต์

จากการทดลองตัวอย่างชีเมนต์เพสต์ โดยมีการเปรียบเทียบชีเมนต์เพสต์ที่อัตราส่วนน้ำต่อวัสดุประสาน ( $w/b$ ) ที่อัตราส่วนต่างๆ กัน อัตราการแทนที่วัสดุประสานด้วยเกลอลอย ( $f/b$ ) ในปริมาณต่างๆ ที่ระยะเวลาการทดสอบ 28 วันและ 91 วัน ผลที่ได้คือส่วนผสมที่ใช้อัตราส่วนการแทนที่วัสดุประสานด้วยเกลอลอยเพิ่มขึ้น ( $f/b = 0.50$ ) กำลังรับแรงอัดของชีเมนต์เพสต์ลดลง ในส่วนผสมที่ใช้อัตราส่วนน้ำต่อวัสดุประสานมากขึ้น ( $w/b = 0.50$ ) กำลังรับแรงอัดของชีเมนต์เพสต์ลดลง และที่ระยะเวลาการแข็งในน้ำเปล่าที่อายุการทดสอบนานกว่า (91 วัน) กำลังรับแรงอัดของชีเมนต์เพสต์เพิ่มขึ้น

## บรรณานุกรม

- [1] ปริญญา จินดาประเสริฐ. 2547, เถ้าloyในงานคอนกรีต. พิมครั้งที่ 1 กรุงเทพฯ: สมาคมคอนกรีตไทย
- [2] วิศวกรรมสถานแห่งประเทศไทยในพระบรมราชูปถัมภ์. 2543. ความคงทนของคอนกรีต. พิมพ์ครั้งที่ 1. กรุงเทพฯ: บริษัท จุดทองจำกัด.
- [3] ปริญญา จินดาประเสริฐ, และชัย ชาตุรพิทักษ์กุล. 2547. บูนซีเม็นต์ ปอชโซล่า และ คอนกรีต. พิมพ์ครั้งที่ 1. กรุงเทพฯ: สมาคมคอนกรีตไทย
- [4] บริษัทบูนซีเม็นต์นครหลวง. 2550. คอนกรีตอินทรีย์. พิมพ์ครั้งที่ 2. กรุงเทพฯ: บริษัท เชอร์ตสเพลส จำกัด.
- [5] Funahashi M. 1990. Predicting corrosion free service life of a concrete structure in chloride environment. *ACI Materials Journal*, 87(6) 548-587
- [6] Maruya T., Tangtermsirikul S., and Matsuoka Y. 1992. Simulation of Chloride Penetration into Hardended Concrete. *Taisei Technical Report*, No.23: 1-11
- [7] Malhotra V.M. 1994, Durability of Concrete. Third CANMET/ACI International Conference on Fly Ash, Silica Fume, Slag and Natural Pozzolans in Concrete, Nice, France.
- [8] Soroka I. 1993. *Concrete in hot environments*. Great Britain: Alden Press.
- [9] Neville A. M. 1995. Properties of Concrete, 4th ed. *John Wiley & Sons Inc.*, Newyork
- [10] Shamsad A. 2003. Reinforcement corrosion in concrete structure its monitoring and service life prediction. *Cement & concrete composites*. 25: 459-471
- [11] A. B. Abell, K. L. Willis, and D. A. Lange. 1997. Mercury Intrusion Porosimetry and Image Analysis of Cement-Based Materials. *Journal od Colloid and Interface Science*. 211: 39-44
- [12] เอกศักดิ์ ฤกษ์มหាលิขิต, ภูมินทร์ กิตติศักดิ์บวร, วสุ วิทยาเขตปภา, และทวีชัย สำราญวานิช. 2551. ความสามารถกักเก็บคลอไรด์และการแพร่ของคลอไรด์ในซีเม็นต์เพสต์ผสมผุนพันปูน, 9<sup>th</sup> National Grad Research Conference, 14-15 มีนาคม 2551, มหาวิทยาลัยบูรพา, บางแสน, ชลบุรี

- [13] รีวัณ พินธุ์, ชัยาดุรพิทักษ์กุล, และปริญญา จินดาประเสริฐ. 2548. ผลกระทบของความละเอียดถ่านหินต่อกำลังอัด ปริมาตรโครงทึ่งหมด และขนาดโครงในชีเมนต์ เพสต์. *KMUTT RESEARCH AND DEVELOPMENT JOURNAL*. วารสารวิจัยและพัฒนา จช, ปีที่ 28, ฉบับที่ 1
- [14] น้ำภา ภาระศรี, และทวีชัย สำราญวนิช. 2551. ผลกระทบของสารปอชโซล่าต่อโครงสร้างของชีเมนต์เพสต์. *9<sup>th</sup> National Grad Research Conference*, 14-15 มีนาคม 2551, มหาวิทยาลัยบูรพา, บางแสน, ชลบุรี
- [15] T. Cheewaket, C. Jaturapitakkul, and W. Chalee. 2552. Long term performance of chloride binding capacity in fly ash concrete in a marine environment. *Construction and Building Materials*. 24: 1352-1357
- [16] พีชล สุภัทธรรມ, บุรณัต ฉัตรเวรະ, และสมนึก ตั้งเดิมสิริกุล 2542. ความสามารถในการเก็บกักคลอไรด์. วิศวกรรมสาร ปีที่ 52, ฉบับที่ 4
- [17] J. M. Khatib, and P. S. Mangat. 2002. Influence of high-temperature and low-humidity curing on chloride penetration in blended cement concrete. *School of Environment and Development*. Sheffield Hallam University, Howard Street, Sheffield S1 1WB, UK
- [18] Harald Justnes. 1998. A review of chloride binding in cementitious systems
- [19] ราพงษ์ วิทิตศาสด. 2553. ถ่านกัมมันต์ การผลิตและการนำไปใช้. พิมพ์ครั้งที่ 1. กรุงเทพฯ: จุฬาลงกรณ์มหาวิทยาลัย